



UIN SUSKA RIAU

**ANALISIS PENGARUH TEMPERATUR INLET KOMPRESOR DAN LAJU
AIIRAN BAHAN BAKAR TERHADAP OPTIMASI DAYA PEMBANGKIT
LISTRIK TENAGA GAS (PLTG)**

Hak Cipta Dilindungi Undang-Undang

© Hak cipta milik UIN Suska Riau

State Islamic University of Sultan Syarif Kasim Riau

1. Dilarang mengutip sebagian atau seluruh karya tulis ini tanpa mencantumkan dan menyebutkan sumber:

- Pengutipan hanya untuk kepentingan pendidikan, penelitian, penulisan karya ilmiah, penyusunan laporan, penulisan kritik atau tinjauan suatu masalah.
- Pengutipan tidak merugikan kepentingan yang wajar UIN Suska Riau.

2. Dilarang mengumumkan dan memperbanyak sebagian atau seluruh karya tulis ini dalam bentuk apapun tanpa izin UIN Suska Riau.



oleh:

DERU AL AZMI
12150511922

UIN SUSKA RIAU

PROGRAM STUDI TEKNIK ELEKTRO

FAKULTAS SAINS DAN TEKNOLOGI

UNIVERSITAS ISLAM NEGERI SULTAN SYARIF KASIM RIAU

PEKANBARU

2025

**Hak Cipta Dilindungi Undang-Undang**

1. Dilarang mengutip sebagian atau seluruh karya tulis ini tanpa mencantumkan dan menyebutkan sumber:
 - a. Pengutipan hanya untuk kepentingan pendidikan, penelitian, penulisan karya ilmiah, penyusunan laporan, penulisan kritik atau tinjauan suatu masalah.
 - b. Pengutipan tidak merugikan kepentingan yang wajar UIN Suska Riau.
2. Dilarang mengumumkan dan memperbanyak sebagian atau seluruh karya tulis ini dalam bentuk apapun tanpa izin UIN Suska Riau.

LEMBAR PERSETUJUAN**LEMBAR PERSETUJUAN**

**ANALISIS PENGARUH TEMPERATUR INLET KOMPRESOR DAN LAJU
ALIRAN BAHAN BAKAR TERHADAP OPTIMASI DAYA PEMBANGKIT
LISTRIK TENAGA GAS (PLTG)**

TUGAS AKHIR

Oleh :

DERU AL-AZMI
12150511922

Telah diperiksa dan disetujui sebagai laporan Tugas Akhir Prodi Teknik Elektro di
Pekanbaru, pada tanggal 28 Mei 2025

a.n Ketua Program Studi Teknik Elektro
Sekretaris Program Studi Teknik Elektro

Pembimbing

Sutovo, S.T., M.T.
NIP. 19841202 201903 1 004

Marhama Jelita, S.Pd., M.Sc.
NIK. 130517054



UIN SUSKA RIAU

© Hak cipta milik UIN Suska Riau

State Islamic University of Sultan Syarif Kasim Riau

Hak Cipta Dilindungi Undang-Undang

1. Dilarang mengutip sebagian atau seluruh karya tulis ini tanpa mencantumkan dan menyebutkan sumber:
 - a. Pengutipan hanya untuk kepentingan pendidikan, penelitian, penulisan karya ilmiah, penyusunan laporan, penulisan kritik atau tinjauan suatu masalah.
 - b. Pengutipan tidak merugikan kepentingan yang wajar UIN Suska Riau.
2. Dilarang mengumumkan dan memperbanyak sebagian atau seluruh karya tulis ini dalam bentuk apapun tanpa izin UIN Suska Riau.

LEMBAR PENGESAHAN

**ANALISIS PENGARUH TEMPERATUR INLET KOMPRESOR DAN LAJU
ALIRAN BAHAN BAKAR TERHADAP OPTIMASI DAYA PEMBANGKIT
LISTRIK TENAGA GAS (PLTG)**

TUGAS AKHIR

Oleh :

DERU AL-AZMI
12150511922

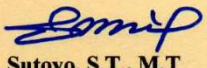
Telah dipertahankan di depan Sidang Dewan Pengaji
sebagai salah satu syarat untuk memperoleh gelar Sarjana Teknik
Fakultas Sains dan Teknologi Universitas Islam Negeri Sultan Syarif Kasim Riau
di Pekanbaru, pada tanggal 28 Mei 2025

Pekanbaru, 28 Mei 2025

Mengesahkan,

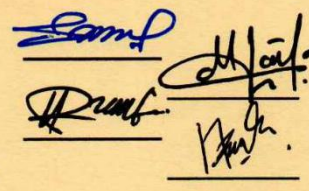
a.n Ketua Program Studi Teknik Elektro
Sekretaris Program Studi Teknik Elektro


Dr. Kunaifi, ST., PgDipEnSt., M.Sc
NIP. 19760724 200710 1 003


Sutoyo, S.T., M.T
NIP. 19841202 201903 1 004

Dewan Pengaji :

Ketua : Sutoyo, S.T., M.T
Sekretaris : Marhama Jelita, S.Pd., M.Sc
Anggota I : Dr. Kunaifi, S.T., PgDipEnSt., M.Sc
Anggota II : Nanda Putri Miefthawati, M.Sc., B.Sc





LEMBAR HAK ATAS KEKAYAAN INTELEKTUAL

Hak Cipta Dilindungi Undang-Undang
Universitas Islam Negeri Sultan Syarif Kasim Riau

© Hak Cipta Universitas Islam Negeri Sultan Syarif Kasim Riau

State Islamic University of Sultan Syarif Kasim Riau

Tugas akhir yang tidak diterbitkan ini terdaftar dan tersedia diperpustakaan

Universitas Islam Negeri Sultan Syarif Kasim Riau dan terbuka untuk umum dengan ketentuan bahwa hak cipta ada pada penulis. Referensi kepustakaan diperkenankan dicatat, tetapi pengutipan atau ringkasan hanya dapat dilakukan dengan mengikuti kaidah pengutipan yang berlaku.

Penggandaan atau penerbitan sebagian atau seluruh tugas akhir ini harus memperoleh izin dari Dekan Fakultas Sains dan Teknologi Universitas Islam Sultan Syarif Kasim Riau. Perpustakaan yang meminjamkan tugas akhir ini untuk anggotanya diharapkan untuk mengisi nama, tanda peminjaman dan tanggal pinjam.

1. Dilarang mengutip sebagian atau seluruh karya tulis ini tanpa mencantumkan dan menyebutkan sumber:
 - a. Pengutipan hanya untuk kepentingan pendidikan, penelitian, penulisan karya ilmiah, penyusunan laporan, penulisan kritik atau tinjauan suatu masalah.
 - b. Pengutipan tidak merugikan kepentingan yang wajar UIN Suska Riau.
2. Dilarang mengumumkan dan memperbanyak sebagian atau seluruh karya tulis ini dalam bentuk apapun tanpa izin UIN Suska Riau.

**Hak Cipta Dilindungi Undang-Undang**

1. Dilarang mengutip sebagian atau seluruh karya tulis ini tanpa mencantumkan dan menyebutkan sumber.
 - a. Pengutipan hanya untuk kepentingan pendidikan, penelitian, penulisan karya ilmiah, penyusunan laporan, penulisan kritik atau tinjauan suatu masalah.
 - b. Pengutipan tidak merugikan kepentingan yang wajar UIN Suska Riau.
2. Dilarang mengumumkan dan memperbanyak sebagian atau seluruh karya tulis ini dalam bentuk apapun tanpa izin UIN Suska Riau.

LEMBAR PERNYATAAN

Sebagai Civitas Akademik Universitas Islam Negeri Sultan Syarif Kasim Riau, Saya yang betanda tangan dibawah ini :

Nama : Deru Al Azmi
NIM : 12150511922
Program Studi : Teknik Elektro
Fakultas : Sains dan Teknologi
Jenis Karya : Skripsi

Demi pengembangan ilmu pengetahuan, menyetujui untuk memberikan kepada Universitas Islam Negeri Sultan Syarif Kasim Riau Hak Bebas Royalti Noneksklusif (*Non-exclusiv Royalty Free Right*) atas Tugas Akhir saya yang berjudul :

**ANALISIS PENGARUH TEMPERATUR INLET KOMPRESOR DAN LAJU
ALIRAN BAHAN BAKAR TERHADAP OPTIMASI DAYA PEMBANGKIT
LISTRIK TENAGA GAS (PLTG)**

berserta instrument/desain/perangkat (jika ada). Berhak menyimpan, mengalih bentuk, mengalih mediakan, mengelola dalam bentuk pangkalan data (data base), merawat serta mempublikasikan Tugas Akhir saya selama tetap mencantumkan nama saya sebagai penulis (*Author*) dan Pembimbing sebagai *co Author* atau pencipta dan juga sebagai pemilik Hak Cipta.

Demikian pernyataan ini saya buat dengan sesungguhnya secara sadar dan tanpa paksaan dari pihak manapun.

Dibuat di : Pekanbaru
Pada tanggal : 28 Mei 2025



Deru Al-Azmi
NIM. 12150511922



LEMBAR PERSEMBAHAN

Alhamdulillahirabbil'alamin, segala puji dan syukur yang tak terhingga saya panjatkan ke hadirat Allah Subhanahu wa Ta'ala, yang telah melimpahkan nikmat dan kekuatan sehingga karya ilmiah ini dapat terselesaikan dengan baik. Shalawat serta salam senantiasa tercurahkan kepada Rasulullah Muhammad Shallallahu 'alaihi wa sallam, teladan utama yang mengajarkan pentingnya menuntut ilmu dan beribadah dalam mencari ridho Allah SWT.

Dengan penuh kerendahan hati, saya persembahkan karya sederhana ini kepada Ayahanda dan Ibunda tercinta, pelita dalam kegelapan dan penopang dalam setiap langkah. Tiada kata yang mampu menggambarkan betapa dalam rasa terima kasih atas segala pengorbanan, doa yang tiada henti, serta jerih payah yang telah dicurahkan agar saya dapat meraih cita-cita. Adapun cita-cita saya kelak dapat membahagiakan keluarga tercinta. Semoga Allah senantiasa melimpahkan rahmat-Nya kepada mereka.

Ucapan terima kasih saya haturkan kepada dosen pembimbing yang telah dengan sabar membimbing, mengarahkan, dan menasehati hingga karya ilmiah ini terselesaikan tepat pada waktunya. Kepada dosen penguji, terima kasih atas segala masukan, kritik, dan saran yang bersifat membangun sehingga Tugas Akhir ini dapat disempurnakan sesuai prosedur yang berlaku.

Terima kasih juga saya sampaikan kepada seluruh rekan seperjuangan yang telah menemani dalam suka dan duka, memberikan motivasi dan inspirasi hingga saya mampu menyelesaikan Tugas Akhir ini. Kebersamaan yang telah kita lalui akan menjadi kenangan indah yang tak terlupakan. Semoga Allah Subhanahu wa Ta'ala membala kebaikan kalian semua dengan pahala yang berlipat ganda.

Jazakumullahu khairan katsira.

- Hak Cipta Dilindungi Undang-Undang
1. Dilarang mengutip sebagian atau seluruh karya tulis ini tanpa mencantumkan dan menyebutkan sumber:
 - a. Pengutipan hanya untuk kepentingan pendidikan, penelitian, penulisan karya ilmiah, penyusunan laporan, penulisan kritik atau tinjauan suatu masalah.
 - b. Pengutipan tidak merugikan kepentingan yang wajar UIN Suska Riau.
 2. Dilarang mengumumkan dan memperbanyak sebagian atau seluruh karya tulis ini dalam bentuk apapun tanpa izin UIN Suska Riau.



**ANALISIS PENGARUH TEMPERATUR INLET KOMPRESOR DAN LAJU
ALIRAN BAHAN BAKAR TERHADAP OPTIMASI DAYA PEMBANGKIT
LISTRIK TENAGA GAS (PLTG)**

Hak Cipta Dilindungi Undang-Undang

1. Dilarang mengutip sebagian atau seluruh karya tulis ini tanpa mencantumkan dan menyebutkan sumber:

- a. Pengutipan hanya untuk kepentingan pendidikan, penelitian, penulisan karya ilmiah, penyusunan laporan, penulisan kritik atau tinjauan suatu masalah.
- b. Pengutipan tidak merugikan kepentingan yang wajar UIN Suska Riau.

2. Dilarang mengumumkan dan memperbanyak sebagian atau seluruh karya tulis ini dalam bentuk apapun tanpa izin UIN Suska Riau.

Hak cipta milik UIN Suska Riau

**Sistemancangkung
UIN Sultan Syarif Kasim Riau**

Deru Al-Azmi
NIM: 12150511922

Tanggal Sidang : 28 Mei 2025

Tanggal Wisuda :

Program Studi Teknik Elektro

Fakultas Sains dan Teknologi

Universitas Islam Negeri Sultan Syarif Kasim Riau

Jl. Soebrantas, No. 155 Pekanbaru

ABSTRAK

Unit 1 Pembangkit Listrik Tenaga Gas (PLTG) PT. PLN MCTN Duri menunjukkan variasi daya output yang dipengaruhi oleh parameter operasi utama, seperti temperatur inlet kompresor dan laju aliran bahan bakar. Penelitian ini bertujuan untuk menganalisis kondisi eksisting dan melakukan variasi dua parameter operasi guna memperoleh daya output optimal pada Pembangkit Listrik Tenaga Gas (PLTG). Metode yang digunakan menggunakan siklus Brayton berdasarkan hukum termodinamika, dengan bantuan perangkat lunak *Engineering Equation Solver* (EES). Hasil perhitungan kondisi eksisting menunjukkan bahwa eksisting 1 menghasilkan daya sebesar 105,27 MW dan efisiensi 32,41%, sedangkan eksisting 2 menghasilkan daya 99,25 MW dan efisiensi 31,58%. Setelah dilakukan 25 variasi simulasi pada masing-masing kondisi, diperoleh hasil optimal pada eksisting 1 dengan temperatur inlet 301,3 K dan laju aliran bahan bakar 6,83 kg/s, menghasilkan efisiensi termal 32,61% dan daya 101 MW. Pada eksisting 2, hasil optimal dicapai pada temperatur inlet 306,55 K dan laju bahan bakar 6,96 kg/s, menghasilkan daya sebesar 100,1 MW dan efisiensi 31,73%. Berdasarkan hasil tersebut, dapat disimpulkan bahwa temperatur inlet kompresor dan laju aliran bahan bakar berpengaruh signifikan terhadap daya output PLTG dan dapat digunakan sebagai parameter pengendali untuk mengarahkan performa sistem mendekati kapasitas desain.

Kata Kunci: Analisis Daya, Temperatur Inlet Kompressor, Laju Aliran Bahan Bakar, Optimasi, PLTG, EES



UIN SUSKA RIAU

**ANALYSIS OF THE INFLUENCE OF COMPRESSOR INLET TEMPERATURE AND
FUEL FLOW RATE ON POWER OPTIMIZATION OF A GAS POWER PLANT
(PLTG)**

Hak Cipta Dilindungi Undang-Undang

- a. Pengutipan hanya untuk kepentingan pendidikan, penelitian, penulisan karya ilmiah, penyusunan laporan, penulisan kritik atau tinjauan suatu masalah.
- b. Pengutipan tidak merugikan kepentingan yang wajar UIN Suska Riau.

2. Dilarang mengumumkan dan memperbanyak sebagian atau seluruh karya tulis ini dalam bentuk apapun tanpa izin UIN Suska Riau.

Hak cipta milik UIN Suska Riau

Deru Al-Azmi

12150511922

Date of Final Exam : May 28, 2025

Department of Electrical Engineering

Faculty of Science and Technology

State Islamic University of Sultan Syarif Kasim Riau

Soebrantas St. No. 155 Pekanbaru - Indonesia

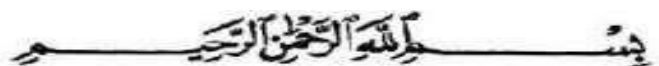
ABSTRACT

Unit 1 of the Gas Power Plant (PLTG) at PT. PLN MCTN Duri shows variations in power output influenced by key operating parameters, such as compressor inlet temperature and fuel flow rate. This research aims to analyze existing conditions and perform variations of these two operating parameters to obtain optimal power output at the Gas Power Plant. The method used refers to the Brayton cycle based on thermodynamic laws, with the assistance of Engineering Equation Solver (EES) software. Calculation results of existing conditions show that existing condition 1 generates power of 105.27 MW with 32.41% efficiency, while existing condition 2 produces 99.25 MW with 31.58% efficiency. After conducting 25 simulation variations for each condition, optimal results for existing condition 1 were obtained with an inlet temperature of 301.3 K and fuel flow rate of 6.83 kg/s, yielding a thermal efficiency of 32.61% and power output of 101 MW. For existing condition 2, optimal results were achieved at an inlet temperature of 306.55 K and fuel flow rate of 6.96 kg/s, producing power of 100.1 MW with 31.73% efficiency. Based on these results, it can be concluded that compressor inlet temperature and fuel flow rate significantly influence the power output of the gas power plant and can be used as control parameters to direct system performance closer to design capacity.

Keywords: Power Analysis, Compressor Inlet Temperature, Fuel Flow Rate, Optimization, Gas Power Plant, EES

- a. Pengutipan hanya untuk kepentingan pendidikan, penelitian, penulisan karya ilmiah, penyusunan laporan, penulisan kritik atau tinjauan suatu masalah.
- b. Pengutipan tidak merugikan kepentingan yang wajar

KATA PENGANTAR



Assalamu'alaikum Warahmatullahi Wabarakatuh

Puji syukur penulis ucapkan ke hadirat Allah SWT yang telah melimpahkan rahmat dan karunianya sehingga penulis dapat menyelesaikan tugas akhir dengan sebaik-baiknya dengan judul “Analisis Pengaruh Temperatur Inlet Kompresor dan Laju Aliran Bahan Bakar Terhadap Optimasi Daya Pembangkit Listrik Tenaga Gas (PLTG)” Shalawat dan salam tidak lupa penulis ucapkan kepada nabi besar kita yakni, Nabi Muhammad SAW dimana beliaulah yang telah membawa zaman jahiliyah kepada zaman penuh dengan ilmu pengetahuan seperti saat sekarang.

Melalui proses bimbingan dan pengarahan yang disumbangkan oleh orang-orang yang berpengetahuan, dorongan, motivasi, dan juga doa orang-orang yang ada di sekeliling penulis sehingga penulisan Tugas Akhir ini dapat diselesaikan dengan penuh kesederhanaan. Sudah menjadi ketentuan bagi setiap Mahasiswa untuk menyelesaikan studinya, pada perguruan tinggi Universitas Islam Negeri Sultan Syarif Kasim Pekanbaru harus membuat karya ilmiah berupa Tugas Akhir guna mencapai gelar sarjana.

Banyak sekali pihak yang telah membantu penulis dalam memperoleh ilmu pengetahuan dan pengalaman dalam penyusunan laporan ini, baik berupa bantuan materi atau pun berupa motivasi dan dukungan kepada penulis. Maka dari itu, pada kesempatan ini penulis juga ingin mengucapkan terima kasih kepada:

1. Teristimewa kedua Orang tua penulis, serta kakak, abang dan keluarga besar yang telah mendo'akan dan memberikan dukungan, serta motivasi agar penulis dapat tawakal dan sabar sehingga sukses memperoleh kelancaran dalam menyelesaikan laporan Tugas Akhir ini dengan baik.
2. Ibu Marhama Jelita S.Pd., M.Sc, penulis menyampaikan penghargaan dan terima kasih yang tulus selaku dosen pembimbing skripsi yang dengan keikhlasan dan kesabaran telah membimbing penulis. Arahan berharga, masukan konstruktif, serta kesediaan beliau membagi waktu dan pemikiran telah menjadi kunci bagi penulis dalam menyelesaikan laporan Tugas Akhir ini dengan tepat waktu.
3. Ibu Dr. Fitri Amalia, S.T., M.T selaku pembimbing akademik yang telah

Hak Cipta Dilindungi Undang-Undang

1. Dilarang mengutip sebagian atau seluruh karya tulis ini tanpa mencantumkan dan menyebutkan sumber:

- a. Pengutipan hanya untuk kepentingan pendidikan, penelitian, penulisan karya ilmiah, penyusunan laporan, penulisan kritik atau tinjauan suatu masalah.
- b. Pengutipan tidak merugikan kepentingan yang wajar UIN Suska Riau.

2. Dilarang mengumumkan dan memperbanyak sebagian atau seluruh karya tulis ini dalam bentuk apapun tanpa izin UIN Suska Riau.

membimbing dengan penuh dedikasi. Kesediaan beliau meluangkan waktu, memberikan arahan berharga, serta membagikan pemikiran cemerlangnya telah sangat membantu penulis dalam mengembangkan diri selama mengikuti pendidikan di Program Studi Teknik Elektro.

Bapak Prof. Dr. H. Hairunnas Rajab, S.Ag., M.Ag. Rektor Universitas Islam Negeri Sultan Syarif Kasim Riau.

Bapak Dr. Hartono, M.Pd, selaku Dekan Fakultas Sains dan Teknologi Universitas Islam Negeri Sultan Syarif Kasim Riau.

Ibu Dr. Zulfatri Aini, S.T., M.T, selaku Ketua Program Studi Teknik Elektro Fakultas Sains dan Teknologi Universitas Islam Negeri Sultan Syarif Kasim Riau Bapak Sutoyo, ST., M.T, selaku Sekretaris Program Studi Teknik Elektro Fakultas Sains dan Teknologi Universitas Islam Negeri Sultan Syarif Kasim Riau.

Bapak Ahmad Faizal, ST, MT, selaku Koordinator Tugas Akhir Program Studi Teknik Elektro Fakultas Sains dan Teknologi Universitas Islam Negeri Sultan Syarif Kasim Riau.

Bapak Dr. Kunaifi, S.T., PgDipEnst., M.Sc. selaku dosen pembimbing magang yang telah memberikan bimbingan, arahan, dan dukungan yang sangat berharga selama pelaksanaan kegiatan magang. Masukan dan saran beliau sangat membantu penulis dalam menyelesaikan tugas-tugas magang dengan baik dan memberikan pengalaman belajar yang tak ternilai.

Seluruh Staff Dosen dan Karyawan Fakultas Sains dan Teknologi, khususnya Jurusan Teknik Elektro Universitas Islam Negeri Sultan Syarif Kasim Riau.

Seluruh teman-teman Kelas A dan Angkatan 21 yang telah memberikan kehangatan persahabatan, dukungan tak terhingga, dan kebersamaan yang berharga selama penulis menimba ilmu di Program Studi Teknik Elektro. Ketulusan kalian dalam berteman dan merangkul telah menciptakan lingkungan belajar yang nyaman dan penuh makna bagi perjalanan akademik penulis.

12. Putri Adrina, penulis menyampaikan penghargaan dan terima kasih yang istimewa atas segala dukungan, inspirasi, dan bantuan yang telah diberikan sehingga penulis dapat menyelesaikan skripsi ini dengan baik. Kehadirannya telah memberikan semangat dan motivasi berharga dalam perjalanan akademik penulis.

13. Penulis berterima kasih pada diri sendiri yang sudah bertahan melewati hari-hari sulit, berani mengambil keputusan yang tidak mudah, dan terus belajar dari setiap

**Hak Cipta Dilindungi Undang-Undang 14.**

1. Dilarang mengutip sebagian atau seluruh karya tulis ini tanpa mencantumkan dan menyebutkan sumber:
 - a. Pengutipan hanya untuk kepentingan pendidikan, penelitian, penulisan karya ilmiah, penyusunan laporan, penulisan kritik atau tinjauan suatu masalah.
 - b. Pengutipan tidak merugikan kepentingan yang wajar UIN Suska Riau.
2. Dilarang mengumumkan dan memperbanyak sebagian atau seluruh karya tulis ini dalam bentuk apapun tanpa izin UIN Suska Riau.

kesalahan. Terima kasih sudah percaya pada kemampuan diri sendiri ketika orang lain meragukan, dan terus berusaha menjadi versi yang lebih baik. Semua kerja keras dan perjuangan yang mungkin tidak terlihat orang lain, penulis menghargainya. Perjalanan ini tidak mudah, tapi penulis berhasil sampai di titik ini dan patut bangga pada diri sendiri.

Kepada semua pihak yang telah berkontribusi namun tidak dapat penulis sebutkan satu per satu, penulis menghaturkan penghargaan yang setinggi-tingginya. Layaknya untaian mutiara yang tersembunyi, dukungan dan bantuan yang telah diberikan merupakan jejak-jejak kebaikan yang akan selalu penulis kenang dalam perjalanan akademik ini. Semoga Allah SWT membalas segala kebaikan dengan berlipat ganda dan menjadikannya sebagai amal jariyah yang mengalir tiada henti.

Dengan segenap upaya dan dedikasi, penulis telah berusaha menyusun skripsi ini sebaik mungkin. Meski demikian, penulis menyadari masih terdapat keterbatasan dan kekurangan dalam isi maupun penulisan. Oleh karena itu, penulis sangat mengharapkan kritik dan saran konstruktif dari berbagai pihak demi penyempurnaan karya ilmiah di masa mendatang. Penulis berharap skripsi ini dapat memberikan manfaat, baik secara khusus bagi penulis sendiri maupun secara umum bagi pengembangan keilmuan dan masyarakat luas.

Wassalamu'alaikum Warahmatullahi Wabarakatuh

Pekanbaru, 28 Mei 2025

Deru Al-Azmi
NIM. 12150511922



DAFTAR ISI

	Halaman
LEMBAR PERSETUJUAN	ii
LEMBAR PENGESAHAN	iii
LEMBAR HAK ATAS KEKAYAAN INTELEKTUAL.....	iv
LEMBAR PERNYATAAN.....	v
LEMBAR PERSEMAHAN	vi
ABSTRAK.....	vii
ABSTRACT.....	viii
KATA PENGANTAR	ix
DAFTAR ISI	xii
DAFTAR GAMBAR.....	xiv
DAFTAR TABEL.....	xv
DAFTAR RUMUS	xvi
DAFTAR SINGKATAN	xvii
BAB I PENDAHULUAN	I-1
1.1 Latar Belakang	I-1
1.2 Rumusan Masalah	I-5
1.3 Tujuan Penelitian.....	I-5
1.4 Batasan Penelitian	I-5
1.5 Manfaat Penelitian	I-6
BAB II TINJAUAN PUSTAKA	II-1
2.1 Penelitian Terkait.....	II-1
2.2 Landasan Teori	II-3
2.2.1 Pembangkit Listrik Tenaga Gas (PLTG)	II-3
Prinsip kerja PLTG.....	II-3
Komponen-komponen PLTG.....	II-3
2.2.2 Faktor-faktor yang mempengaruhi kinerja PLTG	II-7
2.2.3 Termodinamika dan Siklus Brayton.....	II-9
Prinsip dasar hukum pertama termodinamika.....	II-9
Prinsip dasar hukum kedua termodinamika	II-10
Siklus brayton	II-10
2.2.4 Daya Bersih PLTG	II-13

- Hak Cipta dilindungi Undang-Undang
1. Dilarang mengutip sebagian atau seluruh karya tulis ini tanpa mencantumkan dan menyebutkan sumber:
a. Pengutipan hanya untuk kepentingan pendidikan, penelitian, penulisan karya ilmiah, penyusunan laporan, penulisan kritik atau tinjauan suatu masalah.
b. Pengutipan tidak merugikan kepentingan yang wajar UIN Suska Riau.
2. Dilarang mengumumkan dan memperbanyak sebagian atau seluruh karya tulis ini dalam bentuk apapun tanpa izin UIN Suska Riau.



2.2.5 Efisiensi Thermal	II-13
2.2.6 <i>Engineering Equation Solver (EES)</i>	II-14
BAB III METODOLOGI PENELITIAN.....	III-1
3.1 Jenis Penelitian.....	III-1
3.2 Sumber Data	III-1
3.3 Alur Penelitian	III-1
3.4 Identifikasi Masalah.....	III-2
3.5 Studi Literatur	III-3
3.6 Pengumpulan Data.....	III-3
3.7 Perhitungan Kondisi Eksiting PLTG Unit 1	III-4
3.8 Perhitungan Pengaruh Temperatur Inlet Kompresor dan Laju Aliran Bahan Bakar Terhadap Daya dan Efisiensi PLTG.....	III-9
3.9 Menentukan Optimasi PLTG	III-11
3.10 Analisis dan Pembahasan	III-11
BAB IV HASIL DAN PEMBAHASAN	IV-1
4.1 Hasil Daya dan Efisiensi Kondisi Eksisting PLTG Unit 1	IV-1
4.2 Hasil Pengaruh Temperatur Inlet Kompresor dan Laju Aliran Bahan Bakar Terhadap Daya dan Efisiensi	IV-11
4.3 Penentuan Optimasi PLTG Unit 1	IV-12
4.4 Analisis	IV-14
BAB V PENUTUP	V-1
5.1 Kesimpulan	V-1
5.2 Saran	V-2
DAFTAR PUSTAKA	
LAMPIRAN	
DAFTAR RIWAYAT HIDUP	

Gambar**DAFTAR GAMBAR****Halaman**

Gambar 2. 1 Komponen combustion chamber	II-4
Gambar 2. 2 Air Inlet filter	II-4
Gambar 2. 3 Kompresor	II-5
Gambar 2. 4 Combustion Chamber	II-5
Gambar 2. 5 Turbine section	II-6
Gambar 2. 6 Exhaust Section	II-6
Gambar 2. 7 Skema turbin dan generator 1 shaft	II-7
Gambar 2. 8 Siklus brayton kurva Air Standard diagram P-V dan T-S.....	II-10
Gambar 3. 1 Alur Penelitian	III-2
Gambar 3. 2 Alur Menggunakan <i>Software EES</i>	III-6
Gambar 3. 3 Tampilan Menentukan <i>Unit system</i>	III-6
Gambar 3. 4 Tampilan input data	III-7
Gambar 3. 5 Tampilan Menuliskan Persamaan	III-8
Gambar 3. 6 Tampilan Hasil.....	III-8
Gambar 3. 7 Tampilan Hasil Error	III-9
Gambar 4. 1 Input Data Kondisi Eksisting 1	IV-8
Gambar 4. 2 Penulisan Persamaan Kondisi Eksisting 1	IV-9
Gambar 4. 3 Hasil dari Kondisi Eksisting 1 Menggunakan EES	IV-9
Gambar 4. 4 Hasil Kondisi Eksisting 1 dan 2 PLTG Unit 1	IV-14
Gambar 4. 5 Chart Analisis Pengaruh Temperatur Inlet dan Laju BB Terhadap Daya dan Efisiensi pada Kondisi Eksisting 1	IV-16
Gambar 4. 6 Chart Analisis Pengaruh Temperatur Inlet dan Laju BB Terhadap Daya dan Efisiensi pada Kondisi Eksisting 2	IV-17
Gambar 4. 7 Chart Hasil Perbandingan Kondisi Eksisting dan Optimasi PLTG Unit 1	IV-20

1. Dilarang mengutip sebagian atau seluruh karya tulis ini tanpa mencantumkan dan menyebutkan sumber:
 - a. Pengutipan hanya untuk kepentingan pendidikan, penelitian, penulisan karya ilmiah, penyusunan laporan, penulisan kritik atau tinjauan suatu masalah.
 - b. Pengutipan tidak merugikan kepentingan yang wajar UIN Suska Riau.
2. Dilarang mengumumkan dan memperbanyak sebagian atau seluruh karya tulis ini dalam bentuk apapun tanpa izin UIN Suska Riau.

**Hak Cipta Untuk Undangan****Tabel**

Tabel	Halaman
Tabel 3. 1 Data properties kondisi eksisting 1 PLTG Unit 1	III-4
Tabel 3. 2 Data properties kondisi eksisting 2 PLTG Unit 1	III-4
Tabel 3. 3 Data Variasi Temperatur Inlet Kompresor Dan Laju Aliran Bahan Bakar	III-10
Tabel 4. 1 Hasil Perhitungan Entalpi Temperatur Setiap Proses Siklus Bryton	IV-2
Tabel 4. 2 Hasil Perhitungan Entalpi Ideal T _{2'} dan T _{4'}	IV-3
Tabel 4. 3 Hasil Perhitungan Kondisi Eksisting 1 dan 2 secara teoritis	IV-7
Tabel 4. 4 Hasil Perhitungan Kondisi Eksisting 1 dan 2 pada EES.....	IV-10
Tabel 4. 5 Hasil Persentase Error.....	IV-10
Tabel 4. 6 Hasil Simulasi Variasi Pertama pada Kedua Parameter Pada Eksisting 1	IV-11
Tabel 4. 7 Hasil Perhitungan Variasi Parameter Pada Kondisi Eksisting 1	IV-12
Tabel 4. 8 Hasil Perhitungan Variasi Parameter Pada Kondisi Eksisting 2	IV-13

1. Dilarang mengutip sebagian atau seluruh karya tulis ini tanpa mencantumkan dan menyebutkan sumber:

- Pengutipan hanya untuk kepentingan pendidikan, penelitian, penulisan karya ilmiah, penyusunan laporan, penulisan kritik atau tinjauan suatu masalah.
- Pengutipan tidak merugikan kepentingan yang wajar UIN Suska Riau.

- Dilarang mengumumkan dan memperbanyak sebagian atau seluruh karya tulis ini dalam bentuk apapun tanpa izin UIN Suska Riau.



DAFTAR RUMUS

- 2.1 Rumus Temperatur udara *outlet compressor* teoritis
2.2 Rumus Efisiensi Kompresor
2.3 Rumus Laju Aliran Udara
2.4 Rumus Kerja Kompresor
2.5 Rumus Nilai Kalor yang Masuk
2.6 Rumus Temperatur *Exhaust* Teoritis
2.7 Rumus Efisiensi Turbin
2.8 Rumus Kerja Turbin
2.9 Rumus Daya Netto Pembangkit
2.10 Rumus Efisiensi *Thermal*

Hak Cipta Dilindungi Undang-Undang

1. Dilarang mengutip sebagian atau seluruh karya tulis ini tanpa mencantumkan dan menyebutkan sumber:
 - a. Pengutipan hanya untuk kepentingan pendidikan, penelitian, penulisan karya ilmiah, penyusunan laporan, penulisan kritik atau tinjauan suatu masalah.
 - b. Pengutipan tidak merugikan kepentingan yang wajar UIN Suska Riau.
2. Dilarang mengumumkan dan memperbanyak sebagian atau seluruh karya tulis ini dalam bentuk apapun tanpa izin UIN Suska Riau.

© Hak Cipta milik IAIN Sultan Syarif Kasim Riau

State Islamic University of Sultan Syarif Kasim Riau



DAFTAR SINGKATAN

- EES : *Engineering Equation Solve*
MW : MegaWatt
PLTA : Pembangkit Listrik Tenaga Air
PLTBm : Pembangkit Listrik Tenaga Biomassa
PLTD : Pembangkit Listrik Tenaga Diesel
PLTG : Pembangkit Listrik Tenaga Gas
PLTGU : Pembangkit Listrik Tenaga Gas Uap
PLTMG : Pembangkit Listrik Tenaga Mesin Gas
PLTP : Pembangkit Listrik Tenaga Panas Bumi
PLTU MT : Pembangkit Listrik Tenaga Uap Mulut Tambang
PLTU : Pembangkit Listrik Tenaga Uap

Hak Cipta ini dilindungi Undang-Undang.
1. Dilarang mengutip sebagian atau seluruh karya tulis ini tanpa mencantumkan dan menyebutkan sumber:
a. Pengutipan hanya untuk kepentingan pendidikan, penelitian, penulisan karya ilmiah, penyusunan laporan, penulisan kritik atau tinjauan suatu masalah.
b. Pengutipan tidak merugikan kepentingan yang wajar UIN Suska Riau.

2. Dilarang mengumumkan dan memperbanyak sebagian atau seluruh karya tulis ini dalam bentuk apapun tanpa izin UIN Suska Riau.

1. Dilarang mengutip sebagian atau seluruh karya tulis ini tanpa mencantumkan dan menyebutkan sumber:
 - a. Pengutipan hanya untuk kepentingan pendidikan, penelitian, penulisan karya ilmiah, penyusunan laporan, penulisan kritik atau tinjauan suatu masalah.
 - b. Pengutipan tidak merugikan kepentingan yang wajar UIN Suska Riau.
2. Dilarang mengumumkan dan memperbanyak sebagian atau seluruh karya tulis ini dalam bentuk apapun tanpa izin UIN Suska Riau.

BAB I

PENDAHULUAN

1.1 Latar Belakang

Energi listrik memiliki peran krusial dalam mendukung kemajuan pembangunan suatu negara. Di Indonesia, perkembangan ini tercermin melalui pertumbuhan jumlah penduduk yang terus meningkat, serta aktivitas industri yang semakin intens, menyebabkan peningkatan signifikan dalam penggunaan energi listrik. Oleh karena itu, diperlukan upaya untuk meningkatkan efisiensi operasional unit-unit pembangkit listrik guna mengatasi lonjakan konsumsi yang semakin tinggi [1].

Menanggapi kebutuhan ini, Indonesia telah mengembangkan kapasitas pembangkit listrik yang bervariasi. Pada tahun 2022, Indonesia memiliki total kapasitas pembangkit listrik terpasang sebesar 83.813,09 MW, dengan komposisi bervariasi. Pembangkit Listrik Tenaga Uap (PLTU) mendominasi dengan 50,52%, diikuti Pembangkit Listrik Tenaga Gas dan Uap (PLTGU) sebesar 15,99%, Pembangkit Listrik Tenaga Air (PLTA) sebesar 7,15%, Pembangkit Listrik Tenaga Gas (PLTG) sebesar 5,32%, dan Pembangkit Listrik Tenaga Diesel (PLTD) sebesar 5,19%. Jenis pembangkit lainnya, termasuk Pembangkit Listrik Tenaga Mesin Gas (PLTMG), Pembangkit Listrik Tenaga Biomassa (PLTBm), Pembangkit Listrik Tenaga Uap Mulut Tambang (PLTU MT), dan Pembangkit Listrik Tenaga Panas Bumi (PLTP), masing-masing menyumbang kurang dari 4% dari total kapasitas [2]. Diversifikasi ini mencerminkan upaya Indonesia dalam mengoptimalkan berbagai sumber daya untuk memenuhi kebutuhan listrik nasional. PLTG, dengan kontribusi sekitar 4.458,86 MW, memegang peran penting dalam struktur penyediaan listrik Indonesia. PLTG menjadi pilihan yang efektif karena keunggulannya, meliputi waktu konstruksi yang singkat, kemampuan start-up cepat, dan fleksibilitas operasional tinggi dalam menghadapi dinamika kebutuhan listrik [3].

Di Provinsi Riau, terdapat beberapa pembangkit listrik tenaga gas (PLTG) yang berperan penting dalam penyediaan listrik daerah seperti PLTG Teluk Lembu kapasitas 2x21,60 MW [4], PLTG Balai Pungut kapasitas 20 MW [5], dan PLTG PT. PLN Mandau Cipta Tenaga Nusantara (MCTN) Duri yang berkapasitas 3 x 100 MW. PLTG PLN MCTN merupakan pembangkit listrik tenaga gas yang beroperasi dengan turbin gas yang dinamakan *gas turbine cogeneration*, memasok listrik sebesar 70% pada operasional eksplorasi minyak di Blok Rokan [6].

Mengingat peran vital PLTG PT. PLN MCTN Duri dalam mendukung sektor energi dan industri di Riau, sehingga optimasi kinerja pembangkit ini memberikan dampak yang signifikan bagi wilayah tersebut. Data operasional menunjukkan bahwa PLTG MCTN mengkonsumsi gas alam sebanyak 3.400 ton/hari untuk mengoperasikan 3 unit pembangkit [6]. Berdasarkan data operasional PLTG PLN MCTN memiliki tingkat efisiensi rata-rata sebesar 33%, yang menunjukkan adanya potensi untuk peningkatan kinerja lebih lanjut. Ketiga unit pembangkit ini beroperasi secara simultan untuk memenuhi kebutuhan listrik wilayah blok rokan, namun masing-masing unit memiliki karakteristik operasional yang berbeda-beda.

Berdasarkan hasil wawancara dengan tim engineer PLN MCTN Duri pada Januari 2024, Unit 1, 2, dan 3 PLTG PLN MCTN dirancang untuk beroperasi optimal dalam berbagai kondisi beban, masing-masing dengan kapasitas 100 MW. Unit 3 dirancang untuk memasok listrik langsung ke pelanggan, termasuk operasional eksplorasi minyak di Blok Rokan dan kebutuhan listrik regional. Sementara itu, Unit 1 dan 2 memiliki konfigurasi yang sedikit berbeda, di mana sebagian dari daya yang dihasilkannya digunakan untuk mendukung operasional pembangkit itu sendiri, menciptakan sistem yang lebih terintegrasi dan mandiri.

Namun, Unit 1 menunjukkan variasi kinerja yang signifikan dibandingkan dengan dua unit lainnya. Analisis berdasarkan data operasional Unit 1 periode Januari 2024 mengungkapkan adanya fluktuasi output daya yang menjadi perhatian khusus. Ditemukan bahwa Unit 1 beroperasi dengan rentang kapasitas yang bervariasi. Dalam beberapa kasus, Unit 1 menghasilkan daya yang melebihi kapasitas normalnya, mencapai hingga 104 MW, sementara di waktu lain, outputnya turun hingga mencapai 95 MW.

Data operasional Unit 1 menunjukkan adanya hubungan yang signifikan antara temperatur inlet kompresor dan laju aliran bahan bakar terhadap output daya yang dihasilkan. Ketika temperatur inlet kompresor berada pada kondisi terendah yaitu 77,76°F, unit menghasilkan daya sebesar 102,23 MW yang melebihi kapasitas normalnya. Sebaliknya, pada temperatur tertinggi 92,12°F, daya yang dihasilkan turun menjadi 97,15 MW. Pengaruh serupa juga terlihat pada variasi laju aliran bahan bakar, di mana pada laju terendah 6,83 kg/s, daya output mencapai 95,5378 MW, sedangkan pada laju tertinggi 7,32 kg/s daya meningkat hingga 104,72 MW. Data-data ini semakin memperkuat indikasi bahwa kedua parameter tersebut memiliki pengaruh signifikan terhadap fluktuasi output daya Unit 1.

1. Dilarang mengutip sebagian atau seluruh karya tulis ini tanpa mencantumkan dan menyebutkan sumber:
 - a. Pengutipan hanya untuk kepentingan pendidikan, penelitian, penulisan karya ilmiah, penyusunan laporan, penulisan kritik atau tinjauan suatu masalah.
 - b. Pengutipan tidak merugikan kepentingan yang wajar UIN Suska Riau.
2. Dilarang mengumumkan dan memperbanyak sebagian atau seluruh karya tulis ini dalam bentuk apapun tanpa izin UIN Suska Riau.

Fluktuasi output daya pada Unit 1 PLTG PLN MCTN menimbulkan rangkaian permasalahan yang saling terkait. Dinamika pasokan listrik akibat variasi output yang signifikan mengurangi keandalan sistem dan mempersulit manajemen beban di seluruh jaringan [7]. Variasi operasional ini memberikan beban operasional pada komponen-kritis, mempercepat keausan dan meningkatkan risiko kerusakan [8]. Saat beroperasi di bawah kapasitas optimal, Unit 1 tidak mencapai efisiensi termal terbaiknya, menyebabkan pemborosan bahan bakar dan peningkatan biaya operasional [9]. Selain itu, kondisi ini memerlukan penyesuaian untuk memenuhi standar operasional ketenagalistrikan [7], [8]. Penanganan fluktuasi output daya menjadi krusial untuk menjamin efisiensi operasional dan keandalan pasokan listrik.

Secara umum, fluktuasi daya pada pembangkit listrik tenaga gas dapat disebabkan oleh beberapa faktor utama. Faktor-faktor ini meliputi variasi kualitas dan komposisi bahan bakar gas yang digunakan, yang dapat mempengaruhi efisiensi pembakaran dan output daya [10]. Selain itu, kondisi lingkungan seperti temperatur dan kelembaban udara ambien juga berperan penting; perubahan suhu dapat mempengaruhi densitas udara yang masuk ke dalam kompresor, sehingga memengaruhi kinerja turbin [11]. Perubahan beban yang dinamis merupakan faktor lain yang signifikan, di mana permintaan listrik yang fluktuatif dapat menyebabkan ketidakstabilan dalam output daya [12].

Selanjutnya, kondisi komponen-komponen utama pembangkit seperti kompresor dan turbin juga sangat berpengaruh; degradasi performa komponen akibat pengoperasian jangka panjang dan fouling pada kompresor dapat menyebabkan penurunan efisiensi [10]. Ketidakseimbangan sistem pendinginan juga berkontribusi terhadap ketidakstabilan output daya, karena sistem pendinginan yang tidak optimal dapat menyebabkan overheating pada komponen kritis [13][14]. Dalam konteks PLTG PLN MCTN Duri, berdasarkan data operasional, fluktuasi daya terutama dipengaruhi oleh variasi temperatur inlet kompresor dan laju aliran bahan bakar, yang keduanya sangat sensitif terhadap perubahan kondisi operasional dan lingkungan.

Dalam menangani fluktuasi daya ini, berdasarkan hasil pengamatan dilapangan PLN MCTN telah mengimplementasikan berbagai strategi pengelolaan yang sistematis. Perusahaan menjalankan program maintenance preventif dan prediktif secara menyeluruh untuk memastikan kinerja optimal komponen-komponen strategis. Sebagai langkah pengembangan, dilakukan integrasi operasional antara Unit 1 dan Unit 2 yang bertujuan meningkatkan stabilitas sistem. Pendekatan ini dirancang untuk mengoptimalkan distribusi

1. Hak cipta dilindungi undang-undang
a. Pengutipan hanya untuk kepentingan pendidikan, penelitian, penulisan karya ilmiah, penyusunan laporan, penulisan kritik atau tinjauan suatu masalah.
b. Pengutipan tidak merugikan kepentingan yang wajar UIN Suska Riau.
2. Dilarang mengumumkan dan memperbanyak sebagian atau seluruh karya tulis ini dalam bentuk apapun tanpa izin UIN Suska Riau.

beban dan meningkatkan efisiensi operasional pembangkit. Berdasarkan data operasional, terdapat peluang pengembangan lebih lanjut dalam pengelolaan stabilitas daya. Hal ini membuka kesempatan untuk mengembangkan pendekatan yang lebih komprehensif, khususnya dalam optimalisasi parameter-parameter kunci yang berperan dalam stabilitas output daya.

Berdasarkan permasalahan tersebut, diperlukan kajian mendalam untuk mengoptimalkan kinerja pembangkit. Fluktuasi yang terjadi tidak hanya mempengaruhi reliabilitas pasokan listrik tetapi juga berdampak signifikan pada efisiensi operasional pembangkit. Parameter temperatur inlet kompresor dan laju aliran bahan bakar yang telah teridentifikasi sebagai faktor kunci perlu dianalisis lebih lanjut untuk menemukan solusi optimal dalam meningkatkan performa pembangkit.

Untuk mencapai optimasi kinerja PLTG, penelitian akan difokuskan pada analisis daya dan efisiensi PLTG dengan mempertimbangkan dua parameter utama: laju aliran bahan bakar dan temperatur inlet kompresor. Pemilihan kedua parameter ini didasarkan pada peran vital keduanya dalam siklus termodinamika PLTG, di mana temperatur inlet mempengaruhi proses kompresi dan efisiensi termal, sementara laju aliran bahan bakar berkontribusi langsung terhadap energi yang dihasilkan dalam proses pembakaran [15].

Analisis efisiensi dan daya PLTG, baik pada kondisi eksisting maupun dalam rangka optimasi, akan dilakukan menggunakan pendekatan hukum pertama dan kedua termodinamika dengan mengaplikasikan siklus Brayton. Siklus Brayton, yang merupakan siklus termodinamika ideal untuk turbin gas, terdiri dari proses kompresi isentropik, pembakaran isobarik, ekspansi isentropik, dan pendinginan isobarik [16]. Penggunaan kedua hukum termodinamika ini memungkinkan analisis mendalam tidak hanya terhadap perpindahan dan konversi energi (hukum pertama) tetapi juga kualitas energi dan irreversibilitas sistem (hukum kedua)[17][18].

Dalam pelaksanaan analisis, penelitian ini akan memanfaatkan *software Engineering Equation Solver* (EES). Penggunaan EES dipilih karena kemampuannya dalam menyelesaikan persamaan termodinamika yang kompleks secara simultan, serta database properti termodinamika yang menyeluruh yang dapat mendukung akurasi perhitungan [19]. Hasil optimasi yang diperoleh akan dibandingkan dengan kondisi eksisting untuk mengukur efektivitas perubahan parameter yang diusulkan dan mengkuantifikasi potensi peningkatan kinerja sistem.

Berdasarkan urgensi permasalahan yang telah dipaparkan di atas, penulis tertarik untuk melakukan penelitian dengan judul **Analisis Pengaruh Temperatur Inlet Kompresor dan Laju Aliran Bahan Bakar Terhadap Optimasi Daya Pembangkit Listrik Tenaga Gas (PLTG) Studi kasus PT. PLN MCTN Duri**. Penelitian ini diharapkan dapat memberikan kontribusi signifikan dalam upaya peningkatan efisiensi dan optimasi kinerja PLTG, yang pada akhirnya akan berdampak positif pada keandalan pasokan listrik di wilayah operasionalnya.

1. Dilarang mengutip sebagian
a. Pengutipan hanya untuk
b. Pengutipan tidak merugikan
2. Dilarang mengumumkan c

1.2 Rumusan Masalah

1. Bagaimana kondisi eksisting kinerja unit 1 PLTG PT. PLN MCTN Duri, khususnya terkait fluktuasi daya?
 2. Bagaimana pengaruh temperatur inlet kompresor dan laju aliran bahan bakar terhadap efisiensi dan daya unit 1 PLTG PT. PLN MCTN Duri?
 3. Bagaimana kombinasi optimal antara temperatur inlet kompresor dan laju aliran bahan bakar untuk mencapai efisiensi dan daya yang optimal pada unit 1 PLTG PT. PLN MCTN Duri?

1.3 Tujuan Penelitian

- Sistem Unit PLTG**

 1. Menganalisis kondisi eksisting kinerja Unit 1 PLTG PT. PLN MCTN Duri, terutama terkait fluktuasi daya.
 2. Menghitung dan menganalisis pengaruh temperatur inlet kompresor dan laju aliran bahan bakar terhadap efisiensi dan daya Unit 1 PLTG PT. PLN MCTN Duri.
 3. Menentukan kombinasi optimal antara temperatur inlet kompresor dan laju aliran bahan bakar untuk mencapai efisiensi dan daya yang optimal pada Unit 1 PLTG PT. PLN MCTN Duri.

1.4 Batasan Penelitian

1. Penelitian berfokus pada Unit 1 PLTG PT. PLN MCTN Duri

2. Penelitian dilakukan pada kondisi beban operasional tetap sebesar 100 MW

3. Pengambilan data dilakukan dengan metode sampling pada satu hari dalam bulan Januari 2024, dengan pencatatan setiap satu menit selama 24 jam.

4. Penelitian ini hanya menganalisis data historis tanpa eksperimen tambahan.



- Hak Cipta Dilindungi Undang-Undang**
1. Dilarang mengutip sebagian atau seluruh karya tulis ini tanpa mencantumkan dan menyebutkan sumber:
 - a. Pengutipan hanya untuk kepentingan pendidikan, penelitian, penulisan karya ilmiah, penyusunan laporan, penulisan kritik atau tinjauan suatu masalah.
 - b. Pengutipan tidak merugikan kepentingan yang wajar UIN Suska Riau.
 2. Dilarang mengumumkan dan memperbanyak sebagian atau seluruh karya tulis ini dalam bentuk apapun tanpa izin UIN Suska Riau.
5. Aliran fluida pada pembangkit dianggap *stationer* sehingga energi potensial dan kinetik diabaikan.
6. Asumsi massa udara yang masuk kompresor sama dengan massa udara yang keluar dari turbin.
7. Penelitian ini hanya berfokus pada pengaruh temperatur inlet kompresor dan laju aliran bahan bakar terhadap fluktuasi daya. Faktor lain seperti kondisi peralatan, parameter operasional lainnya, variasi komposisi bahan bakar, kondisi lingkungan internal plant, serta faktor eksternal seperti cuaca ekstrem atau gangguan jaringan tidak termasuk dalam analisis.
8. Analisis ekonomi dan finansial tidak termasuk dalam cakupan penelitian ini.
9. Produksi energi tahunan dan faktor kapasitas tidak dihitung dalam penelitian ini.

1.5 Manfaat Penelitian

1. Memberikan pemahaman mendalam tentang faktor-faktor yang mempengaruhi kinerja Unit 1 PLTG PT. PLN MCTN Duri.
2. Menyediakan rekomendasi teknis untuk optimasi operasional Unit 1 PLTG PT. PLN MCTN Duri.
3. Berkontribusi pada peningkatan efisiensi dan keandalan pasokan listrik di wilayah operasional PLTG PT. PLN MCTN Duri.
4. Menyediakan dasar ilmiah untuk pengambilan keputusan terkait manajemen dan pemeliharaan PLTG di masa mendatang.
5. Memberikan wawasan yang dapat diterapkan pada optimasi kinerja unit-unit PLTG lainnya di Indonesia.

- Hak Cipta Dilindungi Undang-Undang
1. Dilarang mengutip sebagian atau seluruh karya tulis ini tanpa mencantumkan dan menyebutkan sumber:
a. Pengutipan hanya untuk kepentingan pendidikan, penelitian, penulisan karya ilmiah, penyusunan laporan, penulisan kritik atau tinjauan suatu masalah.
b. Pengutipan tidak merugikan kepentingan yang wajar UIN Suska Riau.
2. Dilarang mengumumkan dan memperbanyak sebagian atau seluruh karya tulis ini dalam bentuk apapun tanpa izin UIN Suska Riau.

BAB II

TINJAUAN PUSTAKA

2.1 Penelitian Terkait

Kajian literatur dalam penelitian ini menggunakan berbagai sumber referensi ilmiah seperti hasil penelitian terdahulu, buku-buku, tinjauan pustaka, dan jurnal yang berkaitan dengan optimasi daya output pembangkit listrik tenaga gas, khususnya dalam analisis pengaruh temperatur inlet kompresor dan laju aliran bahan bakar pada Unit 1 PLTG PT. PLN MCTN Duri.

Penelitian yang berjudul tentang "Pengaruh Perubahan Temperatur Terhadap Daya Output Generator PLTG 1.1 Blok I Tambak Lorok Semarang". Penelitian ini bertujuan menganalisis pengaruh perubahan temperatur lingkungan terhadap daya output generator PLTG. Metode yang digunakan meliputi pengumpulan data melalui observasi langsung, pengukuran menggunakan thermometer digital dan pressure indicator, serta pengambilan data dari sistem kontrol digital (DCS). Hasil penelitian menunjukkan adanya hubungan berbanding terbalik antara temperatur lingkungan dengan daya output generator, di mana setiap kenaikan temperatur 1°C menyebabkan penurunan daya output rata-rata sebesar 882.56 kW [20].

Penelitian yang berjudul "Simulasi Parametrik Pengaruh Temperatur Lingkungan pada Pembangkit Listrik Tenaga Gas" mengkaji optimasi efisiensi PLTG menggunakan simulasi parametrik. Penelitian ini bertujuan menganalisis pengaruh variasi temperatur lingkungan terhadap *Specific Fuel Consumption* (SFC) dan *Heat Rate*. Metode yang digunakan adalah simulasi dengan memvariasikan temperatur lingkungan dan bukaan katup gas. Hasil penelitian menemukan bahwa peningkatan temperatur lingkungan menaikkan SFC dan Heat Rate, yang mengindikasikan konsumsi bahan bakar lebih boros pada temperatur tinggi [21].

Penelitian yang berjudul "Analisis Pengaruh Udara Ambien Terhadap Beban Turbin Generator PLTG Teluk Lembu". Tujuan penelitian ini adalah menganalisis dampak suhu ambien terhadap daya keluaran generator dan menghitung efisiensi serta rugi daya. Metodologi penelitian mengkombinasikan perhitungan manual dan simulasi MATLAB. Hasil penelitian menunjukkan bahwa suhu udara ambien yang lebih tinggi menurunkan efisiensi PLTG dan meningkatkan rugi daya generator, dengan rugi daya mencapai 84.465,30 watt pada suhu ambien tertinggi [22].

Penelitian yang berjudul "Metode Pendekatan Analisis Regresi untuk Efisiensi Energi PLTG" mengkaji optimasi efisiensi energi menggunakan analisis regresi. Penelitian

berujuan menganalisis dan mengoptimalkan efisiensi energi PLTG melalui optimasi massa bahan bakar dan oksigen. Metode yang digunakan adalah kombinasi studi literatur dan lapangan dengan analisis regresi linear. Hasil penelitian menunjukkan peningkatan efisiensi energi termal dari 21,764% menjadi 21,870% setelah optimasi massa oksigen [15].

Penelitian yang berjudul "Analisis Efisiensi Thermal untuk Menentukan Beban Optimal pada PLTG Menggunakan Metode Siklus Brayton". Penelitian ini bertujuan menganalisis efisiensi thermal dan menentukan beban optimal pada PLTG blok 2 di PT Indonesia Power Grati. Metodologi menggunakan pendekatan kuantitatif dengan analisis siklus Brayton dan simulasi MATLAB. Hasil menunjukkan efisiensi thermal tertinggi 33% dicapai pada beban maksimum (± 100 MW) [16].

Penelitian-penelitian terdahulu telah memberikan kontribusi signifikan dalam pemahaman optimasi PLTG diantaranya penelitian [20] yang menunjukkan adanya hubungan berbanding terbalik antara temperatur lingkungan dengan daya output generator, dimana setiap kenaikan temperatur 1°C menyebabkan penurunan daya output rata-rata sebesar 882.56 kW. Penelitian ini memberikan dasar pemahaman tentang pengaruh temperatur terhadap kinerja PLTG.

Sejalan dengan penelitian tersebut, [21] dalam penelitiannya mengungkapkan bahwa peningkatan temperatur lingkungan meningkatkan *Specific Fuel Consumption* (SFC) dan *Heat Rate*, yang mengindikasikan bahwa konsumsi bahan bakar menjadi lebih boros pada temperatur tinggi. Hasil penelitian ini memperkuat pemahaman tentang pentingnya pengendalian temperatur dalam operasi PLTG. Selanjutnya dari sisi efisiensi energi, penelitian [15] menunjukkan keberhasilan dalam peningkatan efisiensi energi termal dari 21,764% menjadi 21,870% dengan menggunakan pendekatan analisis regresi untuk optimasi massa bahan bakar dan oksigen. Sementara itu, [16] menggunakan metode siklus Brayton dan simulasi MATLAB untuk menganalisis efisiensi thermal menemukan bahwa efisiensi tertinggi 33% dicapai pada beban maksimum (± 100 MW).

Peneliti mendekati penelitian yang dilakukan oleh [16] dalam menerapkan metode analisis termodinamika menggunakan hukum pertama dan kedua termodinamika pada siklus Brayton. Namun, penelitian [16] hanya berfokus pada satu parameter yaitu variasi beban untuk mencapai efisiensi termal optimal. Sementara itu, penelitian peneliti mengembangkan analisis lebih komprehensif dengan menambahkan dua parameter kunci secara simultan: temperatur inlet kompresor dan laju aliran bahan bakar dengan pemanfaatan software *Engineering Equation Solver* (EES) untuk optimasi PLTG. Penambahan parameter

2.

a.

b.

c.

d.

e.

f.

g.

h.

i.

j.

k.

l.

m.

n.

o.

p.

q.

r.

s.

t.

u.

v.

w.

x.

y.

z.

aa.

bb.

cc.

dd.

ee.

ff.

gg.

hh.

ii.

jj.

kk.

ll.

mm.

nn.

oo.

pp.

qq.

rr.

ss.

tt.

uu.

vv.

ww.

xx.

yy.

zz.

aa.

bb.

cc.

dd.

ee.

ff.

gg.

hh.

ii.

jj.

kk.

ll.

mm.

nn.

oo.

pp.

qq.

rr.

ss.

tt.

uu.

vv.

ww.

xx.

yy.

zz.

aa.

bb.

cc.

dd.

ee.

ff.

gg.

hh.

ii.

jj.

kk.

ll.

mm.

nn.

oo.

pp.

qq.

rr.

ss.

tt.

uu.

vv.

ww.

xx.

yy.

zz.

aa.

bb.

cc.

dd.

ee.

ff.

gg.

hh.

ii.

jj.

kk.

ll.

mm.

nn.

oo.

pp.

qq.

rr.

ss.

tt.

uu.

vv.

ww.

xx.

yy.

zz.

aa.

bb.

cc.

dd.

ee.

ff.

gg.

hh.

ii.

jj.

kk.

ll.

mm.

nn.

oo.

pp.

qq.

rr.

ss.

tt.

uu.

vv.

ww.

xx.

yy.

zz.

aa.

bb.

cc.

dd.

ee.

ff.

gg.

hh.

ii.

jj.

kk.

ll.

mm.

nn.

oo.

pp.

qq.

rr.

ss.

tt.

uu.

vv.

ww.

xx.

yy.

zz.

aa.

bb.

cc.

dd.

ee.

ff.

gg.

hh.

ii.

jj.

kk.

ll.

mm.

nn.

oo.

pp.

qq.

rr.

ss.

tt.

uu.

vv.

ww.

xx.

yy.

zz.

aa.

bb.

cc.

dd.

ee.

ff.

gg.

hh.

ii.

jj.

kk.

ll.

mm.

nn.

oo.

pp.

qq.

rr.

ss.

tt.

uu.

vv.

ww.

xx.

yy.

zz.

aa.

bb.

cc.

dd.

ee.

ff.

gg.

hh.

ii.

jj.

kk.

ll.

mm.

nn.

oo.

pp.

qq.

rr.

ss.

tt.

uu.

vv.

ww.

xx.

yy.

zz.

aa.

bb.

cc.

dd.

ee.

ff.

gg.

hh.

ii.

jj.

kk.

ll.

mm.

nn.

oo.

pp.

qq.

rr.

ss.

tt.

uu.

vv.

ww.

xx.

yy.

zz.

aa.

bb.

cc.

dd.

ee.

ff.

gg.

hh.

ii.

jj.

kk.

ll.

mm.

nn.

oo.

pp.

qq.

rr.

ss.

tt.

uu.

vv.

ww.

xx.

yy.

zz.

aa.

bb.

cc.

dd.

ee.

ff.

gg.

hh.

temperatur inlet kompresor penting dikaji karena berpengaruh langsung terhadap proses kompresi dan efisiensi termal sebagaimana ditunjukkan dalam penelitian [21] bahwa semakin tinggi temperatur lingkungan maka konsumsi bahan bakar menjadi lebih boros. Sedangkan parameter laju aliran bahan bakar penting untuk dianalisis karena mempengaruhi energi yang dihasilkan dalam proses pembakaran seperti yang diteliti oleh [15]. Dengan mengintegrasikan kedua parameter ini dalam satu analisis, penelitian diharapkan dapat memberikan pemahaman yang lebih menyeluruh tentang optimasi kinerja PLTG, khususnya dalam mengatasi permasalahan fluktuasi output daya yang belum dikaji secara mendalam pada penelitian-penelitian sebelumnya.

2.2 Landasan Teori

2.2.1 Pembangkit Listrik Tenaga Gas (PLTG)

1. Prinsip kerja PLTG

Pembangkit Listrik Tenaga Gas (PLTG) menggunakan Bahan Bakar Minyak (BBM) atau gas seperti gas alam. Pada prinsipnya, energi panas yang dihasilkan dari pembakaran gas di ruang bakar akan digunakan untuk menggerakkan turbin dan generator melalui energi aliran untuk menghubungkan mereka pada satu poros [23]. PLTG memiliki sejumlah keunggulan, seperti waktu konstruksi yang lebih singkat, waktu *start-up* yang lebih cepat, dan kemampuan untuk menyesuaikan diri dengan fluktuasi beban operasional. Namun, PLTG juga memiliki kekurangan seperti, daya yang dihasilkan rendah, *spare part* yang mahal, perlunya pemeliharaan yang kompleks dan efisiensi cukup rendah [3].

2. Komponen-komponen PLTG

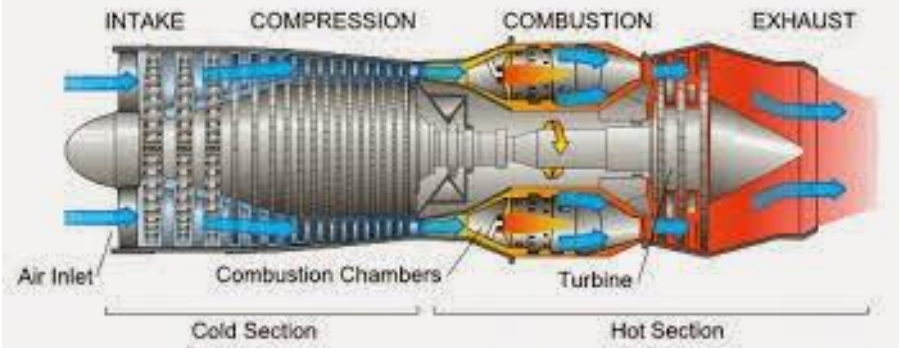
PLTG terdiri dari beberapa komponen utama yang bekerja secara terintegrasi:

a. Turbin Gas

Turbin gas merupakan sebuah alat menghasilkan listrik dengan mengubah energi kimia menjadi energi mekanik. Turbin gas bekerja dengan cara yang sama seperti siklus Brayton. Udara adalah fluida kerja turbin gas dan turbin gas memiliki komponen utama, yaitu kompresor, ruang bakar dan turbin. Kompresor menghisap udara bebas dan menghasilkan tekanan tinggi. Udara yang terkompresi ini kemudian dimasukkan ke ruang bakar dan dicampur dengan bahan bakar untuk meningkatkan suhu dan tekanan. Kemudian campuran udara dan bahan bakar ini diekspansikan ke dalam turbin, yang menggerakkan generator listrik dan menghasilkan gas buang [15].

1. Dilarang mengutip sebagian atau seluruh karya tulis ini tanpa mencantumkan dan menyebutkan sumber.
2. Dilarang mengumumkan dan memperbanyak sebagian atau seluruh karya tulis ini dalam bentuk apapun tanpa izin UIN Suska Riau.

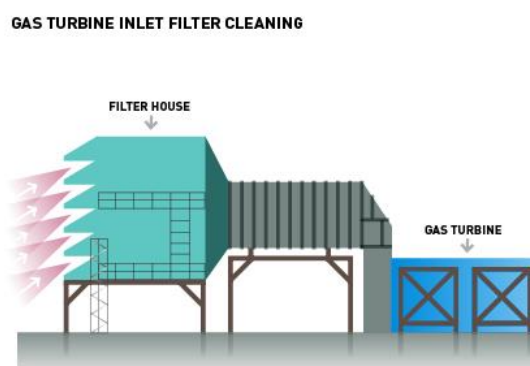
Berikut beberapa komponen yang ada pada turbin gas:



Gambar 2. 1 Komponen *combustion chamber* [24]

a) *Air Inlet*

Inlet udara pada turbin gas berperan penting dalam meningkatkan efisiensi kinerja turbin dengan memastikan bahwa udara yang masuk memiliki suhu dan kelembaban optimal. Fungsinya tidak hanya terbatas pada pengaturan parameter udara, tetapi juga mencakup tugas penting seperti penyaringan debu dan kotoran sebelum udara tersebut mengalir ke dalam kompresor. Dengan demikian, *Inlet* udara tidak hanya berkontribusi pada peningkatan efisiensi operasional turbin gas, tetapi juga melindungi komponen-komponen internal dari potensi kerusakan yang dapat disebabkan oleh partikel-partikel kasar yang terdapat dalam udara [25], [26].



Gambar 2. 2 *Air Inlet filter* [26]

b) *Compressor*

Berperan dalam melakukan kompresi pada udara yang berasal dari bagian *Inlet Air section* untuk meningkatkan tekanan udara, sehingga saat terjadi proses pembakaran, udara tersebut dapat menghasilkan gas panas dengan kecepatan tinggi [27]. Selain menghasilkan

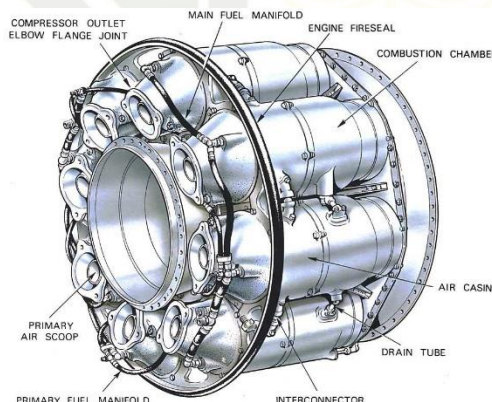
gas panas dengan kecepatan tinggi kompresor juga digunakan untuk pendinginan suhu turbin gas [24].

Hak Cipta Dilindungi Undang-Undang

- Dilarang mengutip sebagian atau seluruh karya tulis ini tanpa mencantumkan dan menyebutkan sumber.
- Pengutipan hanya untuk kepentingan pendidikan, penelitian, penulisan karya ilmiah, penyusunan laporan, penulisan kritik atau tinjauan suatu masalah.
- Pengutipan tidak merugikan kepentingan yang wajar UIN Suska Riau.

c) Combustion Chamber

Tempat terjadi saat bahan bakar dan udara terbakar bersamaan, hasil pembakaran tersebut berupa energi panas yang selanjutnya diubah menjadi energi kinetik dengan mengalirkan udara panas ke bagian *transition pieces* yang juga berfungsi sebagai nozzle [27]. Tujuan dari seluruh sistem adalah untuk menyediakan energi panas ke dalam siklus turbin [24].



Gambar 2. 4 Combustion Chamber [29]

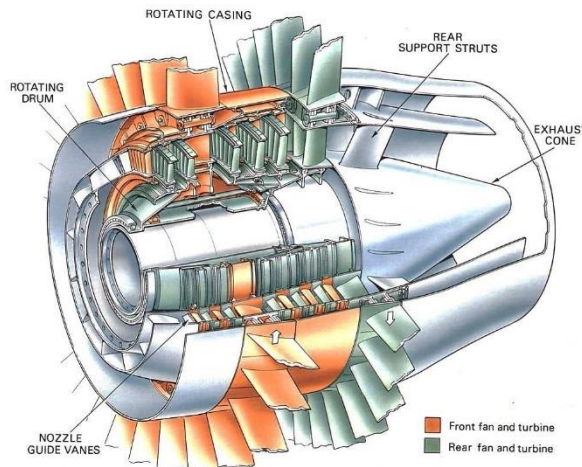
d) Turbine Section

Turbin gas merupakan suatu perangkat penggerak yang menggunakan gas sebagai fluida kerjanya. Dalam turbin gas, energi kinetik diubah menjadi energi mekanik berupa putaran yang memutar roda turbin, menghasilkan daya. Bagian yang berputar dalam turbin disebut rotor atau roda turbin, sedangkan bagian yang diam disebut stator atau rumah turbin. Rotor menggerakkan poros daya yang dapat digunakan untuk menggerakkan berbagai beban seperti generator listrik, pompa, kompresor, atau peralatan lainnya [1].

© Hak cipta milik UIN Suska Riau

Hak Cipta Dilindungi Undang-Undang

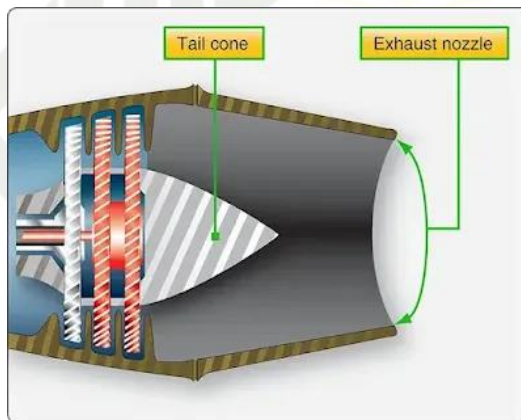
1. Dilarang mengutip sebagian atau seluruh karya tulis ini tanpa mencantumkan dan menyebutkan sumber:
 - a. Pengutipan hanya untuk kepentingan pendidikan, penelitian, penulisan karya ilmiah, penyusunan laporan, penulisan kritik atau tinjauan suatu masalah.
 - b. Pengutipan tidak merugikan kepentingan yang wajar UIN Suska Riau.
2. Dilarang mengumumkan dan memperbanyak sebagian atau seluruh karya tulis ini dalam bentuk apapun tanpa izin UIN Suska Riau.



Gambar 2. 5 Turbine section [30]

e) Exhaust Section

Bagian *exhaust*, yang juga dikenal sebagai bagian pembuangan, berperan sebagai saluran untuk mengeluarkan gas panas sisa dari turbin gas [27].



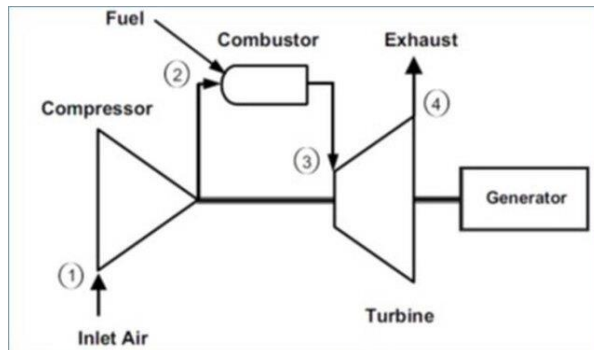
Gambar 2. 6 Exhaust Section [31]

b. Generator

Generator berfungsi mengubah energi mekanik dari turbin menjadi energi listrik. Turbin digunakan untuk memutar poros generator, dan dari putaran poros generator inilah energi listrik dihasilkan [7].

Hak Cipta Dilindungi Undang-Undang

1. Dilarang mengutip sebagian atau seluruh karya tulis ini tanpa mencantumkan dan menyebutkan sumber.
 - a. Pengutipan hanya untuk kepentingan pendidikan, penelitian, penulisan laporan, penyusunan sumber.
 - b. Pengutipan tidak merugikan kepentingan yang wajar UIN Suska Riau.
2. Dilarang mengumumkan dan memperbanyak sebagian atau seluruh karya tulis ini dalam bentuk apapun tanpa izin UIN Suska Riau.



Gambar 2. 7 Skema turbin dan generator 1 shaft [32]

2.2.2 Faktor-faktor yang mempengaruhi kinerja PLTG

1. Temperatur udara masuk

Temperatur Udara Masuk Temperatur udara yang memasuki sistem kompresor memiliki dampak signifikan terhadap efisiensi keseluruhan PLTG. Ketika temperatur udara masuk meningkat, densitas udara akan menurun, yang mengakibatkan kurangnya massa udara yang dapat dikompresi oleh sistem. Fenomena ini secara langsung mempengaruhi daya output turbin dan efisiensi termal pembangkit. Penelitian menunjukkan bahwa setiap kenaikan temperatur udara masuk sebesar 1°C dapat mengakibatkan penurunan daya output hingga 0,5-0,9%. Oleh karena itu, menjaga temperatur udara masuk pada level optimal menjadi sangat krusial untuk mempertahankan efisiensi operasional PLTG [33].

2. Tekanan udara masuk

Tekanan udara atmosfer yang masuk ke dalam sistem kompresor merupakan parameter kritis yang mempengaruhi rasio kompresi dan efisiensi pembangkit secara keseluruhan. Lokasi pembangkit, terutama dari segi ketinggian, memiliki pengaruh langsung terhadap tekanan udara atmosfer. Semakin tinggi lokasi pembangkit, semakin rendah tekanan udara atmosfer yang tersedia, yang pada gilirannya akan mempengaruhi densitas udara dan mengakibatkan pengurangan daya output turbin gas. Pemahaman tentang pengaruh tekanan udara masuk ini menjadi vital dalam perencanaan dan pengoperasian PLTG [33].

3. Kelembaban udara

Tingkat kelembaban udara memainkan peran penting dalam efisiensi operasional PLTG melalui pengaruhnya terhadap komposisi campuran udara-bahan bakar dan proses pembakaran. Udara dengan kelembaban tinggi mengandung lebih banyak uap air, yang mempengaruhi proses pembakaran karena sebagian energi panas harus digunakan untuk

mengakibatkan penurunan temperatur pembakaran dan efisiensi termal secara keseluruhan [33].

4. Kualitas bahan bakar

Karakteristik bahan bakar, termasuk nilai kalor dan kemurnian, sangat penting untuk efisiensi pembakaran. Bahan bakar yang tidak konsisten dapat menyebabkan variasi dalam temperatur pembakaran dan emisi gas buang. Hal ini juga berpengaruh pada umur komponen turbin [15], [20].

5. Kondisi perawatan komponen

Pemeliharaan komponen-komponen PLTG memegang peranan vital dalam menjaga efisiensi sistem. Kondisi filter udara yang bersih memastikan kualitas udara yang masuk ke sistem tetap optimal. Sudu-sudu kompresor dan turbin yang terpelihara dengan baik menjaga efisiensi aerodinamis pada level tertinggi. Sistem pendingin yang berfungsi optimal menjamin temperatur kerja komponen berada pada rentang yang sesuai, sementara kebersihan ruang bakar memastikan efisiensi pembakaran maksimal. Program pemeliharaan yang terencana dan tereksekusi dengan baik menjadi kunci dalam mempertahankan performa PLTG jangka panjang [34].

6. Beban operasional

Pola pembebangan PLTG memiliki pengaruh langsung terhadap efisiensi dan keandalan sistem. Operasi pada beban parsial umumnya menghasilkan efisiensi yang lebih rendah dibandingkan dengan operasi pada beban penuh. Frekuensi *start-stop* yang tinggi dapat mempercepat keausan komponen dan mempengaruhi umur peralatan. Perubahan beban yang terlalu drastis juga dapat mengganggu stabilitas operasi dan menimbulkan stress termal pada komponen-komponen kritis [16].

7. Kondisi lingkungan

Faktor lingkungan di sekitar PLTG memberikan pengaruh signifikan terhadap performa pembangkit. Ketinggian lokasi mempengaruhi tekanan atmosfer dan densitas udara yang tersedia. Kondisi cuaca dan kualitas udara ambien mempengaruhi efisiensi sistem filtrasi dan pembakaran. Temperatur lingkungan mempengaruhi sistem pendinginan dan efisiensi termal keseluruhan [20].

8. Sistem pendinginan

Efektivitas sistem pendinginan merupakan faktor krusial dalam menjaga kinerja optimal PLTG. Sistem ini bertanggung jawab dalam mengontrol temperatur kerja berbagai komponen, yang secara langsung mempengaruhi efisiensi termal dan umur peralatan. Sistem

1. Dilarang mengutip sebagian atau seluruh karya tulis ini tanpa mencantumkan dan menyebutkan sumber:
- a. Pengutipan hanya untuk kepentingan pendidikan, penelitian, penulisan karya ilmiah, penyusunan laporan, penulisan kritik atau tinjauan suatu masalah.
- b. Pengutipan tidak merugikan kepentingan yang wajar UIN Suska Riau.

2. Dilarang mengumumkan dan memperbanyak sebagian atau seluruh karya tulis ini dalam bentuk apapun tanpa izin UIN Suska Riau.

pendinginan yang berfungsi dengan baik memastikan stabilitas operasi dan mencegah terjadinya kegagalan komponen akibat overheating [35].

2.2.3 Termodinamika dan Siklus Brayton

1. Prinsip dasar hukum pertama termodinamika

Menurut Hukum Termodinamika I, energi tidak dapat diciptakan atau dimusnahkan, tetapi hanya dapat berubah bentuk. Ini berarti bahwa energi yang diberikan oleh kalor pada suatu sistem harus sama dengan energi yang digunakan untuk melakukan kerja eksternal, ditambah dengan perubahan energi dalam sistem yang disebabkan oleh kenaikan temperatur. Konsep ini mencerminkan prinsip kekekalan energi [17].

Ketika kalor diberikan pada suatu sistem, volume dan suhu sistem akan meningkat (teramat dari ekspansi dan peningkatan suhu). Sebaliknya, jika kalor diambil dari sistem, volume dan suhu akan berkurang (teramat dari kontraksi dan penurunan suhu). Prinsip ini mendasari hukum alam yang menggambarkan kekekalan energi, sejalan dengan Hukum Termodinamika I. Perubahan volume dalam sistem menghasilkan kerja, sementara perubahan suhu cenderung menghasilkan perubahan energi dalam sistem. Oleh karena itu, pemberian kalor kepada suatu sistem dapat mengakibatkan sistem melakukan kerja dan mengalami perubahan energi dalamnya [17].

Proses-proses dalam termodinamika pertama:

1. Proses Isothermal

Proses isothermal adalah suatu peristiwa di mana suhu sistem tetap stabil sepanjang proses. Selama proses ini, terjadi perubahan energi dalam sistem tanpa adanya perubahan suhu [36].

2. Proses Isokhorik

Proses isokhorik adalah suatu peristiwa di mana volume sistem tetap stabil. Dalam proses ini, tidak ada perubahan volume yang terjadi, sehingga tidak ada kerja yang dilakukan [36].

3. Proses Adiabatik

Proses adiabatik adalah peristiwa di mana tidak terjadi transfer panas antara sistem dan lingkungan sekitarnya. Selama proses ini, terjadi perubahan energi dalam sistem tanpa adanya pertukaran kalor [36].

4. Proses Isobarik

Proses isobarik adalah peristiwa di mana tekanan sistem tetap stabil sepanjang proses. Selama proses ini, terjadi perubahan energi dalam sistem tanpa adanya pertukaran kalor [36].

1. Hak Cipta Dilindungi Undang-Undang
a. Pengutipan hanya untuk kepentingan pendidikan, penelitian, penulisan karya ilmiah, penyusunan laporan, penulisan kritik atau tinjauan suatu masalah.
b. Pengutipan tidak merugikan kepentingan yang wajar UIN Suska Riau.
2. Dilarang mengumumkan dan memperbarui sebagian atau seluruh karya tulis ini dalam bentuk apapun tanpa izin UIN Suska Riau.

Proses isobarik adalah peristiwa di mana tekanan sistem tetap stabil. Selama proses ini, terjadi perubahan energi dalam sistem tanpa adanya perubahan tekanan [36].

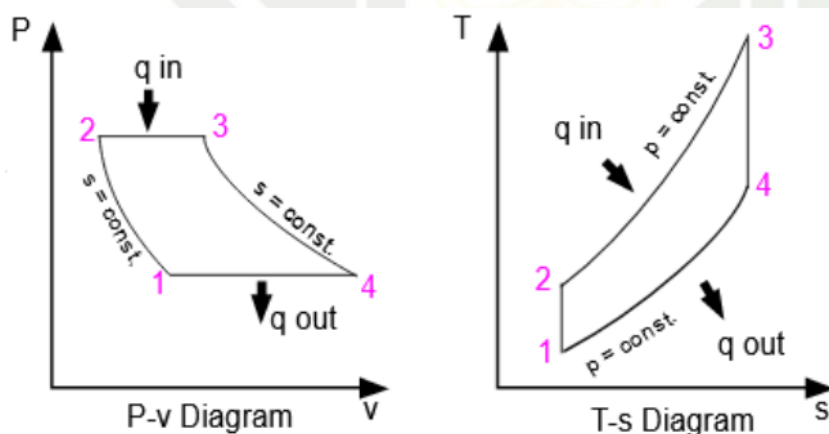
2. Prinsip dasar hukum kedua termodinamika

Hukum kedua termodinamika menyatakan bahwa entropi selalu meningkat dalam sistem terisolasi saat mencapai kesetimbangan termodinamika. Contoh penerapan hukum ini adalah dalam berbagai jenis proses *Thermal* seperti isokhorik, isotermik, isobarik, dan adiabatik.

Dalam proses isokhorik, volume sistem tetap, sedangkan dalam proses isotermik, suhu sistem tetap. Proses isobarik menjaga tekanan sistem tetap, sementara proses adiabatik tidak melibatkan pertukaran panas dengan lingkungan [18].

3. Siklus brayton

Siklus Brayton merupakan suatu konsep dasar dalam termodinamika untuk gas turbin yang pertama kali dikembangkan oleh George Brayton pada tahun 1870. Prinsip dasar siklus Brayton digunakan dalam operasi termodinamika turbin gas. Diagram P-V dan T-S dapat digunakan untuk mengilustrasikan sistem turbin gas yang mengikuti siklus Brayton [16].



Gambar 2. 8 Siklus brayton kurva Air Standard diagram P-V dan T-S [16].

Proses yang terjadi dalam siklus brayton adalah sebagai berikut:

1. Proses 1-2, Kompresi

Proses 1-2, Kompresi Isentropik di kompresor, di mana udara luar (atmosfer) dikompres secara adiabatik dalam sistem yang diisolasi secara sempurna terhadap panas. Kompresi ini terjadi tanpa pertukaran panas dengan lingkungan. Pada kondisi ideal, menyebabkan perubahan tekanan (P) dan temperatur (T) pada volume kontrol yang konstan. Tekanan udara

membesar dari kompresor $P_2 > P_1$, dan temperatur udara membesar $T_2 > T_1$. Namun, pada kondisi aktual volume udara mengecil $V_1 > V_2$ [27]. Kerja yang dilakukan oleh kompresor dapat dihitung dengan menggunakan serangkaian rumus sebagai berikut [16].

$$\frac{T_2}{T_1} = \left(\frac{P_2}{P_1}\right)^{\frac{k-1}{k}} \quad (2.1)$$

Keterangan:

T_2' : Temperatur udara luar (*Inlet Compressor*) (K)

T_2 : Temperatur udara *outlet compressor* (K)

T_3 : Temperatur udara ideal *outlet compressor* (K)

P_1 : Pressure udara luar (bar)

P_2 : Pressure udara outlet kompresor (bar)

γ : Konstanta *specific heat ratio* (1,4 untuk udara)

$$\eta_c = \frac{h'_2 - h_1}{h_2 - h_1} \times 100\% \quad (2.2)$$

Keterangan:

η_c : Efisiensi kompresor (%) h'_2 : Entalpi dari T_2' (kJ/kg)

h_1 : Entalpi dari T_1 (kJ/kg) h_2 : Entalpi dari T_2 (kJ/kg)

$$\dot{m}_a = \frac{\dot{Q}_{in} - (\dot{m}_F \times h_3)}{(h_3 - h_2)} \quad (2.3)$$

Keterangan:

\dot{m}_a : Laju aliran udara (kg/s) h_3 : Entalpi dari T_3 (kJ/kg)

Q_{in} : Nilai kalor yang masuk (kJ/s)

\dot{m}_F : Laju aliran bahan bakar (kg/s)

$$\dot{W}_C = \frac{\dot{m}_a \times (h'_2 - h_1)}{\eta_c} \quad (2.4)$$

Keterangan:

\dot{W}_C : Kerja Kompresor (kJ/s)

2. Proses 2-3, pembakaran di *combustion chamber*

Proses 2-3 pada ruang bakar melibatkan pembakaran dengan tekanan konstan (P). Dalam kondisi ideal, proses pembakaran hanya mengakibatkan perubahan suhu gas, di mana suhu

1. Dilarang mengutip sebagian atau seluruh karya tulis ini tanpa mencantumkan dan menyebutkan sumber:
 - a. Pengutipan hanya untuk kepentingan pendidikan, penelitian, penulisan karya ilmiah, penyusunan laporan, penulisan kritik atau tinjauan suatu masalah.
 - b. Pengutipan tidak merugikan kepentingan yang wajar UIN Suska Riau.
2. Dilarang mengumumkan dan memperbanyak sebagian atau seluruh karya tulis ini dalam bentuk apapun tanpa izin UIN Suska Riau.

gas setelah pembakaran $T_3 > T_2$. Peningkatan volume spesifik menyebabkan volume gas setelah pembakaran $V_3 > V_2$. Namun, pada kenyataannya, terjadi penurunan tekanan gas hasil pembakaran (P_3) di dalam ruang bakar akibat gesekan [27]. Kalor yang dihasilkan dari pembakaran dapat dihitung dengan mengikuti serangkaian rumus sebagai berikut [16].

$$\dot{Q}_{in} = LHV \times \dot{m}_F \quad (2.5)$$

Keterangan:

LHV : Low Heating Value (kJ/kg)

3. Proses 3-4, Ekspansi Isentropik di turbin gas

Proses 3-4, gas yang dihasilkan dari proses pembakaran mengalami ekspansi melalui nozzle. Bagian turbin bertanggung jawab mengubah energi kinetik dari gas panas hasil pembakaran di ruang bakar menjadi energi putar mekanis. Pada proses ekspansi, gesekan terjadi antara gas hasil pembakaran dan suku-suku turbin, sehingga menyebabkan temperatur gas buang yang keluar dari turbin lebih tinggi dibandingkan dengan proses ideal (isentropis).

Kuantitas kerja dan efisiensi pada turbin dapat dihitung dengan menggunakan serangkaian rumus berikut [16].

$$\frac{T_3}{T_4} = \left(\frac{P_3}{P_4} \right)^{\frac{k-1}{k}} \quad (2.6)$$

Keterangan:

- T3 Temperatur Combustor (K)
- T4 Temperatur Exhaust (K)
- T4' Temperatur ideal Exhaust (K)
- P3 Tekanan Combustor
- P4 Tekanan Exhaust

$$\eta_t = \frac{h_3 - h_4}{h_3 - h'_4} \times 100\% \quad (2.7)$$

Keterangan:

- η_t Efisiensi Turbin (%)
- h_4 Entalpi dari T4 (kJ/kg)
- h'_4 Entalpi dari T4' (kJ/kg)

Untuk kerja turbin dapat dicari dengan persamaan berikut:

$$\dot{W}_{\text{turbin}} = (\dot{m}_a + \dot{m}_F) \times (h_3 - h_4') \times \eta_t \quad (2.8)$$

Keterangan:

\dot{W}_t : Kerja turbin (kJ/kg)

Proses 4-1, Pembuangan

Proses 4-1 adalah tahap pembuangan gas pada tekanan konstan. Pada tahap ini, terjadi penerusan kalor dari gas ke lingkungan, menyebabkan temperatur gas buang menjadi setara dengan temperatur udara di sekitarnya. Secara berurutan, gas hasil pembakaran yang telah melewati serangkaian proses di turbin kemudian disalurkan ke saluran pembuangan (exhaust duct) untuk dibuang ke udara [27].

2.2.4 Daya Bersih PLTG

Daya bersih (\dot{W}_{net}) pada PLTG merupakan selisih antara daya yang dihasilkan turbin (\dot{W}_t) dengan daya yang dibutuhkan kompresor (\dot{W}_c) [22]:

$$\dot{W}_{\text{net}} = \dot{W}_t - \dot{W}_c \quad (2.9)$$

Keterangan:

\dot{W}_t = Kerja Turbin (kJ/s)

\dot{W}_c = Kerja Kompresor (kJ/s)

2.2.5 Efisiensi Thermal

Efisiensi *Thermal* merupakan parameter tanpa dimensi yang mencerminkan kinerja peralatan *Thermal*. Sesuai dengan hukum pertama termodinamika, output tidak dapat melebihi input karena adanya faktor-faktor seperti gesekan, kehilangan panas, dan lainnya, sehingga efisiensi *Thermal* selalu kurang dari 100%. Efisiensi *Thermal* pada Pembangkit Listrik Tenaga Gas (PLTG) dapat dihitung dengan menggunakan rumus seperti berikut [16].

$$\eta_{th} = \frac{\dot{W}_{\text{net}}}{\dot{Q}_{in}} \times 100\% \quad (2.10)$$

Keterangan:

η_{th} : Efisiensi *Thermal* (%)

1. Dilarang mengutip sebagian atau seluruh karya tulis ini tanpa mencantumkan dan menyebutkan sumber:
 a. Pengutipan hanya untuk kepentingan pendidikan, penelitian, penulisan karya ilmiah, penyusunan laporan, penulisan kritik atau tinjauan suatu masalah.
 b. Pengutipan tidak merugikan kepentingan yang wajar UIN Suska Riau.

2. Dilarang mengumumkan dan memperbarui sebagian atau seluruh karya tulis ini dalam bentuk apapun tanpa izin UIN Suska Riau.

2.2.6 *Engineering Equation Solver (EES)*

Perangkat lunak bernama *Engineering Equation Solver (EES)* adalah solusi komersial yang populer untuk menyelesaikan sistem persamaan non-linier secara simultan. Digunakan secara luas di industri teknik, terutama dalam konteks termodinamika, EES memungkinkan pengguna untuk menyelesaikan berbagai jenis persamaan, termasuk persamaan diferensial dan integral, serta melakukan optimasi dan analisis ketidakpastian. Keunggulan utamanya adalah database termodinamika yang akurat dan properti transportasi, serta kemampuan untuk menghasilkan plot berkualitas tinggi. Selain digunakan di dunia industri, EES juga terintegrasi dengan baik dalam lingkungan pendidikan dan sering digunakan dalam mata kuliah seperti termodinamika, transfer panas, dan mekanika fluida. Perangkat lunak ini dikembangkan oleh F-Chart Software dan kompatibel dengan sistem operasi Microsoft Windows [19].

1. Dilarang mengutip sebagian atau seluruh karya tulis ini tanpa mencantumkan dan menyebutkan sumber:

- Pengutipan hanya untuk kepentingan pendidikan, penelitian, penulisan karya ilmiah, penyusunan laporan, penulisan kritik atau tinjauan suatu masalah.
- Pengutipan tidak merugikan kepentingan yang wajar UIN Suska Riau.

1. Dilarang mengutip sebagian atau seluruh karya tulis ini tanpa mencantumkan dan menyebutkan sumber:
 - a. Pengutipan hanya untuk kepentingan pendidikan, penelitian, penulisan karya ilmiah, penyusunan laporan, penulisan kritik atau tinjauan suatu masalah.
 - b. Pengutipan tidak merugikan kepentingan yang wajar UIN Suska Riau.
2. Dilarang mengumumkan dan memperbanyak sebagian atau seluruh karya tulis ini dalam bentuk apapun tanpa izin UIN Suska Riau.

BAB III

METODOLOGI PENELITIAN

3.1 Jenis Penelitian

Penelitian ini menggunakan metode kuantitatif deskriptif. Pendekatan ini dipilih karena memungkinkan analisis mendalam terhadap data numerik yang berkaitan dengan kinerja PLTG PLN MCTN Duri. Metode ini didukung oleh sumber-sumber dari jurnal terkait, pengumpulan data pembangkitan, dan data pengoperasian PLTG. Fokus utama penelitian adalah pada analisis optimasi performa PLTG, khususnya Unit 1, dengan mempertimbangkan secara simultan pengaruh temperatur inlet kompresor dan laju aliran bahan bakar.

3.2 Sumber Data

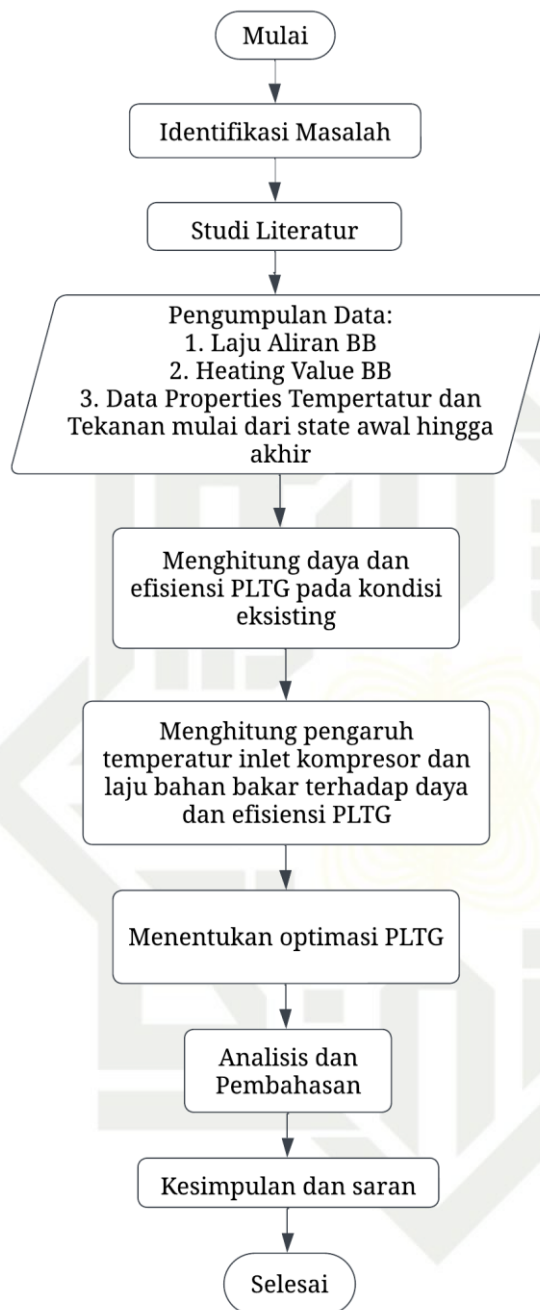
Dalam penelitian ini, menggunakan data sekunder yang diperoleh dari data operasional PLTG PT. PLN MCTN Duri diambil dalam periode 1 hari pada bulan Januari 2024 dengan pencatatan setiap 1 menit selama 24 jam, sehingga menghasilkan 1.440 data. Meskipun hanya menggunakan data dari satu hari, jumlah sampel yang diperoleh cukup besar untuk melakukan analisis yang representatif.

Pemilihan data ini didasarkan pada ketersediaan data selama kerja praktek, serta asumsi bahwa dalam kondisi operasi normal, pola operasi pembangkit listrik tenaga gas cenderung mengikuti tren yang relatif konsisten dalam jangka waktu pendek. Oleh karena itu, analisis pada data 1 hari dengan resolusi tinggi (per menit) dapat mencerminkan fluktuasi kinerja PLTG secara rinci, tanpa perlu data tambahan dari hari lain.

3.3 Alur Penelitian

Penelitian ini diawali dengan tahap identifikasi permasalahan untuk menentukan fokus kajian yang relevan dalam optimasi PLTG. Setelah permasalahan teridentifikasi dengan jelas, dilakukan studi literatur secara mendalam dengan mengkaji berbagai sumber seperti jurnal-jurnal ilmiah, e-book, serta berbagai sumber terpercaya lainnya yang berkaitan dengan optimasi PLTG. Berdasarkan pemahaman dari studi literatur tersebut, selanjutnya dilakukan observasi melalui pengambilan data operasional.

Adapun tahapan yang dilakukan dalam penelitian ini adalah:



Gambar 3. 1 Alur Penelitian

3.4 Identifikasi Masalah

Berdasarkan latar belakang yang telah diuraikan, permasalahan utama yang diidentifikasi pada Unit 1 PLTG PT. PLN MCTN Duri adalah terjadinya fluktuasi output daya yang signifikan, dimana pembangkit beroperasi di luar rentang kapasitas normalnya. Output daya Unit 1 terkadang mencapai 104 MW yang melebihi kapasitas, sementara di waktu lain turun hingga 95 MW di bawah kapasitas yang seharusnya. Fluktuasi output daya

Hak Cipta Dilindungi Undang-Undang

a. Pengutipan hanya untuk kepentingan pendidikan, penelitian, penulisan karya ilmiah, penyusunan laporan, penulisan kritik atau tinjauan suatu masalah.

b. Pengutipan tidak merugikan kepentingan yang wajar UIN Suska Riau.

2. Dilarang mengumumkan dan memperbanyak sebagian atau seluruh karya tulis ini dalam bentuk apapun tanpa izin UIN Suska Riau.

ini berdampak pada menurunnya keandalan sistem dan mempersulit manajemen beban dijaringan, serta menyebabkan stres berlebih pada komponen-komponen kritis yang mempercepat keausan peralatan [8]. Kondisi operasi yang tidak stabil ini juga mengakibatkan inefisiensi termal yang berujung pada pemborosan bahan bakar dan peningkatan biaya operasional pembangkit [9]. Dari analisis awal, teridentifikasi dua parameter kunci yang mempengaruhi fluktuasi output daya tersebut, yaitu temperatur inlet kompresor dan laju aliran bahan bakar, yang perlu dikaji lebih lanjut untuk mengoptimalkan kinerja Unit 1 PLTG PLN MCTN Duri.

3.5 Studi Literatur

Studi literatur dilakukan secara menyeluruh untuk membangun landasan teoritis yang kuat bagi penelitian. Sumber-sumber yang digunakan meliputi:

1. Data logsheet PLTG PLN MCTN Duri
2. Data spesifikasi komponen PLTG PLN MCTN Duri
3. E-book terkait termodinamika dan turbin gas
4. Jurnal-jurnal ilmiah yang membahas optimasi PLTG dan analisis kinerja turbin gas

Studi literatur ini tidak hanya berfokus pada aspek teknis PLTG, tetapi juga mencakup metodologi analisis terkini dalam optimasi pembangkit listrik.

3.6 Pengumpulan Data

Tahap pengumpulan data properti PLTG Unit 1 merupakan langkah awal dalam penelitian ini. Data dikumpulkan melalui metode dokumentasi, yaitu dengan mengakses dan mencatat data operasional historis yang terekam dalam sistem monitoring dan log sheet PLTG PT. PLN MCTN Duri. Data yang dikumpulkan meliputi parameter utama seperti temperatur dan tekanan pada setiap titik siklus Brayton, laju aliran bahan bakar, serta nilai kalor bahan bakar (LHV).

Data operasional tersebut diperoleh untuk dua kondisi eksisting yang berbeda, yang kemudian dikelompokkan dalam Tabel 3.1 dan Tabel 3.2. Seluruh data awal yang berasal dari sistem kontrol tercatat dalam satuan British (imperial), sehingga dilakukan proses konversi ke dalam Sistem Internasional (SI) untuk memudahkan perhitungan termodinamika dan menjaga konsistensi satuan dalam analisis. Tahapan ini menjadi dasar dalam proses validasi model dan simulasi optimasi yang dilakukan pada penelitian selanjutnya.

1. Dilarang mengutip sebagian atau seluruh karya tulis ini tanpa mencantumkan dan menyebutkan sumber:
a. Pengutipan hanya untuk kepentingan pendidikan, penelitian, penulisan karya ilmiah, penyusunan laporan, penulisan kritik atau tinjauan suatu masalah.
b. Pengutipan tidak merugikan kepentingan yang wajar UIN Suska Riau.
2. Dilarang mengumumkan dan memperbanyak sebagian atau seluruh karya tulis ini dalam bentuk apapun tanpa izin UIN Suska Riau.

Tabel 3. 1 Data properties kondisi eksisting 1 PLTG Unit 1

Parameter	Simbol	Nilai	Satuan
Temperatur inlet kompresor	T1	299,67	K
Temperatur outlet kompresor	T2	698,054	K
Temperatur inlet turbin	T3	1400	K
Temperatur outlet turbin	T4	822,291	K
Tekanan inlet kompresor	P1	1,007	Bar
Tekanan outlet kompresor	P2	14,57257	Bar
Tekanan inlet turbin	P3	13,11	Bar
Tekanan outlet turbin	P4	1,0273	Bar
Laju aliran bahan bakar	\dot{m}_F	7,164	Kg/s
Low Heating Value	LHV	45.333	kJ/kg

Tabel 3. 2 Data properties kondisi eksisting 2 PLTG Unit 1

Parameter	Simbol	Nilai	Satuan
Temperatur inlet kompresor	T1	305,368	K
Temperatur outlet kompresor	T2	704,89	K
Temperatur inlet turbin	T3	1396	K
Temperatur outlet turbin	T4	826,05	K
Tekanan inlet kompresor	P1	1,0038	Bar
Tekanan outlet kompresor	P2	14,14737	Bar
Tekanan inlet turbin	P3	12,73	Bar
Tekanan outlet turbin	P4	1,0206	Bar
Laju aliran bahan bakar	\dot{m}_F	6,9327	Kg/s
Low Heating Value	LHV	45.333	kJ/kg

3.7 Perhitungan Kondisi Eksiting PLTG Unit 1

Perhitungan kondisi eksisting Unit 1 PLTG PT. PLN MCTN Duri dilakukan untuk mengetahui kinerja aktual pembangkit sebelum dilakukan simulasi variasi parameter. Analisis dilakukan menggunakan *software Engineering Equation Solver* (EES) dengan pendekatan siklus Brayton berdasarkan data operasi aktual pada Tabel 3.1 dan Tabel 3.2. Untuk memverifikasi ketepatan hasil simulasi EES, dilakukan pula perhitungan teoritis

1. Dilarang mengutip sebagian atau seluruh karya tulis ini tanpa mencantumkan dan menyebutkan sumber:
 - a. Pengutipan hanya untuk kepentingan pendidikan, penelitian, penulisan karya ilmiah, penyusunan laporan, penulisan kritik atau tinjauan suatu masalah.
 - b. Pengutipan tidak merugikan kepentingan yang wajar UIN Suska Riau.
2. Dilarang mengumumkan dan memperbanyak sebagian atau seluruh karya tulis ini dalam bentuk apapun tanpa izin UIN Suska Riau.



secara manual menggunakan data properti operasi yang tersedia. Langkah-langkah perhitungan dilakukan sebagai berikut:

1. Menghitung nilai enthalpi temperatur dari proses awal hingga akhir menggunakan persamaan interpolasi.
2. Menghitung temperatur outlet kompresor ideal (T_2') menggunakan persamaan 2.1
3. Menghitung temperatur exhaust ideal (T_4') menggunakan persamaan 2.6
4. Menghitung nilai enthalpi temperatur teoritis proses 2 dan 4 menggunakan persamaan interpolasi
5. Menghitung efisiensi kompresor menggunakan persamaan 2.2
6. Menghitung efisiensi turbin menggunakan persamaan 2.7
7. Menghitung nilai kalor yang masuk menggunakan persamaan 2.5
8. Menghitung laju aliran udara menggunakan persamaan 2.3
9. Menghitung nilai kerja kompresor menggunakan persamaan 2.4
10. Menghitung nilai kerja turbin menggunakan persamaan 2.8
11. Menghitung Daya netto, Daya netto dihitung dengan mengurangkan kerja yang dibutuhkan kompresor dari kerja yang dihasilkan turbin dapat dihitung menggunakan persamaan 2.9.
12. Menghitung Efisiensi tahap akhir adalah menghitung efisiensi termal sistem dengan membandingkan daya netto yang dihasilkan dengan kalor yang ditambahkan ke sistem selama proses pembakaran yang dapat dihitung menggunakan persamaan 2.10. Hasil perhitungan ini dinyatakan dalam persentase untuk menunjukkan seberapa efektif sistem mengkonversi energi panas menjadi kerja mekanik.

Hak Cipta Dilindungi Undang-Undang

I. Dilarang mengutip sebagian atau seluruh karya tulis ini tanpa mencantumkan dan menyebutkan sumber:

- a. Pengutipan hanya untuk kepentingan pendidikan, penelitian, penulisan karya ilmiah, penyusunan laporan, penulisan kritik atau tinjauan suatu masalah.
- b. Pengutipan tidak merugikan kepentingan yang wajar UIN Suska Riau.

Penggunaan pemrograman *software* EES dapat diperhatikan pada dibawah ini:

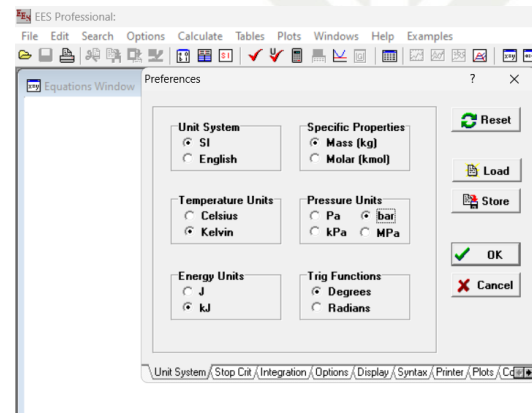
Hak Cipta Dilindungi Undang-Undang

- Dilarang mengutip sebagian atau seluruh karya tulis ini tanpa mencantumkan dan menyebutkan sumber.
- Pengutipan hanya untuk kepentingan pendidikan, penelitian, penulisan karya ilmiah, penyusunan laporan, penulisan kritik atau tinjauan suatu masalah.

© Hak cipta milik UIN Suska Riau

1. Menentukan *Unit system* proses termodinamika

Penentuan *unit system* merupakan tahap awal yang penting dalam pemrograman *software* EES. Untuk mengatur *unit system*, dapat dilakukan dengan mengakses menu option kemudian memilih tombol *unit system*. Setelah jendela preference *unit system* ditampilkan, pengaturan dapat disesuaikan berdasarkan kebutuhan yang diperlukan dalam perhitungan. Klik OK, jika pengaturan *unit system* telah selesai.

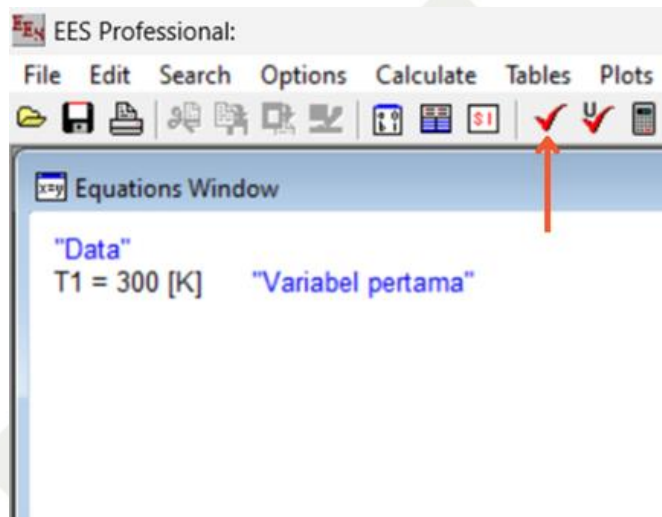


Gambar 3. 3 Tampilan Menentukan *Unit system*

- Dilarang mengumumkan dan memperbanyak sebagian atau seluruh karya tulis ini dalam bentuk apapun tanpa izin UIN Suska Riau.

2. Input data

Tahap selanjutnya dalam proses perhitungan adalah memasukkan data yang diperlukan. Data diinput melalui equation window dengan mencantumkan nilai dari setiap variabel yang ditandai dengan tanda petik ("") dan satuannya dinyatakan dalam tanda kurung siku ([]). Proses input data ini disesuaikan dengan kebutuhan perhitungan yang akan dilakukan, jika sudah klik icon check equation, untuk check variabel yang dimasukkan.



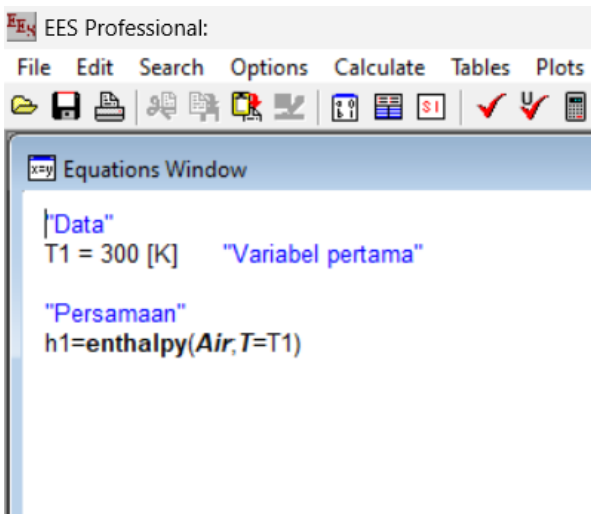
Gambar 3. 4 Tampilan input data

3. Menulis algoritma persamaan

Setelah input data selesai, langkah selanjutnya adalah menuliskan algoritma persamaan di *equation window*. Operasi matematika dasar seperti penjumlahan dan pengurangan menggunakan simbol (+) dan (-), sedangkan pembagian dan perkalian menggunakan simbol (/) dan (*). Penggunaan tanda kurung dapat diterapkan untuk menentukan urutan prioritas perhitungan. Untuk memastikan persamaan yang ditulis sudah benar, dapat dilakukan pengecekan dengan mengklik icon *check equation* yang akan menunjukkan ada tidaknya kesalahan dalam persamaan.

Hak Cipta Dilindungi Undang-Undang

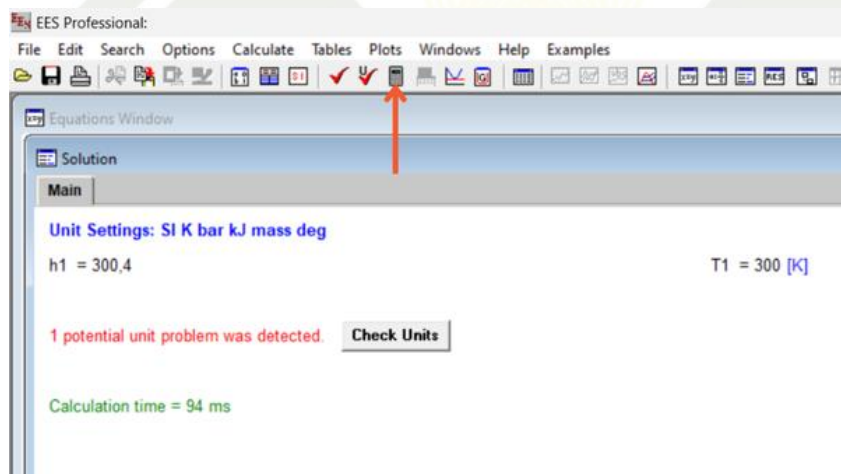
1. Dilarang mengutip sebagian atau seluruh karya tulis ini tanpa mencantumkan dan menyebutkan sumber:
 - a. Pengutipan hanya untuk kepentingan pendidikan, penelitian, penulisan karya ilmiah, penyusunan laporan, penulisan karya tulis ini dalam bentuk apapun tanpa izin UIN Suska Riau.
 - b. Pengutipan tidak merugikan kepentingan yang wajar UIN Suska Riau.
2. Dilarang mengumumkan dan memperbanyak sebagian atau seluruh karya tulis ini dalam bentuk apapun tanpa izin UIN Suska Riau.



Gambar 3. 5 Tampilan Menuliskan Persamaan

4. Hasil

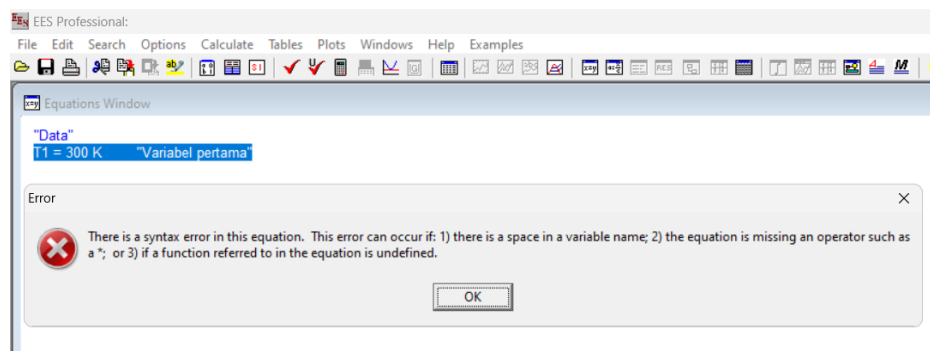
Setelah persamaan dan data dimasukkan ke dalam equation window, hasil perhitungan dapat diperoleh dengan mengklik icon *solve* yang akan menampilkan output dari pemrograman yang telah dilakukan.



Gambar 3. 6 Tampilan Hasil

5. Error

Kondisi error terjadi ketika ditemukan simbol atau data yang tidak dikenali dalam proses pemrograman. Pendekripsi error dapat dilakukan dengan mengklik icon *check equation* atau *icon solve*, dimana *icon solve* akan memberikan informasi mengenai jenis error yang terjadi beserta solusi untuk mengatasinya.



Gambar 3. 7 Tampilan Hasil Error

6. Validasi Software EES

Validasi EES merupakan tahapan untuk memverifikasi kelayakan *software* dalam melakukan perhitungan. *Software* EES dapat dinyatakan sangat baik apabila menghasilkan persentase error kurang dari 10% [37]. Proses validasi dilaksanakan dengan membandingkan hasil perhitungan teoritis secara manual yang menggunakan persamaan hukum pertama dan kedua termodinamika pada siklus Brayton dengan hasil perhitungan menggunakan *software Engineering Equation Solver* (EES). Perbandingan ini bertujuan untuk memastikan akurasi dan reliabilitas *software* EES dalam menganalisis sistem termodinamika yang diteliti.

3.8 Perhitungan Pengaruh Temperatur Inlet Kompresor dan Laju Aliran Bahan Bakar Terhadap Daya dan Efisiensi PLTG

Perhitungan pengaruh temperatur inlet kompresor dan laju aliran bahan bakar terhadap daya dan efisiensi PLTG dilakukan menggunakan *software Engineering Equation Solver* (EES) dengan menerapkan siklus Brayton. Proses perhitungan ini bertujuan untuk mendapatkan optimasi daya pada PLTG. Optimasi daya PLTG pada penelitian ini dilakukan dengan memvariasikan nilai temperatur inlet dan bahan bakar PLTG untuk mengevaluasi daya PLTG yang terbaik.

Proses pengambilan sampel variasi temperatur inlet kompresor dan laju aliran bahan bakar dilakukan berdasarkan data operasional PLTG yang telah tercatat. Penentuan variasi parameter dimulai dengan mengidentifikasi nilai terendah dan tertinggi dari data operasional historis yang tersedia. Untuk temperatur inlet kompresor, nilai terendah yang tercatat adalah 298,576 K dan nilai tertinggi adalah 306,55 K. Sedangkan untuk laju aliran bahan bakar, rentang operasional berkisar antara 6,83 kg/s hingga 7,32 kg/s. Setelah menentukan batas bawah dan atas dari kedua parameter tersebut, dilakukan penskalaan dengan memilih titik-

1. Dilarang mengutip sebagian atau seluruh karya tulis ini tanpa mencantumkan dan menyebutkan sumber:

- a. Pengutipan hanya untuk kepentingan pendidikan, penelitian, penulisan karya ilmiah, penyusunan laporan, penulisan kritik atau tinjauan suatu masalah.
- b. Pengutipan tidak merugikan kepentingan yang wajar UIN Suska Riau.

2. Dilarang mengumumkan dan memperbanyak sebagian atau seluruh karya tulis ini dalam bentuk apapun tanpa izin UIN Suska Riau.

titik data operasional yang tersebar merata dalam rentang tersebut untuk memperoleh lima titik variasi pada setiap parameter. Metode penskalaan ini menggunakan data aktual dari operasi PLTG, sehingga setiap variasi yang digunakan dalam analisis merupakan kondisi operasi yang pernah terjadi dan terukur secara riil di lapangan. Pendekatan ini memastikan bahwa analisis optimasi berdasarkan pada kondisi operasional yang realistik dan dapat diimplementasikan.

Proses perhitungan dimulai dengan memasukkan variasi data temperatur inlet dan laju aliran bahan bakar sesuai dengan Tabel 3.3, sementara parameter operasi lainnya dijaga tetap konstan mengikuti *baseline*. Tahapan perhitungan mengikuti proses yang sama dengan kondisi eksisting, meliputi kompresi isentropik, pembakaran isobarik, ekspansi isentropik, dan pembuangan isobarik menggunakan persamaan 2.1-2.10 [16]. Setiap variasi temperatur dan laju aliran bahan bakar akan menghasilkan nilai daya netto dan efisiensi termal yang berbeda. Hasil perhitungan kemudian dianalisis untuk mengetahui pengaruh perubahan parameter terhadap performa PLTG.

Tabel 3. 3 Data Variasi Temperatur Inlet Kompresor Dan Laju Aliran Bahan Bakar

No	Temperatur Inlet Kompresor	Laju Aliran Bahan Bakar (Kg/s)
1	298,576 K	6,83
		6,96
		7,09
		7,21
		7,32
2	301,3 K	6,83
		6,96
		7,09
		7,21
		7,32
3	303,148 K	6,83
		6,96
		7,09
		7,21
		7,32
4	304,94 K	6,83
		6,96
		7,09
		7,21
		7,32
5	306,55 K	6,83
		6,96

1. Dilarang mengutip sebagian atau seluruh karya tulis ini tanpa mencantumkan dan menyebutkan sumber:
- Pengutipan hanya untuk kepentingan pendidikan, penelitian, penulisan karya ilmiah, penyusunan laporan, penulisan kritik atau tinjauan suatu masalah.
 - Dilarang mengumumkan dan memperbanyak sebagian atau seluruh karya tulis ini dalam bentuk apapun tanpa izin UIN Suska Riau.

3.9 Menentukan Optimasi PLTG

Menentukan optimasi PLTG pada penelitian ini adalah dengan melihat daya dan efisiensi yang dihasilkan dari variasi temperatur inlet kompresor [20] [21] dan laju aliran bahan bakar yang digunakan [15]. Menentukan optimasi dilakukan untuk mengevaluasi setiap kombinasi parameter agar mendapatkan kondisi operasi yang terbaik [16]. Optimasi dapat dikatakan baik apabila pembangkit mampu menghasilkan daya output yang sesuai atau mendekati kapasitas desain Unit 1. Selain itu, efisiensi termal yang dihasilkan harus lebih tinggi dibandingkan kondisi eksisting yang menunjukkan peningkatan performa pembangkit.

3.10 Analisis dan Pembahasan

1. Analisis Kondisi Eksisting Unit 1 PLTG

Analisis kondisi eksisting dilakukan dengan mengolah data operasional periode Januari 2024 menggunakan *software* EES untuk menghitung daya output dan efisiensi termal. Hasil perhitungan yang diperoleh dianalisis untuk mengetahui kondisi aktual kinerja pembangkit pada saat beroperasi. Analisis ini akan memberikan *baseline* yang akurat untuk tahapan optimasi selanjutnya

2. Analisis Pengaruh Temperatur Inlet Kompressor dan Laju Aliran Bahan Bakar

Analisis pengaruh kedua parameter dilakukan dengan metode komparatif, membandingkan hasil perhitungan daya dan efisiensi pada rentang variasi parameter yang digunakan didasarkan langsung pada data operasional aktual pembangkit, mencakup kondisi dari titik terendah hingga titik tertinggi yang terekam selama periode pengamatan. Variasi temperatur inlet (298,576 K - 306,55 K) dan laju aliran bahan bakar (6,83 - 7,32 kg/s). Data hasil perhitungan dianalisis menggunakan pendekatan grafis dan analisis korelasi, penelitian ini bertujuan untuk memvisualisasikan hubungan antara perubahan parameter dengan performa PLTG, mengukur sensitivitas parameter operasional, dan memberikan wawasan mendalam tentang bagaimana perubahan dalam temperatur inlet dan laju aliran bahan bakar dapat memengaruhi output daya dan efisiensi termal.

7,09
7,21
7,32

1. Dilarang mengutip sebagian atau seluruh karya tulis ini tanpa mencantumkan dan menyebutkan sumber:
 - a. Pengutipan hanya untuk kepentingan pendidikan, penelitian, penulisan karya ilmiah, penyusunan laporan, penulisan kritik atau tinjauan suatu masalah.
 - b. Pengutipan tidak merugikan kepentingan yang wajar UIN Suska Riau.
2. Dilarang mengumumkan dan memperbanyak sebagian atau seluruh karya tulis ini dalam bentuk apapun tanpa izin UIN Suska Riau.

3. Analisis Penentuan Optimasi Unit 1 PLTG

Penentuan kombinasi optimal dilakukan dengan menganalisis seluruh hasil perhitungan variasi parameter untuk mengidentifikasi kondisi yang menghasilkan daya output mendekati kapasitas desain 100 MW dengan efisiensi termal tertinggi. Kriteria optimasi ditetapkan dengan mempertimbangkan dua tujuan utama: mencapai daya output sedekat mungkin dengan kapasitas desain dan memaksimalkan efisiensi termal pembangkit. Analisis *trade-off* dilakukan untuk menyeimbangkan antara pencapaian daya target dan efisiensi operasional, mengingat peningkatan daya output berpotensi menurunkan efisiensi termal, atau sebaliknya. Dengan membandingkan hasil optimasi terhadap kondisi eksisting, penelitian ini bertujuan mengungkap potensi peningkatan performa pembangkit, memberikan wawasan komprehensif tentang margin perbaikan dari segi efisiensi maupun kapasitas pembangkitan.

Hak Cipta Dilindungi Undang-Undang

1. Dilarang mengutip sebagian atau seluruh karya tulis ini tanpa mencantumkan dan menyebutkan sumber:

- a. Pengutipan hanya untuk kepentingan pendidikan, penelitian, penulisan karya ilmiah, penyusunan laporan, penulisan kritik atau tinjauan suatu masalah.
- b. Pengutipan tidak merugikan kepentingan yang wajar UIN Suska Riau.

2. Dilarang mengumumkan dan memperbanyak sebagian atau seluruh karya tulis ini dalam bentuk apapun tanpa izin UIN Suska Riau.

BAB V

PENUTUP

5.1 Kesimpulan

Berdasarkan hasil penelitian dan analisis yang telah dilakukan terkait pengaruh temperatur inlet kompresor dan laju aliran bahan bakar terhadap optimasi daya PLTG Unit 1 PT. PLN MCTN Duri, dapat disimpulkan sebagai berikut:

1. Kinerja eksisting Unit 1 PLTG PT. PLN MCTN Duri menunjukkan adanya fluktuasi daya output yang signifikan, yaitu 105,27 MW pada kondisi eksisting 1 dengan efisiensi 32,41% dan 99,25 MW pada eksisting 2 dengan efisiensi 31,58%. Nilai-nilai ini digunakan sebagai baseline dalam proses optimasi, sekaligus menunjukkan bahwa daya output aktual belum sepenuhnya stabil dan efisiensi sistem masih memiliki ruang perbaikan.
2. Temperatur Hasil simulasi menggunakan software Engineering Equation Solver (EES) dengan variasi temperatur inlet kompresor (298,576 K – 306,55 K) dan laju aliran bahan bakar (6,83 – 7,32 kg/s) menunjukkan bahwa kedua parameter tersebut berpengaruh signifikan terhadap daya dan efisiensi termal. Pada variasi eksisting 1, daya output berkisar antara 99,95 MW hingga 110,3 MW dengan efisiensi termal 32,28% hingga 33,24%, sedangkan pada eksisting 2, daya berkisar 97,15 MW hingga 104,7 MW dengan efisiensi 31,1% hingga 31,73%. Peningkatan temperatur inlet yang diimbangi dengan pengaturan laju aliran bahan bakar secara tepat menghasilkan rasio pembakaran yang lebih efisien, sehingga efisiensi dapat meningkat tanpa mengorbankan daya.
3. Simulasi optimasi menghasilkan kombinasi terbaik pada kondisi eksisting 1 yaitu temperatur 301,3 K dan laju aliran bahan bakar 6,83 kg/s dengan daya 101 MW dan efisiensi 32,61%. Sementara itu, pada eksisting 2, hasil optimal dicapai pada temperatur 306,55 K dan laju bahan bakar 6,96 kg/s dengan daya 100,1 MW dan efisiensi 31,73%. Optimasi berhasil mengarahkan operasi PLTG Unit 1 mendekati kapasitas desain dengan efisiensi yang lebih baik, serta menunjukkan bahwa pengaturan parameter operasi secara simultan mampu mengurangi fluktuasi daya dan meningkatkan kinerja pembangkit secara keseluruhan.

- Hak Cipta Dilindungi Undang-Undang
1. Dilarang mengutip sebagian atau seluruh karya tulis ini tanpa mencantumkan dan menyebutkan sumber:
 - a. Pengutipan hanya untuk kepentingan pendidikan, penelitian, penulisan karya ilmiah, penyusunan laporan, penulisan kritik atau tinjauan suatu masalah.
 - b. Pengutipan tidak merugikan kepentingan yang wajar UIN Suska Riau.
 2. Dilarang mengumumkan dan memperbanyak sebagian atau seluruh karya tulis ini dalam bentuk apapun tanpa izin UIN Suska Riau.

5.2 Saran

Penelitian ini masih memiliki keterbatasan dalam ruang lingkup parameter yang dianalisis, yaitu hanya berfokus pada temperatur inlet kompresor dan laju aliran bahan bakar. Meskipun kedua parameter tersebut terbukti berpengaruh signifikan terhadap daya dan efisiensi termal, faktor-faktor operasional lain seperti rasio tekanan kompresor, kelembaban udara ambien, dan variasi kualitas bahan bakar belum dimasukkan ke dalam model analisis. Selain itu, penelitian ini juga belum mencakup perhitungan produksi energi tahunan (*annual energy production*) serta faktor kapasitas pembangkit, yang merupakan indikator penting dalam mengevaluasi performa dan utilisasi pembangkit dalam jangka panjang.

Oleh karena itu, penelitian selanjutnya disarankan untuk mengadopsi pendekatan multi-variabel yang lebih komprehensif, dengan menganalisis berbagai parameter secara simultan untuk mendapatkan hasil optimasi yang lebih representatif. Rentang waktu pengambilan data operasional juga perlu diperluas, minimal mencakup periode beberapa bulan hingga satu tahun penuh, guna mengakomodasi pengaruh faktor musiman dan dinamika beban jangka panjang terhadap performa pembangkit.

Selain aspek teknis, integrasi analisis dari sisi ekonomi dan lingkungan juga perlu dilakukan. Hal ini mencakup evaluasi penghematan bahan bakar, potensi pengurangan emisi gas buang, serta analisis biaya-manfaat dari implementasi parameter operasi yang optimal. Dengan demikian, penelitian mendatang diharapkan dapat menghasilkan model optimasi PLTG yang tidak hanya efisien secara teknis, tetapi juga ekonomis dan berkelanjutan secara lingkungan.

DAFTAR PUSTAKA

© Hak Cipta Dilindungi Undang-Undang [2]
[3] 1. Dilarang mengutip sebagian atau seluruh karya tulis ini tanpa mencantumkan dan menyebutkan sumber:
a. Pengutipan hanya untuk kepentingan pendidikan, penelitian, penulisan karya ilmiah, penyusunan laporan, penulisan kritik atau tinjauan suatu masalah.
b. Pengutipan tidak merugikan kepentingan yang wajar UIN Suska Riau.

[4] 2. Dilarang mengumumkan dan memperbanyak sebagian atau seluruh karya tulis ini dalam bentuk apapun tanpa izin UIN Suska Riau.

[5]

[6]

[7]

[8]

[9]

[10]

[11]

- N. Gusnita and K. Saputra Said, "Analisa Efisiensi dan Pemanfaatan Gas Buang Turbin Gas Alsthom Pada Pembangkit Listrik Tenaga Gas Kapasitas 20 Mw," *Jurnal Sains, Teknologi dan Industri*, vol. 14, no. 2, pp. 209–218, 2017.
- Kementerian ESDM Ditjen Ketenagalistrikan, "Statistik Ketenagalistrikan Tahun 2022," *Edisi No.36*, Jakarta, 2023.
- N. I. Rivai and A. Martin, "Analisis Energi Pada Unit 2 Pemabngkit Listrik Tenaga Gas (PLTG) Teluk Lembu Kapasitas 21.6 MW," *Jom FTEKNIK*, vol. 6, no. 2, 2019.
- A. Martin, D. Nur, and I. Rivai, "Analisis Exergy Pada Unit 2 Pembangkit Listrik Tenaga Gas (PLTG) Teluk Lembu Kapasitas 21.6 MW," *Jurnal Sains dan Teknologi*, vol. 18, no. 1, 2019.
- N. Gusnita and B. Prima, "Analisa Teknis dan Ekonomis Perbandingan Penggunaan Bahan Bakar PLTMG Terhadap PLTG di Pusat Listrik Balai Pungut – Duri," *Jurnal Sains, Teknologi dan Industri*, vol. 15, no. 1, pp. 15–27, 2017.
- PLN MCTN, "Profile PLN Mandau Cipta Tenaga Nusantara," PLN MCTN. Accessed: Sep. 24, 2024. [Online]. Available: <https://mctn.co.id/tentang-kami/>
- I. Refaldi, Y. Basir, D. Utari, and Y. Wardhani, "Analisis Fluktuasi Beban Terhadap Efisiensi Generator Sinkron di PT. Pembangkit Listrik Palembang Jaya," *Jurnal Ampere*, vol. 6, no. 2, 2021.
- Ramadhan, E. Zondra, and M. Putra Halilintar, "Analisis Eksitasi Generator Unit 3 Pembangkit Listrik Tenaga Gas (PLTG) Teluk Lembu PT. PLN (Persero) Sektor Pembangkitan Pekanbaru," *Jurnal Sain, Energi, Teknologi & Industri*, vol. 6, no. 1, pp. 32–38, 2021.
- Yolnasdi, L. Anggit Waskito, and D. Setiawan, "Analisa Stabilitas Sistem Kelistrikan Sumatera dengan Beroperasinya PLTGU Riau 275 MW menggunakan Simulasi Digsilent," *Jurnal Sain, Energi, Teknologi & Industri*, vol. 6, no. 1, pp. 39–45, 2021.
- I. Refaldi, Y. Basir, D. Utari, and Y. Wardhani, "Analisis Fluktuasi Beban Terhadap Efisiensi Generator Sinkron di PT. Pembangkit Listrik Palembang Jaya," *Jurnal Ampere*, vol. 6, no. 2, 2021.
- R. Mustofa *et al.*, "Analisis Pengaruh Fluktuasi Beban Terhadap Rugi Daya Stator dan Rotor Pada Generator Sinkron Pembangkit Listrik Tenaga Panas Bumi," *Journal of Mechanical Engineering and Applied Technology*, vol. 2, no. 2, pp. 65–70, 2023.

- [12] [13] I. Ridzki, "Analisis Pengaruh Perubahan Eksistasi Terhadap Daya Reaktif Generator," *Jurnal ELTEK*, vol. 11, no. 2, pp. 31–41, 2013.
- [14] M. Hizbulah and A. Subagio, "Kajian Sistem Pendinginan Udara Masuk Turbin Gas Untuk Menaikan Daya Keluaran Turbin Gas PLTG Gilimanuk Yang Beroperasi Pada Waktu Beban Puncak," *Proceeding Seminar Nasional Tahunan Teknik Mesin XIII (SNTTM XIII)*, pp. 15–16, 2014.
- [15] A. Tanjung, H. Yuvendius, and U. Lancang Kuning Pekanbaru, "Analisis Generator Sinkron Unit 2 Akibat Overheating di Pembangkit Listrik Tenaga Gas MPP Balai Pungut," *Jurnal Sain, Energi, Teknologi & Industri*, vol. 7, no. 2, pp. 64–73, 2023.
- [16] S. Hani, P. E. Tambudi, M. Suyanto, and A. K. Alif Putra, "Metode Pendekatan Analisis Regresi Untuk Efisiensi Energi Pembangkit Listrik Tenaga Gas (PLTG)," *Prosiding Seminar Nasional Aplikasi Sains & Teknologi (SNAST)*, pp. 26–34, 2021.
- [17] A. Syahidin, S. Setiawidayat, and S. Ali Putra, "Analisis Efisiensi Thermal Untuk Menentukan Beban Optimal Pada Pembangkit Listrik Tenaga Gas Menggunakan Metode Siklus Brayton," *JASEE Journal of Application and Science on Electrical Engineering*, vol. 1, no. 02, pp. 1–15, Feb. 2021, doi: 10.31328/jasee.v1i02.24.
- [18] Kamal N, "Hukum Termodinamika: Pengertian, Proses, Rumus, Formulasi, dan Penerapannya," Gramedia Blog.
- [19] Eli Trisnowati, Desika Rosiana Putri, Sabilla Safa Annisa Qurrota, Filda Khoirun Nikmah, and Danysa Mulyaningrum, "Analisis Konsep Termodinamika pada Produksi Kerupuk Sebagai Bentuk Kearifan Lokal di Magelang Jawa Tengah," *JURNAL PENDIDIKAN MIPA*, vol. 13, no. 1, pp. 268–273, Mar. 2023.
- [20] E-Chart Software, "EES," F-Chart Software.
- [21] Burhanuddin, M. Haddin, and A. Adhi Nugroho, "Jurnal Teknik Elektro Pengaruh Perubahan Temperatur Terhadap Daya Output Generator PLTG 1.1 Blok I Tambak Lorok Semarang," *CYCLOTRON: Jurnal Teknik Elektro*, vol. 5, no. 1, pp. 29–34, 2022.
- [22] P. Firmansyah, P. M. Adhi, and S. A. Cecep, "Simulasi Parametrik Pengaruh Temperatur Lingkungan pada Pembangkit Listrik Tenaga Gas," *Jurnal Mekanik Terapan*, vol. 2, no. 2, pp. 74–81, Nov. 2021.
- [23] A. Tanjung, H. Sinurat, H. Eteruddin, and P. Studi Teknik Elektro, "Analisis Pengaruh Udara Ambien Terhadap Beban Turbin Generator PLTG Teluk Lembu," *Jurnal ELEMENTER*, vol. 8, no. 2, 2022.

- [12] [13] [14] [15] [16] [17] [18] [19] [20] [21] [22] [23]
1. Dilarang mengutip sebagian atau seluruh karya tulis ini tanpa mencantumkan dan menyebutkan sumber:
- Pengutipan hanya untuk kepentingan pendidikan, penelitian, penulisan karya ilmiah, penyusunan laporan, penulisan laporan, penulisan kritik atau tinjauan suatu masalah.
 - Dilarang mengumumkan dan memperbanyak sebagian atau seluruh karya tulis ini dalam bentuk apapun tanpa izin UIN Suska Riau.

- [23] H. Dwipayana and M. A. A. Baraf, "Analisis Perbandingan Performansi Pembangkit Listrik Tenaga Gas TM 2500 Jakabaring Unit 2 dan Unit 3 Pada Waktu Beban Puncak," *Jurnal Teknik*, vol. 6, no. 2, 2020.
- [24] R. Ikhrahmadani, "Analisis Perbandingan Performa Turbin Gas pada Variasi Beban yang Berbeda di PLTGU Blok GT 1.3 PT. PJB UP Gresik," Jurusan Teknik Mesin, Institut Teknologi Sepuluh Nopember, Surabaya, 2016.
- [25] J. DiCampli and J. Pan, "Gas Turbine Air Filter System Optimization," Power Engineering.
- [26] S. Jolly, "Inlet Air Cooling Systems Improve Gas Turbine Performance," Power.
- [27] H. M. K. Silaban and A. Ghofur, "Analisa Performa Turbin Gas Tipe CW251 B11 Pada System Pembangkitan Listrik Tenaga Gas Sektor Pembangkitan Bali," *Jurnal Tugas Akhir Mahasiswa*, vol. 2, 2020.
- [28] JSME Fluids Engineering Division, "Design and Development of A Multistage Axial-Flow Compressor for Industrial Gas Turbine," *JSME Fluids Engineering Division*, 2013.
- [29] R. Singh, "Assembly, Overhaul and Testing of Aero Engines," in *LAP LAMBERT Academic Publishing*, 2015.
- [30] Baskaran, "Nozzle guide vanes, Contra-rotating turbine, Compressor-Turbine Matching," Aeromodelbasic.
- [31] "Aircraft Engine Exhaust Systems with Turbocharger," Aeronautics Guide. Accessed: Nov. 15, 2024. [Online]. Available: <https://www.aircraftsystemstech.com/p/exhaust-system-with-turbocharger.html>
- [32] Azhar kareem Mohammed, "Inlet temperature effect on Electric Power Production from gas turbine power plants in Kurdistan-Iraq," *Zanco J Pure Appl Sci*, vol. 29, no. 5, Dec. 2017.
- [33] D. M. Kamal and N. Firbarini, "Pengaruh Temperatur Inlet Kompresor Terhadap Kinerja Peralatan Pembangkit Listrik Tenaga Gas (PLTG)," *Seminar Nasional – XX Rekayasa dan Aplikasi Teknik Mesin di Industri*, 2021.
- [34] V. Nabilah, R. S. Marpaung, and R. Nainggolan, "Analisis Pengaruh Pemeliharaan Komponen PLTG Terhadap Unjuk Kerja Turbin Gas PT PLN UPDK Belawan," *Konferensi Nasional Sosial dan Engineering*, pp. 1047–1055, 2022.
- [35] M. N. Pangestu, "Analisis Sistem Pendinginan Absorpsi pada Intake Udara PLTGU," *Jurnal Teknik ITS*, vol. 10, no. 2, 2021.



[36]

Hak Cipta Dilindungi Undang-Undang
[37]

1. Dilarang mengutip sebagian atau seluruh karya tulis ini tanpa mencantumkan dan menyebutkan sumber:

- a. Pengutipan hanya untuk kepentingan pendidikan, penelitian, penulisan karya ilmiah, penyusunan laporan, penulisan kritik atau tinjauan suatu masalah.
- b. Pengutipan tidak merugikan kepentingan yang wajar UIN Suska Riau.

2.

Dilarang mengumumkan dan memperbanyak sebagian atau seluruh karya tulis ini dalam bentuk apapun tanpa izin UIN Suska Riau.

N. Evalina, M. K. Riza, A. A, and Rimbawaty, "Pemanfaatan Bahan Bakar Sampah Plastik Dengan Menggunakan Pembangkit Listrik Hot Air Stirling Engine," *SEMNASTEK*, pp. 71–75, 2019.

R. Maulid, "Kriteria Jenis Teknik Analisis Data dalam Forecasting," DQLab.

I. P. P. P. Kusmanto and Y. A. Winoko, "Pengaruh Suhu Bahan Bakar Terhadap Daya Dan Konsumsi Bahan Bakar Motor Bensin 1781 cc," *Jurnal Flywheel*, vol. 10, no. 1, pp. 33–43, 2019.



**Hak Cipta Dilir****1. Dilarang mengutip sebagian atau seluruh karya tulis ini tanpa mencantumkan dan menyebutkan sumber:**

- Pengutipan hanya untuk kepentingan pendidikan, penelitian, penyusunan laporan, penulisan kritik atau tinjauan suatu masalah.
- Dilarang mengumumkan dan memperbaronyang sebagian atau seluruh karya tulis ini dalam bentuk apapun tanpa izin UIN Suska Riau.

© Hak Cipta**LAMPIRAN A****DATA HISTORIS**

1. Data Historis Parameter Operasi Harian PLTG Unit 1 di PT. PLN MCTN Duri

A	B	C	D	E	F	G	H	I	J	K	L	M	N	O	P	Q	R	S	T	U	V		
15/01/2024 07:00	16/01/2024 07:00	Average	82,439561	403,30886	81,393786	209,53672	799,87924	403,4761	211,37895	21,195631	20,339006	118,777818	85,232976	103,44545	92,319343	102,6482	411,9885	369,3714	100,6231	889,77942	1893,1128	1942,0866	1943,4755
REFERENCE TIME	TIME	TYPE	UNIT	NAME	UNIT	NAME	COMBUSTOR	COMBUSTOR	Stage G Gas	Stage G Gas	Packed Flow	Stage G Gas	STATE	TURBINE	GENERATOR	14	3	10					
1	1	1	1	1	1	1	1	1	1	1	1	1	1	1	1	1	1	1	1	1	1	1	1
2	3	4	5	6	7	8	9	10	11	12	13	14	15	16	17	18	19	20	21	22	23	24	25
3	4	5	6	7	8	9	10	11	12	13	14	15	16	17	18	19	20	21	22	23	24	25	26
4	5	6	7	8	9	10	11	12	13	14	15	16	17	18	19	20	21	22	23	24	25	26	27
5	6	7	8	9	10	11	12	13	14	15	16	17	18	19	20	21	22	23	24	25	26	27	28
6	7	8	9	10	11	12	13	14	15	16	17	18	19	20	21	22	23	24	25	26	27	28	29
7	8	9	10	11	12	13	14	15	16	17	18	19	20	21	22	23	24	25	26	27	28	29	30
8	9	10	11	12	13	14	15	16	17	18	19	20	21	22	23	24	25	26	27	28	29	30	31
9	10	11	12	13	14	15	16	17	18	19	20	21	22	23	24	25	26	27	28	29	30	31	32
10	11	12	13	14	15	16	17	18	19	20	21	22	23	24	25	26	27	28	29	30	31	32	33
11	12	13	14	15	16	17	18	19	20	21	22	23	24	25	26	27	28	29	30	31	32	33	34
12	13	14	15	16	17	18	19	20	21	22	23	24	25	26	27	28	29	30	31	32	33	34	35
13	14	15	16	17	18	19	20	21	22	23	24	25	26	27	28	29	30	31	32	33	34	35	36
14	15	16	17	18	19	20	21	22	23	24	25	26	27	28	29	30	31	32	33	34	35	36	37
15	16	17	18	19	20	21	22	23	24	25	26	27	28	29	30	31	32	33	34	35	36	37	38
16	17	18	19	20	21	22	23	24	25	26	27	28	29	30	31	32	33	34	35	36	37	38	39
17	18	19	20	21	22	23	24	25	26	27	28	29	30	31	32	33	34	35	36	37	38	39	40
18	19	20	21	22	23	24	25	26	27	28	29	30	31	32	33	34	35	36	37	38	39	40	41
19	20	21	22	23	24	25	26	27	28	29	30	31	32	33	34	35	36	37	38	39	40	41	42
20	21	22	23	24	25	26	27	28	29	30	31	32	33	34	35	36	37	38	39	40	41	42	43
21	22	23	24	25	26	27	28	29	30	31	32	33	34	35	36	37	38	39	40	41	42	43	44
22	23	24	25	26	27	28	29	30	31	32	33	34	35	36	37	38	39	40	41	42	43	44	45
23	24	25	26	27	28	29	30	31	32	33	34	35	36	37	38	39	40	41	42	43	44	45	46
24	25	26	27	28	29	30	31	32	33	34	35	36	37	38	39	40	41	42	43	44	45	46	47
25	26	27	28	29	30	31	32	33	34	35	36	37	38	39	40	41	42	43	44	45	46	47	48
26	27	28	29	30	31	32	33	34	35	36	37	38	39	40	41	42	43	44	45	46	47	48	49
27	28	29	30	31	32	33	34	35	36	37	38	39	40	41	42	43	44	45	46	47	48	49	50
28	29	30	31	32	33	34	35	36	37	38	39	40	41	42	43	44	45	46	47	48	49	50	51
29	30	31	32	33	34	35	36	37	38	39	40	41	42	43	44	45	46	47	48	49	50	51	52
30	31	32	33	34	35	36	37	38	39	40	41	42	43	44	45	46	47	48	49	50	51	52	53
31	32	33	34	35	36	37	38	39	40	41	42	43	44	45	46	47	48	49	50	51	52	53	54
32	33	34	35	36	37	38	39	40	41	42	43	44	45	46	47	48	49	50	51	52	53	54	55
33	34	35	36	37	38	39	40	41	42	43	44	45	46	47	48	49	50	51	52	53	54	55	56
34	35	36	37	38	39	40	41	42	43	44	45	46	47	48	49	50	51	52	53	54	55	56	57
35	36	37	38	39	40	41	42	43	44	45	46	47	48	49	50	51	52	53	54	55	56	57	58
36	37	38	39	40	41	42	43	44	45	46	47	48	49	50	51	52	53	54	55	56	57	58	59
37	38	39	40	41	42	43	44	45	46	47	48	49	50	51	52	53	54	55	56	57	58	59	60
38	39	40	41	42	43	44	45	46	47	48	49	50	51	52	53	54	55	56	57	58	59	60	61
39	40	41	42	43	44	45	46	47	48	49	50	51	52	53	54	55	56	57	58	59	60	61	62
40	41	42	43	44	45	46	47	48	49	50	51	52	53	54	55	56	57	58	59	60	61	62	63
41	42	43	44	45	46	47	48	49	50	51	52	53	54	55	56	57	58	59	60	61	62	63	64
42	43	44	45	46	47	48	49	50	51	52	53	54	55	56	57	58	59	60	61	62	63	64	65
43	44	45	46	47	48	49	50	51	52	53	54	55	56	57	58	59	60	61	62	63	64	65	66
44	45	46	47	48	49	50	51	52	53	54	55	56	57	58	59	60	61	62	63	64	65	66	67
45	46	47	48	49	50	51	52	53	54	55	56	57	58	59	60	61	62	63	64	65	66	67	68
46	47	48	49	50	51	52	53	54	55	56	57	58	59	60	61	62	63	64	65	66	67	68	69
47	48	49	50	51	52	53	54	55	56	57	58	59	60	61	62	63	64	65	66	67	68	69	70
48	49	50	51	52	53	54	55	56	57	58	59	60	61	62	63	64	65	66	67	68	69	70	71
49	50	51	52	53	54	55	56	57	58	59	60	61	62	63	64	65	66	67	68	69	70	71	72
50	51	52	53	54	55	56	57	58	59	60	61	62	63	64	65	66	67	68	69	70	71	72	73
51	52	53	54	55	56	57	58	59	60	61	62	63	64	65	66	67	68	69	70	71	72	73	74
52	53	54	55	56	57	58	59	60	61	62	63	64	65	66	67	68	69	70	71	72	73	74	75
53	54	55	56	57	58	59	60	61	62	63	64	65	66	67	68	69	70	71	72	73	74	75	76
54	55	56	57	58	59	60	61	62	63	64	65	66	67	68	69	70	71	72	73	74	75	76	77
55	56	57	58	59	60	61	62	63	64	65	66	67	68	69	70	71	72	73	74	75	76	77	78
56	57	58	59	60	61	62	63	64	65	66	67	68	69	70	71	72	73	74	75	76	77	78	79
57	58	59	60	61	62	63	64	65	66	67	68	69	70										

LAMPIRAN B

HASIL PERHITUNGAN TEORITIS DAN EES EKSISTING 2

Hasil Perhitungan dalam teoritis pada kondisi ekstising ke-2 sesuai data tabel 3.2:

Perhitungan Entalpi Temperatur Setiap Proses Pada Siklus Bryton

$$h_1 = h_1 + \left(\frac{T - T_1}{T_2 - T_1} \right) (h_2 - h_1)$$

$$h_1 = 305,22 \text{ kJ/kg} + \left(\frac{305,368 \text{ K} - 305 \text{ K}}{310 \text{ K} - 305 \text{ K}} \right) (310,24 \text{ kJ/kg} - 305,22 \text{ kJ/kg})$$

$$h_1 = 305,589 \text{ kJ/kg}$$

Tabel hasil entalpi setiap proses

Eksisting	h_1 (kJ/kg)	h_2 (kJ/kg)	h_3 (kJ/kg)	h_4 (kJ/kg)
1	305,589	718,54	1510,6	850,66

2. Menghitung T_2' :

$$T_2' = T_1 \times \left(\frac{P_2}{P_1} \right)^{\frac{k-1}{k}}$$

$$T_2' = 305,368 \text{ K} \times \left(\frac{14,14737 \text{ bar}}{1,0038 \text{ bar}} \right)^{\frac{1,4-1}{1,4}}$$

$$T_2' = 650,8 \text{ K}$$

3. Menghitung T_4' :

$$T_4' = T_3 \times \left(\frac{P_4}{P_3} \right)^{\frac{k-1}{k}}$$

$$T_4' = 1396 \times \left(\frac{1,0206 \text{ bar}}{12,73 \text{ bar}} \right)^{\frac{1,4-1}{1,4}}$$

$$T_4' = 678,3 \text{ K}$$

4. Menghitung Entalpi Temperatur Teoritis T_2' dan T_4' :

$$h_2' = h_1 + \left(\frac{T_2' - T_1}{T_2 - T_1} \right) (h_2 - h_1)$$

$$h_2' = 659,84 \text{ kJ/kg} + \left(\frac{650,8 \text{ K} - 650 \text{ K}}{660 \text{ K} - 650 \text{ K}} \right) (670,47 \text{ kJ/kg} - 659,84 \text{ kJ/kg})$$

$$h_2' = 660,69 \text{ kJ/kg}$$

$$h_4' = h_1 + \left(\frac{T_4' - T_1}{T_2 - T_1} \right) (h_2 - h_1)$$

$$h_4' = 681,14 \text{ kJ/kg} + \left(\frac{678,3 \text{ K} - 670 \text{ K}}{680 \text{ K} - 670 \text{ K}} \right) (691,82 \text{ kJ/kg} - 681,14 \text{ kJ/kg})$$

$$h_4' = 690 \text{ kJ/kg}$$

Tabel hasil entalpi ideal T2' dan T4'

Eksisting	h2' (kJ/kg)	h4' (kJ/kg)
1	660,69	690

5. Menghitung Efisiensi Kompresor :

$$\eta_c = \frac{h_2' - h_1}{h_2 - h_1} \times 100\%$$

$$\eta_c = \frac{660,69 - 305,589}{718,54 - 305,589} \times 100\%$$

$$\eta_c = 85,99\%$$

6. Menghitung Efisiensi Turbin :

$$\eta_t = \frac{h_3 - h_4}{h_3 - h_2'} \times 100\%$$

$$\eta_t = \frac{1510,6 - 850,66}{1510,6 - 690} \times 100\%$$

$$\eta_t = 80,42\%$$

7. Menghitung nilai kalor yang masuk (Qin) :

$$\dot{Q}_{in} = LHV \times \dot{m}_F$$

$$\dot{Q}_{in} = 45.333 \frac{\text{kJ}}{\text{kg}} \times 6,9327 \frac{\text{kg}}{\text{s}}$$

$$\dot{Q}_{in} = 314.280,1 \frac{\text{kJ}}{\text{s}}$$

8. Menghitung Laju Aliran Udara

$$\dot{m}_a = \frac{\dot{Q}_{in} - (\dot{m}_F \times h_3)}{(h_3 - h_2)}$$

1. Dilarang mengutip sebagian atau seluruh karya tulis ini tanpa mencantumkan dan menyebutkan sumber:
 - a. Pengutipan hanya untuk kepentingan pendidikan, penelitian, penulisan karya ilmiah, penyusunan laporan, penulisan kritik atau tinjauan suatu masalah.
 - b. Pengutipan tidak merugikan kepentingan yang wajar UIN Suska Riau.
2. Dilarang mengumumkan dan memperbarui sebagian atau seluruh karya tulis ini dalam bentuk apapun tanpa izin UIN Suska Riau.

$$\dot{m}_a = \frac{314.280,1 \frac{kJ}{s} - (6,9327 \frac{kg}{s} \times 1510,6 \frac{kJ}{kg})}{(1510,6 \frac{kJ}{kg} - 718,54 \frac{kJ}{kg})}$$

$$\dot{m}_a = 383,56 \frac{kg}{s}$$

Menghitung Kerja Kompresor (\dot{w}_c) :

$$\dot{w}_c = \frac{\dot{m}_a \times (h'_2 - h_1)}{\eta_c}$$

$$\dot{w}_c = \frac{383,56 \frac{kg}{s} \times (660,69 \frac{kJ}{kg} - 305,589 \frac{kJ}{kg})}{85,99\%}$$

$$\dot{w}_c = 158.393,5 \frac{kJ}{s}$$

10. Menghitung Kerja Turbin (\dot{w}_t) :

$$\dot{w}_t = (\dot{m}_a + \dot{m}_F) \times (h_3 - h'_4) \times \eta_t$$

$$\dot{w}_t = \left(383,56 \frac{kg}{s} + 6,9327 \frac{kg}{s} \right) \times \left(1510,6 \frac{kJ}{kg} - 690 \frac{kJ}{kg} \right) \times 80,42\%$$

$$\dot{w}_t = 257.696,5 \frac{kJ}{s}$$

11. Menghitung Daya Bersih (W_{net}) :

$$W_{net} = \dot{w}_t - \dot{w}_c$$

$$W_{net} = 257.696,5 \text{ kJ/s} - 158.393,5 \text{ kJ/s}$$

$$W_{net} = 99.303 \text{ kW}$$

$$W_{net} = 99,3 \text{ MW}$$

12. Menghitung Efisiensi Thermal (η_{th}) :

$$\eta_{th} = \frac{W_{net}}{\dot{Q}_{in}} \times 100\%$$

$$\eta_{th} = \frac{99.303 \text{ kW}}{314.280,1 \frac{kJ}{s}} \times 100\%$$

$$\eta_{th} = 31,59\%$$

Hak Cipta Dilindungi Undang-Undang

1. Dilarang mengutip sebagian atau seluruh karya tulis ini tanpa mencantumkan dan menyebutkan sumber:

- a. Pengutipan hanya untuk kepentingan pendidikan, penelitian, penulisan karya ilmiah, penyusunan laporan, penulisan kritik atau tinjauan suatu masalah.
- b. Pengutipan tidak merugikan kepentingan yang wajar UIN Suska Riau.

2. Dilarang mengumumkan dan memperbanyak sebagian atau seluruh karya tulis ini dalam bentuk apapun tanpa izin UIN Suska Riau.

Hasil:

Hak Cipta © Hasil Eksisting Riau
Jurnal Sains dan Teknologi
Islamic University of Sultan Syarif Kasim Riau

Parameter	Kondisi 1	Kondisi 2
Efisiensi Kompresor (η_c)	85,7 %	85,99%
Efisiensi Turbin (η_t)	80,8 %	80,42%
Kalor yang masuk(\dot{Q}_{in})	324.766 kJ/s	314.280,1kJ/s
Laaju Aliran Udara (\dot{m}_{air})	390,33 kg/s	383,56kg/s
Nilai Kerja Kompresor (\dot{w}_c)	160.554,5 kJ/s	158.393,5 kJ/s
Nilai Kerja Turbin (\dot{w}_t)	265.823,83 kJ/s	257.696,5 kJ/s
Daya Netto (W _{net})	105,26933 MW	99,303 MW
Efisiensi Termal (η_{th})	32,41 %	31,59 %

13. Validasi

Kondisi eksisting 1:

$$\% \text{ Error} = \left| \frac{\text{Hasil EES} - \text{Hasil Teoritis}}{\text{Hasil Teoritis}} \right| \times 100\%$$

$$\% \text{ Error} = \left| \frac{105,269 \text{ MW} - 105,2693 \text{ MW}}{105,2693 \text{ MW}} \right| \times 100\%$$

$$\% \text{ Error} = 0,000285\%$$

$$\% \text{ Error} = 0,000285\% < 10\%$$

Kondisi eksisting 2:

$$\% \text{ Error} = \left| \frac{\text{Hasil EES} - \text{Hasil Teoritis}}{\text{Hasil Teoritis}} \right| \times 100\%$$

$$\% \text{ Error} = \left| \frac{99,254 \text{ MW} - 99,303 \text{ MW}}{99,303 \text{ MW}} \right| \times 100\%$$

$$\% \text{ Error} = 0,049\%$$

$$\% \text{ Error} = 0,049\% < 10\%$$

1. Dilarang mengutip sebagian atau seluruh karya tulis ini tanpa mencantumkan dan menyebutkan sumber.

- a. Pengutipan hanya untuk kepentingan pendidikan, penelitian, penulisan karya ilmiah, penyusunan laporan, penulisan kritik atau tinjauan suatu masalah.
- b. Pengutipan tidak merugikan kepentingan yang wajar UIN Suska Riau.

2. Dilarang mengumumkan dan memperbarui sebagian atau seluruh karya tulis ini dalam bentuk apapun tanpa izin UIN Suska Riau.

B_Ha Perhitungan kondisi eksisting ke-2 menggunakan software EES sesuai data tabel 3.2

EES Professional:

```

File Edit Search Options Calculate Tables Plots Windows Help Examples

Equations Window
==== Brayton Cycle Analysis =====
"Kondisi Input yang Diketahui"
T_1 = 305,368 [K] "Temperatur udara masuk kompresor"
T_2 = 704,89 [K] "Temperatur keluar kompresor"
T_2s = 650,79 [K] "Temperatur teoritis keluar kompresor"
T_3 = 1396 [K] "Temperatur masuk turbin"
T_4 = 826,05 [K] "Temperatur keluar turbin"
T_4s = 678,3 [K] "Temperatur teoritis keluar turbin"
P_1 = 1,0038 [bar] "Tekanan masuk kompresor"
P_2 = 14,147 [bar] "Tekanan keluar kompresor"
P_3 = 12,73 [bar] "Tekanan masuk turbin"
P_4 = 1,0206 [bar] "Tekanan keluar turbin"
mdot_fuel = 6,9327 [kg/s] "Mass flow rate"
LHV = 45333 [kJ/kg] "Low Heating Value bahan bakar"

"Perhitungan Properties State 1 (Masuk Kompresor)"
h_1=enthalpy(Air,T=T_1) "Enthalpi state 1"

"Perhitungan Properties State 2 (Keluar Kompresor)"
h_2=enthalpy(Air,T=T_2) "Enthalpi state 2"

"Perhitungan Properties State 2s (ideal)"
h_2s=enthalpy(Air,T=T_2s) "Enthalpi state 2s"

"Perhitungan Efisiensi Isentropik Kompresor"
eff_c = ((h_2s-h_1) / (h_2-h_1)) "Efisiensi isentropik kompresor"

"Perhitungan Properties State 3"
h_3=enthalpy(Air,T=T_3) "Enthalpi state 3"

"Perhitungan Laju Airan Udara"
Q_in = mdot_fuel*LHV "Total panas masuk per waktu"
m_dot_air = (Q_in-(mdot_fuel*h_3))/(h_3-h_2) "Laju Airan Udara"

"Perhitungan Kerja Kompresor"
w_c = (m_dot_air*(h_2s-h_1))/eff_c "Kerja spesifik kompresor"

"Perhitungan Properties State 4 (Keluar Turbin)"
h_4=enthalpy(Air,T=T_4) "Enthalpi state 4"

"Perhitungan Properties State 4s (ideal)"
h_4s=enthalpy(Air,T=T_4s) "Enthalpi state 4s"

Main Program
eff_c
eff_t
eff_thermal
h_1
h_2
h_2s
h_3
h_4
h_4s
LHV [kJ/kg]
mdot_fuel [kg/s]
m_dot_air
P_1 [bar]
P_2 [bar]
P_3 [bar]
P_4 [bar]
Q_in
T_1 [K]
T_2 [K]
T_2s [K]
T_3 [K]
T_4 [K]
T_4s [K]
w_c
W_net
w_t

EU Line: 11 Char: 64 Wrap: On Insert Caps Lock: Off SI K bar kJ mass deg Warnings: On Unit Chk: On Complex
  
```

Solution				
Main				
Unit Settings: SI K bar kJ mass deg				
eff_c = 0,8599	eff_t = 0,8042	eff_thermal = 0,3158	h_1 = 305,8	h_2 = 718,9
h_2s = 661	h_3 = 1511	h_4 = 851	h_4s = 690,4	LHV = 45333 [kJ/kg]
mdot_fuel = 6,933 [kg/s]	m_air = 383,6	P_1 = 1,004 [bar]	P_2 = 14,15 [bar]	P_3 = 12,73 [bar]
P_4 = 1,021 [bar]	Q_in = 314280	T_1 = 305,4 [K]	T_2 = 704,9 [K]	T_2s = 650,8 [K]
T_3 = 1396 [K]	T_4 = 826,1 [K]	T_4s = 678,3 [K]	w_c = 158447 [kJ/s]	W_net = 99254 [kW]
w_t = 257702 [kJ/s]				

1. Dilarang mengutip sebagian atau seluruh karya tulis ini tanpa mencantumkan dan menyebutkan sumber:
 - a. Pengutipan hanya untuk kepentingan pendidikan, penelitian, penulisan karya ilmiah, penyusunan laporan, penulisan kritik atau tinjauan suatu masalah.
 - b. Pengutipan tidak merugikan kepentingan yang wajar UIN Suska Riau.
2. Dilarang mengumumkan dan memperbanyak sebagian atau seluruh karya tulis ini dalam bentuk apapun tanpa izin UIN Suska Riau.

LAMPIRAN C

HASIL PERHITUNGAN VARIASI PARAMETER PADA EKSISTING 1 DAN 2

Baseline Kondisi Eksisting 1 Pada T₁ = 298,576 K

Variasi ke-1 \dot{m}_{Fuel} = 6,83 kg/s

Unit Settings: SI K bar kJ mass deg				
eff _c = 0,8528	eff _t = 0,808	eff _{thermal} = 0,3228	h ₁ = 299 [kJ/kg]	h ₂ = 711,5 [kJ/kg]
h _{2s} = 650,8 [kJ/kg]	h ₃ = 1516 [kJ/kg]	h ₄ = 846,8 [kJ/kg]	h _{4s} = 687,9 [kJ/kg]	LHV = 45333 [kJ/kg]
mdot _{Fuel} = 6,83 [kg/s]	m _{air} = 372,2 [kg/s]	P ₁ = 1,007 [bar]	P ₂ = 14,57 [bar]	P ₃ = 13,11 [bar]
P ₄ = 1,027 [bar]	Q _{in} = 309624 [kJ/s]	T ₁ = 298,6 [K]	T ₂ = 698,1 [K]	T _{2s} = 641,2 [K]
T ₃ = 1400 [K]	T ₄ = 822,3 [K]	T _{4s} = 676 [K]	w _c = 153530 [kJ/s]	W _{net} = 99,95 [MW]
w _t = 253482 [kJ/s]				

Variasi ke-2 \dot{m}_{Fuel} = 6,96 kg/s

Unit Settings: SI K bar kJ mass deg				
eff _c = 0,8528	eff _t = 0,808	eff _{thermal} = 0,3228	h ₁ = 299 [kJ/kg]	h ₂ = 711,5 [kJ/kg]
h _{2s} = 650,8 [kJ/kg]	h ₃ = 1516 [kJ/kg]	h ₄ = 846,8 [kJ/kg]	h _{4s} = 687,9 [kJ/kg]	LHV = 45333 [kJ/kg]
mdot _{Fuel} = 6,96 [kg/s]	m _{air} = 379,3 [kg/s]	P ₁ = 1,007 [bar]	P ₂ = 14,57 [bar]	P ₃ = 13,11 [bar]
P ₄ = 1,027 [bar]	Q _{in} = 315518 [kJ/s]	T ₁ = 298,6 [K]	T ₂ = 698,1 [K]	T _{2s} = 641,2 [K]
T ₃ = 1400 [K]	T ₄ = 822,3 [K]	T _{4s} = 676 [K]	w _c = 156452 [kJ/s]	W _{net} = 101,9 [MW]
w _t = 258306 [kJ/s]				

Variasi ke-3 \dot{m}_{Fuel} = 7,09 kg/s

Unit Settings: SI K bar kJ mass deg				
eff _c = 0,8528	eff _t = 0,808	eff _{thermal} = 0,3228	h ₁ = 299 [kJ/kg]	h ₂ = 711,5 [kJ/kg]
h _{2s} = 650,8 [kJ/kg]	h ₃ = 1516 [kJ/kg]	h ₄ = 846,8 [kJ/kg]	h _{4s} = 687,9 [kJ/kg]	LHV = 45333 [kJ/kg]
mdot _{Fuel} = 7,09 [kg/s]	m _{air} = 386,3 [kg/s]	P ₁ = 1,007 [bar]	P ₂ = 14,57 [bar]	P ₃ = 13,11 [bar]
P ₄ = 1,027 [bar]	Q _{in} = 321411 [kJ/s]	T ₁ = 298,6 [K]	T ₂ = 698,1 [K]	T _{2s} = 641,2 [K]
T ₃ = 1400 [K]	T ₄ = 822,3 [K]	T _{4s} = 676 [K]	w _c = 159374 [kJ/s]	W _{net} = 103,8 [MW]
w _t = 263131 [kJ/s]				

1. Dilarang mengutip sebagian atau seluruh karya tulis ini tanpa mencantumkan dan menyebutkan sumber.
 - a. Pengutipan hanya untuk kepentingan pendidikan, penelitian, penulisan karya ilmiah, penyusunan laporan, penulisan kritik atau tinjauan suatu masalah.
 - b. Pengutipan tidak merugikan kepentingan yang wajar UIN Suska Riau.
2. Dilarang mengumumkan dan memperbanyak sebagian atau seluruh karya tulis ini dalam bentuk apapun tanpa izin UIN Suska Riau.

Variasi ke-4 $\dot{m}_{fuel} = 7,21 \text{ kg/s}$

Unit Settings: SI K bar kJ mass deg				
$\text{eff}_c = 0,8528$	$\text{eff}_t = 0,808$	$\text{eff}_{\text{thermal}} = 0,3228$	$h_1 = 299 \text{ [kJ/kg]}$	$h_2 = 711,5 \text{ [kJ/kg]}$
$h_{2s} = 650,8 \text{ [kJ/kg]}$	$h_3 = 1516 \text{ [kJ/kg]}$	$h_4 = 846,8 \text{ [kJ/kg]}$	$h_{4s} = 687,9 \text{ [kJ/kg]}$	$\text{LHV} = 45333 \text{ [kJ/kg]}$
$\dot{m}_{\text{fuel}} = 7,21 \text{ [kg/s]}$	$\dot{m}_{\text{air}} = 392,9 \text{ [kg/s]}$	$P_1 = 1,007 \text{ [bar]}$	$P_2 = 14,57 \text{ [bar]}$	$P_3 = 13,11 \text{ [bar]}$
$P_4 = 1,027 \text{ [bar]}$	$Q_{in} = 326851 \text{ [kJ/s]}$	$T_1 = 298,6 \text{ [K]}$	$T_2 = 698,1 \text{ [K]}$	$T_{2s} = 641,2 \text{ [K]}$
$T_3 = 1400 \text{ [K]}$	$T_4 = 822,3 \text{ [K]}$	$T_{4s} = 676 \text{ [K]}$	$w_c = 162072 \text{ [kJ/s]}$	$W_{\text{net}} = 105,5 \text{ [MW]}$
$w_t = 267585 \text{ [kJ/s]}$				

Variasi ke-5 $\dot{m}_{fuel} = 7,32 \text{ kg/s}$

Unit Settings: SI K bar kJ mass deg				
$\text{eff}_c = 0,8528$	$\text{eff}_t = 0,808$	$\text{eff}_{\text{thermal}} = 0,3228$	$h_1 = 299 \text{ [kJ/kg]}$	$h_2 = 711,5 \text{ [kJ/kg]}$
$h_{2s} = 650,8 \text{ [kJ/kg]}$	$h_3 = 1516 \text{ [kJ/kg]}$	$h_4 = 846,8 \text{ [kJ/kg]}$	$h_{4s} = 687,9 \text{ [kJ/kg]}$	$\text{LHV} = 45333 \text{ [kJ/kg]}$
$\dot{m}_{\text{fuel}} = 7,32 \text{ [kg/s]}$	$\dot{m}_{\text{air}} = 398,9 \text{ [kg/s]}$	$P_1 = 1,007 \text{ [bar]}$	$P_2 = 14,57 \text{ [bar]}$	$P_3 = 13,11 \text{ [bar]}$
$P_4 = 1,027 \text{ [bar]}$	$Q_{in} = 331838 \text{ [kJ/s]}$	$T_1 = 298,6 \text{ [K]}$	$T_2 = 698,1 \text{ [K]}$	$T_{2s} = 641,2 \text{ [K]}$
$T_3 = 1400 \text{ [K]}$	$T_4 = 822,3 \text{ [K]}$	$T_{4s} = 676 \text{ [K]}$	$w_c = 164544 \text{ [kJ/s]}$	$W_{\text{net}} = 107,1 \text{ [MW]}$
$w_t = 271667 \text{ [kJ/s]}$				

Baseline Kondisi Eksisting 1 Pada $T_1 = 301,3 \text{ K}$

Variasi ke-6 $\dot{m}_{fuel} = 6,83 \text{ kg/s}$

Unit Settings: SI K bar kJ mass deg				
$\text{eff}_c = 0,8669$	$\text{eff}_t = 0,808$	$\text{eff}_{\text{thermal}} = 0,3261$	$h_1 = 301,8 \text{ [kJ/kg]}$	$h_2 = 711,5 \text{ [kJ/kg]}$
$h_{2s} = 657 \text{ [kJ/kg]}$	$h_3 = 1516 \text{ [kJ/kg]}$	$h_4 = 846,8 \text{ [kJ/kg]}$	$h_{4s} = 687,9 \text{ [kJ/kg]}$	$\text{LHV} = 45333 \text{ [kJ/kg]}$
$\dot{m}_{\text{fuel}} = 6,83 \text{ [kg/s]}$	$\dot{m}_{\text{air}} = 372,2 \text{ [kg/s]}$	$P_1 = 1,007 \text{ [bar]}$	$P_2 = 14,57 \text{ [bar]}$	$P_3 = 13,11 \text{ [bar]}$
$P_4 = 1,027 \text{ [bar]}$	$Q_{in} = 309624 \text{ [kJ/s]}$	$T_1 = 301,3 \text{ [K]}$	$T_2 = 698,1 \text{ [K]}$	$T_{2s} = 647 \text{ [K]}$
$T_3 = 1400 \text{ [K]}$	$T_4 = 822,3 \text{ [K]}$	$T_{4s} = 676 \text{ [K]}$	$w_c = 152511 \text{ [kJ/s]}$	$W_{\text{net}} = 101 \text{ [MW]}$
$w_t = 253482 \text{ [kJ/s]}$				



Variasi ke-7 $\dot{m}_{Fuel} = 6,96 \text{ kg/s}$

Unit Settings: SI K bar kJ mass deg				
$\text{eff}_c = 0,8669$	$\text{eff}_t = 0,808$	$\text{eff}_{\text{thermal}} = 0,3261$	$h_1 = 301,8 \text{ [kJ/kg]}$	$h_2 = 711,5 \text{ [kJ/kg]}$
$h_{2s} = 657 \text{ [kJ/kg]}$	$h_3 = 1516 \text{ [kJ/kg]}$	$h_4 = 846,8 \text{ [kJ/kg]}$	$h_{4s} = 687,9 \text{ [kJ/kg]}$	$LHV = 45333 \text{ [kJ/kg]}$
$\dot{m}_{\text{fuel}} = 6,96 \text{ [kg/s]}$	$\dot{m}_{\text{air}} = 379,3 \text{ [kg/s]}$	$P_1 = 1,007 \text{ [bar]}$	$P_2 = 14,57 \text{ [bar]}$	$P_3 = 13,11 \text{ [bar]}$
$P_4 = 1,027 \text{ [bar]}$	$Q_{in} = 315518 \text{ [kJ/s]}$	$T_1 = 301,3 \text{ [K]}$	$T_2 = 698,1 \text{ [K]}$	$T_{2s} = 647 \text{ [K]}$
$T_3 = 1400 \text{ [K]}$	$T_4 = 822,3 \text{ [K]}$	$T_{4s} = 676 \text{ [K]}$	$w_c = 155414 \text{ [kJ/s]}$	$W_{\text{net}} = 102,9 \text{ [MW]}$
$w_t = 258306 \text{ [kJ/s]}$				

Variasi ke-8 $\dot{m}_{Fuel} = 7,09 \text{ kg/s}$

Unit Settings: SI K bar kJ mass deg				
$\text{eff}_c = 0,8669$	$\text{eff}_t = 0,808$	$\text{eff}_{\text{thermal}} = 0,3261$	$h_1 = 301,8 \text{ [kJ/kg]}$	$h_2 = 711,5 \text{ [kJ/kg]}$
$h_{2s} = 657 \text{ [kJ/kg]}$	$h_3 = 1516 \text{ [kJ/kg]}$	$h_4 = 846,8 \text{ [kJ/kg]}$	$h_{4s} = 687,9 \text{ [kJ/kg]}$	$LHV = 45333 \text{ [kJ/kg]}$
$\dot{m}_{\text{fuel}} = 7,09 \text{ [kg/s]}$	$\dot{m}_{\text{air}} = 386,3 \text{ [kg/s]}$	$P_1 = 1,007 \text{ [bar]}$	$P_2 = 14,57 \text{ [bar]}$	$P_3 = 13,11 \text{ [bar]}$
$P_4 = 1,027 \text{ [bar]}$	$Q_{in} = 321411 \text{ [kJ/s]}$	$T_1 = 301,3 \text{ [K]}$	$T_2 = 698,1 \text{ [K]}$	$T_{2s} = 647 \text{ [K]}$
$T_3 = 1400 \text{ [K]}$	$T_4 = 822,3 \text{ [K]}$	$T_{4s} = 676 \text{ [K]}$	$w_c = 158317 \text{ [kJ/s]}$	$W_{\text{net}} = 104,8 \text{ [MW]}$
$w_t = 263131 \text{ [kJ/s]}$				

Variasi ke-9 $\dot{m}_{Fuel} = 7,21 \text{ kg/s}$

Unit Settings: SI K bar kJ mass deg				
$\text{eff}_c = 0,8669$	$\text{eff}_t = 0,808$	$\text{eff}_{\text{thermal}} = 0,3261$	$h_1 = 301,8 \text{ [kJ/kg]}$	$h_2 = 711,5 \text{ [kJ/kg]}$
$h_{2s} = 657 \text{ [kJ/kg]}$	$h_3 = 1516 \text{ [kJ/kg]}$	$h_4 = 846,8 \text{ [kJ/kg]}$	$h_{4s} = 687,9 \text{ [kJ/kg]}$	$LHV = 45333 \text{ [kJ/kg]}$
$\dot{m}_{\text{fuel}} = 7,21 \text{ [kg/s]}$	$\dot{m}_{\text{air}} = 392,9 \text{ [kg/s]}$	$P_1 = 1,007 \text{ [bar]}$	$P_2 = 14,57 \text{ [bar]}$	$P_3 = 13,11 \text{ [bar]}$
$P_4 = 1,027 \text{ [bar]}$	$Q_{in} = 326851 \text{ [kJ/s]}$	$T_1 = 301,3 \text{ [K]}$	$T_2 = 698,1 \text{ [K]}$	$T_{2s} = 647 \text{ [K]}$
$T_3 = 1400 \text{ [K]}$	$T_4 = 822,3 \text{ [K]}$	$T_{4s} = 676 \text{ [K]}$	$w_c = 160996 \text{ [kJ/s]}$	$W_{\text{net}} = 106,6 \text{ [MW]}$
$w_t = 267585 \text{ [kJ/s]}$				

1. Dilarang mengutip sebagian atau seluruh karya tulis ini tanpa mencantumkan dan menyebutkan sumber:
 - a. Pengutipan hanya untuk kepentingan pendidikan, penelitian, penulisan karya ilmiah, penyusunan laporan, penulisan kritik atau tinjauan suatu masalah.
 - b. Pengutipan tidak merugikan kepentingan yang wajar UIN Suska Riau.
2. Dilarang mengumumkan dan memperbanyak sebagian atau seluruh karya tulis ini dalam bentuk apapun tanpa izin UIN Suska Riau.

Variasi ke-10 $\dot{m}_{Fuel} = 7,32 \text{ kg/s}$

Solution				
Main				
Unit Settings: SI K bar kJ mass deg				
$eff_c = 0,8669$	$eff_t = 0,808$	$eff_{thermal} = 0,3261$	$h_1 = 301,8 \text{ [kJ/kg]}$	$h_2 = 711,5 \text{ [kJ/kg]}$
$h_{2s} = 657 \text{ [kJ/kg]}$	$h_3 = 1516 \text{ [kJ/kg]}$	$h_4 = 846,8 \text{ [kJ/kg]}$	$h_{4s} = 687,9 \text{ [kJ/kg]}$	$LHV = 45333 \text{ [kJ/kg]}$
$\dot{m}_{fuel} = 7,32 \text{ [kg/s]}$	$\dot{m}_{air} = 398,9 \text{ [kg/s]}$	$P_1 = 1,007 \text{ [bar]}$	$P_2 = 14,57 \text{ [bar]}$	$P_3 = 13,11 \text{ [bar]}$
$P_4 = 1,027 \text{ [bar]}$	$Q_{in} = 331838 \text{ [kJ/s]}$	$T_1 = 301,3 \text{ [K]}$	$T_2 = 698,1 \text{ [K]}$	$T_{2s} = 647 \text{ [K]}$
$T_3 = 1400 \text{ [K]}$	$T_4 = 822,3 \text{ [K]}$	$T_{4s} = 676 \text{ [K]}$	$w_c = 163453 \text{ [kJ/s]}$	$W_{net} = 108,2 \text{ [MW]}$
$w_t = 271667 \text{ [kJ/s]}$				

Baseline Kondisi Eksisting 1 Pada $T_1 = 303,148 \text{ K}$

Variasi ke-11 $\dot{m}_{Fuel} = 6,83 \text{ kg/s}$

Solution				
Main				
Unit Settings: SI K bar kJ mass deg				
$eff_c = 0,8767$	$eff_t = 0,808$	$eff_{thermal} = 0,3283$	$h_1 = 303,6 \text{ [kJ/kg]}$	$h_2 = 711,5 \text{ [kJ/kg]}$
$h_{2s} = 661,2 \text{ [kJ/kg]}$	$h_3 = 1516 \text{ [kJ/kg]}$	$h_4 = 846,8 \text{ [kJ/kg]}$	$h_{4s} = 687,9 \text{ [kJ/kg]}$	$LHV = 45333 \text{ [kJ/kg]}$
$\dot{m}_{fuel} = 6,83 \text{ [kg/s]}$	$\dot{m}_{air} = 372,2 \text{ [kg/s]}$	$P_1 = 1,007 \text{ [bar]}$	$P_2 = 14,57 \text{ [bar]}$	$P_3 = 13,11 \text{ [bar]}$
$P_4 = 1,027 \text{ [bar]}$	$Q_{in} = 309624 \text{ [kJ/s]}$	$T_1 = 303,1 \text{ [K]}$	$T_2 = 698,1 \text{ [K]}$	$T_{2s} = 651 \text{ [K]}$
$T_3 = 1400 \text{ [K]}$	$T_4 = 822,3 \text{ [K]}$	$T_{4s} = 676 \text{ [K]}$	$w_c = 151820 \text{ [kJ/s]}$	$W_{net} = 101,7 \text{ [MW]}$
$w_t = 253482 \text{ [kJ/s]}$				

Variasi ke-12 $\dot{m}_{Fuel} = 6,96 \text{ kg/s}$

Solution				
Main				
Unit Settings: SI K bar kJ mass deg				
$eff_c = 0,8767$	$eff_t = 0,808$	$eff_{thermal} = 0,3283$	$h_1 = 303,6 \text{ [kJ/kg]}$	$h_2 = 711,5 \text{ [kJ/kg]}$
$h_{2s} = 661,2 \text{ [kJ/kg]}$	$h_3 = 1516 \text{ [kJ/kg]}$	$h_4 = 846,8 \text{ [kJ/kg]}$	$h_{4s} = 687,9 \text{ [kJ/kg]}$	$LHV = 45333 \text{ [kJ/kg]}$
$\dot{m}_{fuel} = 6,96 \text{ [kg/s]}$	$\dot{m}_{air} = 379,3 \text{ [kg/s]}$	$P_1 = 1,007 \text{ [bar]}$	$P_2 = 14,57 \text{ [bar]}$	$P_3 = 13,11 \text{ [bar]}$
$P_4 = 1,027 \text{ [bar]}$	$Q_{in} = 315518 \text{ [kJ/s]}$	$T_1 = 303,1 \text{ [K]}$	$T_2 = 698,1 \text{ [K]}$	$T_{2s} = 651 \text{ [K]}$
$T_3 = 1400 \text{ [K]}$	$T_4 = 822,3 \text{ [K]}$	$T_{4s} = 676 \text{ [K]}$	$w_c = 154710 \text{ [kJ/s]}$	$W_{net} = 103,6 \text{ [MW]}$
$w_t = 258306 \text{ [kJ/s]}$				

1. Dilarang mengutip sebagian atau seluruh karya tulis ini tanpa mencantumkan dan menyebutkan sumber.
 - a. Pengutipan hanya untuk kepentingan pendidikan, penelitian, penulisan karya ilmiah, penyusunan laporan, penulisan kritik atau tinjauan suatu masalah.
 - b. Pengutipan tidak merugikan kepentingan yang wajar UIN Suska Riau.
2. Dilarang mengumumkan dan memperbanyak sebagian atau seluruh karya tulis ini dalam bentuk apapun tanpa izin UIN Suska Riau.

Variasi ke-13 $\dot{m}_{Fuel} = 7,09 \text{ kg/s}$

Solution				
Main				
Unit Settings: SI K bar kJ mass deg				
$\text{eff}_c = 0,8767$	$\text{eff}_t = 0,808$	$\text{eff}_{\text{thermal}} = 0,3283$	$h_1 = 303,6 \text{ [kJ/kg]}$	$h_2 = 711,5 \text{ [kJ/kg]}$
$h_{2s} = 661,2 \text{ [kJ/kg]}$	$h_3 = 1516 \text{ [kJ/kg]}$	$h_4 = 846,8 \text{ [kJ/kg]}$	$h_{4s} = 687,9 \text{ [kJ/kg]}$	$\text{LHV} = 45333 \text{ [kJ/kg]}$
$\dot{m}_{\text{fuel}} = 7,09 \text{ [kg/s]}$	$\dot{m}_{\text{air}} = 386,3 \text{ [kg/s]}$	$P_1 = 1,007 \text{ [bar]}$	$P_2 = 14,57 \text{ [bar]}$	$P_3 = 13,11 \text{ [bar]}$
$P_4 = 1,027 \text{ [bar]}$	$Q_{\text{in}} = 321411 \text{ [kJ/s]}$	$T_1 = 303,1 \text{ [K]}$	$T_2 = 698,1 \text{ [K]}$	$T_{2s} = 651 \text{ [K]}$
$T_3 = 1400 \text{ [K]}$	$T_4 = 822,3 \text{ [K]}$	$T_{4s} = 676 \text{ [K]}$	$w_c = 157599 \text{ [kJ/s]}$	$W_{\text{net}} = 105,5 \text{ [MW]}$
$w_t = 263131 \text{ [kJ/s]}$				

Variasi ke-14 $\dot{m}_{Fuel} = 7,21 \text{ kg/s}$

Solution				
Main				
Unit Settings: SI K bar kJ mass deg				
$\text{eff}_c = 0,8767$	$\text{eff}_t = 0,808$	$\text{eff}_{\text{thermal}} = 0,3283$	$h_1 = 303,6 \text{ [kJ/kg]}$	$h_2 = 711,5 \text{ [kJ/kg]}$
$h_{2s} = 661,2 \text{ [kJ/kg]}$	$h_3 = 1516 \text{ [kJ/kg]}$	$h_4 = 846,8 \text{ [kJ/kg]}$	$h_{4s} = 687,9 \text{ [kJ/kg]}$	$\text{LHV} = 45333 \text{ [kJ/kg]}$
$\dot{m}_{\text{fuel}} = 7,21 \text{ [kg/s]}$	$\dot{m}_{\text{air}} = 392,9 \text{ [kg/s]}$	$P_1 = 1,007 \text{ [bar]}$	$P_2 = 14,57 \text{ [bar]}$	$P_3 = 13,11 \text{ [bar]}$
$P_4 = 1,027 \text{ [bar]}$	$Q_{\text{in}} = 326851 \text{ [kJ/s]}$	$T_1 = 303,1 \text{ [K]}$	$T_2 = 698,1 \text{ [K]}$	$T_{2s} = 651 \text{ [K]}$
$T_3 = 1400 \text{ [K]}$	$T_4 = 822,3 \text{ [K]}$	$T_{4s} = 676 \text{ [K]}$	$w_c = 160267 \text{ [kJ/s]}$	$W_{\text{net}} = 107,3 \text{ [MW]}$
$w_t = 267585 \text{ [kJ/s]}$				

Variasi ke-15 $\dot{m}_{Fuel} = 7,32 \text{ kg/s}$

Solution				
Main				
Unit Settings: SI K bar kJ mass deg				
$\text{eff}_c = 0,8767$	$\text{eff}_t = 0,808$	$\text{eff}_{\text{thermal}} = 0,3283$	$h_1 = 303,6 \text{ [kJ/kg]}$	$h_2 = 711,5 \text{ [kJ/kg]}$
$h_{2s} = 661,2 \text{ [kJ/kg]}$	$h_3 = 1516 \text{ [kJ/kg]}$	$h_4 = 846,8 \text{ [kJ/kg]}$	$h_{4s} = 687,9 \text{ [kJ/kg]}$	$\text{LHV} = 45333 \text{ [kJ/kg]}$
$\dot{m}_{\text{fuel}} = 7,32 \text{ [kg/s]}$	$\dot{m}_{\text{air}} = 398,9 \text{ [kg/s]}$	$P_1 = 1,007 \text{ [bar]}$	$P_2 = 14,57 \text{ [bar]}$	$P_3 = 13,11 \text{ [bar]}$
$P_4 = 1,027 \text{ [bar]}$	$Q_{\text{in}} = 331838 \text{ [kJ/s]}$	$T_1 = 303,1 \text{ [K]}$	$T_2 = 698,1 \text{ [K]}$	$T_{2s} = 651 \text{ [K]}$
$T_3 = 1400 \text{ [K]}$	$T_4 = 822,3 \text{ [K]}$	$T_{4s} = 676 \text{ [K]}$	$w_c = 162712 \text{ [kJ/s]}$	$W_{\text{net}} = 109 \text{ [MW]}$
$w_t = 271667 \text{ [kJ/s]}$				

1. Dilarang mengutip sebagian atau seluruh karya tulis ini tanpa mencantumkan dan menyebutkan sumber.
- a. Pengutipan hanya untuk kepentingan pendidikan, penelitian, penulisan karya ilmiah, penyusunan laporan, penulisan kritik atau tinjauan suatu masalah.
- b. Pengutipan tidak merugikan kepentingan yang wajar UIN Suska Riau.
2. Dilarang mengumumkan dan memperbanyak sebagian atau seluruh karya tulis ini dalam bentuk apapun tanpa izin UIN Suska Riau.

Baseline Kondisi Eksisting 1 Pada T₁ = 304,94 K

Variasi ke-16 $\dot{m}_{Fuel} = 6,83 \text{ kg/s}$

Unit Settings: SI K bar kJ mass deg				
eff _c = 0,8862	eff _t = 0,808	eff _{thermal} = 0,3305	h ₁ = 305,4 [kJ/kg]	h ₂ = 711,5 [kJ/kg]
h _{2s} = 665,3 [kJ/kg]	h ₃ = 1516 [kJ/kg]	h ₄ = 846,8 [kJ/kg]	h _{4s} = 687,9 [kJ/kg]	LHV = 45333 [kJ/kg]
mdot _{fuel} = 6,83 [kg/s]	m _{air} = 372,2 [kg/s]	P ₁ = 1,007 [bar]	P ₂ = 14,57 [bar]	P ₃ = 13,11 [bar]
P ₄ = 1,027 [bar]	Q _{in} = 309624 [kJ/s]	T ₁ = 304,9 [K]	T ₂ = 698,1 [K]	T _{2s} = 654,8 [K]
T ₃ = 1400 [K]	T ₄ = 822,3 [K]	T _{4s} = 676 [K]	w _c = 151150 [kJ/s]	W _{net} = 102,3 [MW]
w _t = 253482 [kW]				

Variasi ke-17 $\dot{m}_{Fuel} = 6,96 \text{ kg/s}$

Unit Settings: SI K bar kJ mass deg				
eff _c = 0,8862	eff _t = 0,808	eff _{thermal} = 0,3305	h ₁ = 305,4 [kJ/kg]	h ₂ = 711,5 [kJ/kg]
h _{2s} = 665,3 [kJ/kg]	h ₃ = 1516 [kJ/kg]	h ₄ = 846,8 [kJ/kg]	h _{4s} = 687,9 [kJ/kg]	LHV = 45333 [kJ/kg]
mdot _{fuel} = 6,96 [kg/s]	m _{air} = 379,3 [kg/s]	P ₁ = 1,007 [bar]	P ₂ = 14,57 [bar]	P ₃ = 13,11 [bar]
P ₄ = 1,027 [bar]	Q _{in} = 315518 [kJ/s]	T ₁ = 304,9 [K]	T ₂ = 698,1 [K]	T _{2s} = 654,8 [K]
T ₃ = 1400 [K]	T ₄ = 822,3 [K]	T _{4s} = 676 [K]	w _c = 154027 [kJ/s]	W _{net} = 104,3 [MW]
w _t = 258306 [kJ/s]				

Variasi ke-18 $\dot{m}_{Fuel} = 7,09 \text{ kg/s}$

Unit Settings: SI K bar kJ mass deg				
eff _c = 0,8862	eff _t = 0,808	eff _{thermal} = 0,3305	h ₁ = 305,4 [kJ/kg]	h ₂ = 711,5 [kJ/kg]
h _{2s} = 665,3 [kJ/kg]	h ₃ = 1516 [kJ/kg]	h ₄ = 846,8 [kJ/kg]	h _{4s} = 687,9 [kJ/kg]	LHV = 45333 [kJ/kg]
mdot _{fuel} = 7,09 [kg/s]	m _{air} = 386,3 [kg/s]	P ₁ = 1,007 [bar]	P ₂ = 14,57 [bar]	P ₃ = 13,11 [bar]
P ₄ = 1,027 [bar]	Q _{in} = 321411 [kJ/s]	T ₁ = 304,9 [K]	T ₂ = 698,1 [K]	T _{2s} = 654,8 [K]
T ₃ = 1400 [K]	T ₄ = 822,3 [K]	T _{4s} = 676 [K]	w _c = 156903 [kJ/s]	W _{net} = 106,2 [MW]
w _t = 263131 [kJ/s]				

1. Dilarang mengutip sebagian atau seluruh karya tulis ini tanpa mencantumkan dan menyebutkan sumber:
 - a. Pengutipan hanya untuk kepentingan pendidikan, penelitian, penulisan karya ilmiah, penyusunan laporan, penulisan kritik atau tinjauan suatu masalah.
 - b. Pengutipan tidak merugikan kepentingan yang wajar UIN Suska Riau.
2. Dilarang mengumumkan dan memperbanyak sebagian atau seluruh karya tulis ini dalam bentuk apapun tanpa izin UIN Suska Riau.

**Variasi ke-19 $\dot{m}_{Fuel} = 7,21 \text{ kg/s}$**

Solution				
Main				
Unit Settings: SI K bar kJ mass deg				
$\text{eff}_c = 0,8862$	$\text{eff}_t = 0,808$	$\text{eff}_{\text{thermal}} = 0,3305$	$h_1 = 305,4 \text{ [kJ/kg]}$	$h_2 = 711,5 \text{ [kJ/kg]}$
$h_{2s} = 665,3 \text{ [kJ/kg]}$	$h_3 = 1516 \text{ [kJ/kg]}$	$h_4 = 846,8 \text{ [kJ/kg]}$	$h_{4s} = 687,9 \text{ [kJ/kg]}$	$\text{LHV} = 45333 \text{ [kJ/kg]}$
$\dot{m}_{\text{dot,fuel}} = 7,21 \text{ [kg/s]}$	$\dot{m}_{\text{air}} = 392,9 \text{ [kg/s]}$	$P_1 = 1,007 \text{ [bar]}$	$P_2 = 14,57 \text{ [bar]}$	$P_3 = 13,11 \text{ [bar]}$
$P_4 = 1,027 \text{ [bar]}$	$Q_{in} = 326851 \text{ [kJ/s]}$	$T_1 = 304,9 \text{ [K]}$	$T_2 = 698,1 \text{ [K]}$	$T_{2s} = 654,8 \text{ [K]}$
$T_3 = 1400 \text{ [K]}$	$T_4 = 822,3 \text{ [K]}$	$T_{4s} = 676 \text{ [K]}$	$w_c = 159559 \text{ [kJ/s]}$	$W_{\text{net}} = 108 \text{ [MW]}$
$w_t = 267585 \text{ [kJ/s]}$				

Variasi ke-20 $\dot{m}_{Fuel} = 7,32 \text{ kg/s}$

Solution				
Main				
Unit Settings: SI K bar kJ mass deg				
$\text{eff}_c = 0,8862$	$\text{eff}_t = 0,808$	$\text{eff}_{\text{thermal}} = 0,3305$	$h_1 = 305,4 \text{ [kJ/kg]}$	$h_2 = 711,5 \text{ [kJ/kg]}$
$h_{2s} = 665,3 \text{ [kJ/kg]}$	$h_3 = 1516 \text{ [kJ/kg]}$	$h_4 = 846,8 \text{ [kJ/kg]}$	$h_{4s} = 687,9 \text{ [kJ/kg]}$	$\text{LHV} = 45333 \text{ [kJ/kg]}$
$\dot{m}_{\text{dot,fuel}} = 7,32 \text{ [kg/s]}$	$\dot{m}_{\text{air}} = 398,9 \text{ [kg/s]}$	$P_1 = 1,007 \text{ [bar]}$	$P_2 = 14,57 \text{ [bar]}$	$P_3 = 13,11 \text{ [bar]}$
$P_4 = 1,027 \text{ [bar]}$	$Q_{in} = 331838 \text{ [kJ/s]}$	$T_1 = 304,9 \text{ [K]}$	$T_2 = 698,1 \text{ [K]}$	$T_{2s} = 654,8 \text{ [K]}$
$T_3 = 1400 \text{ [K]}$	$T_4 = 822,3 \text{ [K]}$	$T_{4s} = 676 \text{ [K]}$	$w_c = 161993 \text{ [kJ/s]}$	$W_{\text{net}} = 109,7 \text{ [MW]}$
$w_t = 271667 \text{ [kJ/s]}$				

Baseline Kondisi Eksisting 1 Pada $T_1 = 306,55 \text{ K}$ **Variasi ke-21 $\dot{m}_{Fuel} = 6,83 \text{ kg/s}$**

Solution				
Main				
Unit Settings: SI K bar kJ mass deg				
$\text{eff}_c = 0,8948$	$\text{eff}_t = 0,808$	$\text{eff}_{\text{thermal}} = 0,3324$	$h_1 = 307 \text{ [kJ/kg]}$	$h_2 = 711,5 \text{ [kJ/kg]}$
$h_{2s} = 669 \text{ [kJ/kg]}$	$h_3 = 1516 \text{ [kJ/kg]}$	$h_4 = 846,8 \text{ [kJ/kg]}$	$h_{4s} = 687,9 \text{ [kJ/kg]}$	$\text{LHV} = 45333 \text{ [kJ/kg]}$
$\dot{m}_{\text{dot,fuel}} = 6,83 \text{ [kg/s]}$	$\dot{m}_{\text{air}} = 372,2 \text{ [kg/s]}$	$P_1 = 1,007 \text{ [bar]}$	$P_2 = 14,57 \text{ [bar]}$	$P_3 = 13,11 \text{ [bar]}$
$P_4 = 1,027 \text{ [bar]}$	$Q_{in} = 309624 \text{ [kJ/s]}$	$T_1 = 306,6 \text{ [K]}$	$T_2 = 698,1 \text{ [K]}$	$T_{2s} = 658,3 \text{ [K]}$
$T_3 = 1400 \text{ [K]}$	$T_4 = 822,3 \text{ [K]}$	$T_{4s} = 676 \text{ [K]}$	$w_c = 150547 \text{ [kJ/s]}$	$W_{\text{net}} = 102,9 \text{ [MW]}$
$w_t = 253482 \text{ [kJ/s]}$				

1. Dilarang mengutip sebagian atau seluruh karya tulis ini tanpa mencantumkan dan menyebutkan sumber:
 - a. Pengutipan hanya untuk kepentingan pendidikan, penelitian, penulisan karya ilmiah, penyusunan laporan, penulisan kritik atau tinjauan suatu masalah.
 - b. Pengutipan tidak merugikan kepentingan yang wajar UIN Suska Riau.
2. Dilarang mengumumkan dan memperbanyak sebagian atau seluruh karya tulis ini dalam bentuk apapun tanpa izin UIN Suska Riau.

**Variasi ke-22 $\dot{m}_{Fuel} = 6,96 \text{ kg/s}$**

Unit Settings: SI K bar kJ mass deg				
$\text{eff}_c = 0,8948$	$\text{eff}_t = 0,808$	$\text{eff}_{\text{thermal}} = 0,3324$	$h_1 = 307 \text{ [kJ/kg]}$	$h_2 = 711,5 \text{ [kJ/kg]}$
$h_{2s} = 669 \text{ [kJ/kg]}$	$h_3 = 1516 \text{ [kJ/kg]}$	$h_4 = 846,8 \text{ [kJ/kg]}$	$h_{4s} = 687,9 \text{ [kJ/kg]}$	$\text{LHV} = 45333 \text{ [kJ/kg]}$
$\dot{m}_{\text{fuel}} = 6,96 \text{ [kg/s]}$	$\dot{m}_{\text{air}} = 379,3 \text{ [kg/s]}$	$P_1 = 1,007 \text{ [bar]}$	$P_2 = 14,57 \text{ [bar]}$	$P_3 = 13,11 \text{ [bar]}$
$P_4 = 1,027 \text{ [bar]}$	$Q_{in} = 315518 \text{ [kJ/s]}$	$T_1 = 306,6 \text{ [K]}$	$T_2 = 698,1 \text{ [K]}$	$T_{2s} = 658,3 \text{ [K]}$
$T_3 = 1400 \text{ [K]}$	$T_4 = 822,3 \text{ [K]}$	$T_{4s} = 676 \text{ [K]}$	$w_c = 153413 \text{ [kJ/s]}$	$W_{\text{net}} = 104,9 \text{ [MW]}$
$w_t = 258306 \text{ [kJ/s]}$				

Variasi ke-23 $\dot{m}_{Fuel} = 7,09 \text{ kg/s}$

Unit Settings: SI K bar kJ mass deg				
$\text{eff}_c = 0,8948$	$\text{eff}_t = 0,808$	$\text{eff}_{\text{thermal}} = 0,3324$	$h_1 = 307 \text{ [kJ/kg]}$	$h_2 = 711,5 \text{ [kJ/kg]}$
$h_{2s} = 669 \text{ [kJ/kg]}$	$h_3 = 1516 \text{ [kJ/kg]}$	$h_4 = 846,8 \text{ [kJ/kg]}$	$h_{4s} = 687,9 \text{ [kJ/kg]}$	$\text{LHV} = 45333 \text{ [kJ/kg]}$
$\dot{m}_{\text{fuel}} = 7,09 \text{ [kg/s]}$	$\dot{m}_{\text{air}} = 386,3 \text{ [kg/s]}$	$P_1 = 1,007 \text{ [bar]}$	$P_2 = 14,57 \text{ [bar]}$	$P_3 = 13,11 \text{ [bar]}$
$P_4 = 1,027 \text{ [bar]}$	$Q_{in} = 321411 \text{ [kJ/s]}$	$T_1 = 306,6 \text{ [K]}$	$T_2 = 698,1 \text{ [K]}$	$T_{2s} = 658,3 \text{ [K]}$
$T_3 = 1400 \text{ [K]}$	$T_4 = 822,3 \text{ [K]}$	$T_{4s} = 676 \text{ [K]}$	$w_c = 156278 \text{ [kJ/s]}$	$W_{\text{net}} = 106,9 \text{ [MW]}$
$w_t = 263131 \text{ [kJ/s]}$				

Variasi ke-24 $\dot{m}_{Fuel} = 7,21 \text{ kg/s}$

Unit Settings: SI K bar kJ mass deg				
$\text{eff}_c = 0,8948$	$\text{eff}_t = 0,808$	$\text{eff}_{\text{thermal}} = 0,3324$	$h_1 = 307 \text{ [kJ/kg]}$	$h_2 = 711,5 \text{ [kJ/kg]}$
$h_{2s} = 669 \text{ [kJ/kg]}$	$h_3 = 1516 \text{ [kJ/kg]}$	$h_4 = 846,8 \text{ [kJ/kg]}$	$h_{4s} = 687,9 \text{ [kJ/kg]}$	$\text{LHV} = 45333 \text{ [kJ/kg]}$
$\dot{m}_{\text{fuel}} = 7,21 \text{ [kg/s]}$	$\dot{m}_{\text{air}} = 392,9 \text{ [kg/s]}$	$P_1 = 1,007 \text{ [bar]}$	$P_2 = 14,57 \text{ [bar]}$	$P_3 = 13,11 \text{ [bar]}$
$P_4 = 1,027 \text{ [bar]}$	$Q_{in} = 326851 \text{ [kJ/s]}$	$T_1 = 306,6 \text{ [K]}$	$T_2 = 698,1 \text{ [K]}$	$T_{2s} = 658,3 \text{ [K]}$
$T_3 = 1400 \text{ [K]}$	$T_4 = 822,3 \text{ [K]}$	$T_{4s} = 676 \text{ [K]}$	$w_c = 158923 \text{ [kJ/s]}$	$W_{\text{net}} = 108,7 \text{ [MW]}$
$w_t = 267585 \text{ [kJ/s]}$				

1. Dilarang mengutip sebagian atau seluruh karya tulis ini tanpa mencantumkan dan menyebutkan sumber:
 - a. Pengutipan hanya untuk kepentingan pendidikan, penelitian, penulisan karya ilmiah, penyusunan laporan, penulisan kritik atau tinjauan suatu masalah.
 - b. Pengutipan tidak merugikan kepentingan yang wajar UIN Suska Riau.
2. Dilarang mengumumkan dan memperbanyak sebagian atau seluruh karya tulis ini dalam bentuk apapun tanpa izin UIN Suska Riau.



Variasi ke-25 $m_{Fuel} = 7,32 \text{ kg/s}$

Unit Settings: SI K bar kJ mass deg				
$\text{eff}_c = 0,8948$	$\text{eff}_t = 0,808$	$\text{eff}_{\text{thermal}} = 0,3324$	$h_1 = 307 \text{ [kJ/kg]}$	$h_2 = 711,5 \text{ [kJ/kg]}$
$h_{2s} = 669 \text{ [kJ/kg]}$	$h_3 = 1516 \text{ [kJ/kg]}$	$h_4 = 846,8 \text{ [kJ/kg]}$	$h_{4s} = 687,9 \text{ [kJ/kg]}$	$\text{LHV} = 45333 \text{ [kJ/kg]}$
$\dot{m}_{\text{fuel}} = 7,32 \text{ [kg/s]}$	$\dot{m}_{\text{air}} = 398,9 \text{ [kg/s]}$	$P_1 = 1,007 \text{ [bar]}$	$P_2 = 14,57 \text{ [bar]}$	$P_3 = 13,11 \text{ [bar]}$
$P_4 = 1,027 \text{ [bar]}$	$Q_{in} = 331838 \text{ [kJ/s]}$	$T_1 = 306,6 \text{ [K]}$	$T_2 = 698,1 \text{ [K]}$	$T_{2s} = 658,3 \text{ [K]}$
$T_3 = 1400 \text{ [K]}$	$T_4 = 822,3 \text{ [K]}$	$T_{4s} = 676 \text{ [K]}$	$w_c = 161348 \text{ [kJ/s]}$	$W_{\text{net}} = 110,3 \text{ [MW]}$
$w_t = 271667 \text{ [kJ/s]}$				

Baseline Kondisi Eksisting 2 Pada $T_1 = 298,576 \text{ K}$

Variasi ke-26 $m_{Fuel} = 6,83 \text{ kg/s}$

Unit Settings: SI K bar kJ mass deg				
$\text{eff}_c = 0,8151$	$\text{eff}_t = 0,8042$	$\text{eff}_{\text{thermal}} = 0,3075$	$h_1 = 299 \text{ [kJ/kg]}$	$h_2 = 718,9 \text{ [kJ/kg]}$
$h_{2s} = 641,3 \text{ [kJ/kg]}$	$h_3 = 1511 \text{ [kJ/kg]}$	$h_4 = 851 \text{ [kJ/kg]}$	$h_{4s} = 690,4 \text{ [kJ/kg]}$	$\text{LHV} = 45333 \text{ [kJ/kg]}$
$\dot{m}_{\text{fuel}} = 6,83 \text{ [kg/s]}$	$\dot{m}_{\text{air}} = 377,9 \text{ [kg/s]}$	$P_1 = 1,004 \text{ [bar]}$	$P_2 = 14,15 \text{ [bar]}$	$P_3 = 12,73 \text{ [bar]}$
$P_4 = 1,021 \text{ [bar]}$	$Q_{in} = 309624 \text{ [kJ/s]}$	$T_1 = 298,6 \text{ [K]}$	$T_2 = 704,9 \text{ [K]}$	$T_{2s} = 632,2 \text{ [K]}$
$T_3 = 1396 \text{ [K]}$	$T_4 = 826,1 \text{ [K]}$	$T_{4s} = 678,3 \text{ [K]}$	$w_c = 158680 \text{ [kJ/s]}$	$W_{\text{net}} = 95,2 \text{ [MW]}$
$w_t = 253884 \text{ [kJ/s]}$				

Variasi ke-27 $m_{Fuel} = 6,96 \text{ kg/s}$

Unit Settings: SI K bar kJ mass deg				
$\text{eff}_c = 0,8151$	$\text{eff}_t = 0,8042$	$\text{eff}_{\text{thermal}} = 0,3075$	$h_1 = 299 \text{ [kJ/kg]}$	$h_2 = 718,9 \text{ [kJ/kg]}$
$h_{2s} = 641,3 \text{ [kJ/kg]}$	$h_3 = 1511 \text{ [kJ/kg]}$	$h_4 = 851 \text{ [kJ/kg]}$	$h_{4s} = 690,4 \text{ [kJ/kg]}$	$\text{LHV} = 45333 \text{ [kJ/kg]}$
$\dot{m}_{\text{fuel}} = 6,96 \text{ [kg/s]}$	$\dot{m}_{\text{air}} = 385,1 \text{ [kg/s]}$	$P_1 = 1,004 \text{ [bar]}$	$P_2 = 14,15 \text{ [bar]}$	$P_3 = 12,73 \text{ [bar]}$
$P_4 = 1,021 \text{ [bar]}$	$Q_{in} = 315518 \text{ [kJ/s]}$	$T_1 = 298,6 \text{ [K]}$	$T_2 = 704,9 \text{ [K]}$	$T_{2s} = 632,2 \text{ [K]}$
$T_3 = 1396 \text{ [K]}$	$T_4 = 826,1 \text{ [K]}$	$T_{4s} = 678,3 \text{ [K]}$	$w_c = 161700 \text{ [kJ/s]}$	$W_{\text{net}} = 97,02 \text{ [MW]}$
$w_t = 258717 \text{ [kJ/s]}$				

1. Dilarang mengutip sebagian atau seluruh karya tulis ini tanpa mencantumkan dan menyebutkan sumber:
 - a. Pengutipan hanya untuk kepentingan pendidikan, penelitian, penulisan karya ilmiah, penyusunan laporan, penulisan kritik atau tinjauan suatu masalah.
 - b. Pengutipan tidak merugikan kepentingan yang wajar UIN Suska Riau.
2. Dilarang mengumumkan dan memperbanyak sebagian atau seluruh karya tulis ini dalam bentuk apapun tanpa izin UIN Suska Riau.

**Variasi ke-28 $\dot{m}_{Fuel} = 7,09 \text{ kg/s}$**

Unit Settings: SI K bar kJ mass deg				
$\text{eff}_c = 0,8151$	$\text{eff}_t = 0,8042$	$\text{eff}_{\text{thermal}} = 0,3075$	$h_1 = 299 \text{ [kJ/kg]}$	$h_2 = 718,9 \text{ [kJ/kg]}$
$h_{2s} = 641,3 \text{ [kJ/kg]}$	$h_3 = 1511 \text{ [kJ/kg]}$	$h_4 = 851 \text{ [kJ/kg]}$	$h_{4s} = 690,4 \text{ [kJ/kg]}$	$\text{LHV} = 45333 \text{ [kJ/kg]}$
$\dot{m}_{fuel} = 7,09 \text{ [kg/s]}$	$\dot{m}_{air} = 392,3 \text{ [kg/s]}$	$P_1 = 1,004 \text{ [bar]}$	$P_2 = 14,15 \text{ [bar]}$	$P_3 = 12,73 \text{ [bar]}$
$P_4 = 1,021 \text{ [bar]}$	$Q_{in} = 321411 \text{ [kJ/s]}$	$T_1 = 298,6 \text{ [K]}$	$T_2 = 704,9 \text{ [K]}$	$T_{2s} = 632,2 \text{ [K]}$
$T_3 = 1396 \text{ [K]}$	$T_4 = 826,1 \text{ [K]}$	$T_{4s} = 678,3 \text{ [K]}$	$w_c = 164720 \text{ [kJ/s]}$	$W_{net} = 98,83 \text{ [MW]}$
$w_t = 263549 \text{ [kJ/s]}$				

Variasi ke-29 $\dot{m}_{Fuel} = 7,21 \text{ kg/s}$

Unit Settings: SI K bar kJ mass deg				
$\text{eff}_c = 0,8151$	$\text{eff}_t = 0,8042$	$\text{eff}_{\text{thermal}} = 0,3075$	$h_1 = 299 \text{ [kJ/kg]}$	$h_2 = 718,9 \text{ [kJ/kg]}$
$h_{2s} = 641,3 \text{ [kJ/kg]}$	$h_3 = 1511 \text{ [kJ/kg]}$	$h_4 = 851 \text{ [kJ/kg]}$	$h_{4s} = 690,4 \text{ [kJ/kg]}$	$\text{LHV} = 45333 \text{ [kJ/kg]}$
$\dot{m}_{fuel} = 7,21 \text{ [kg/s]}$	$\dot{m}_{air} = 399 \text{ [kg/s]}$	$P_1 = 1,004 \text{ [bar]}$	$P_2 = 14,15 \text{ [bar]}$	$P_3 = 12,73 \text{ [bar]}$
$P_4 = 1,021 \text{ [bar]}$	$Q_{in} = 326851 \text{ [kJ/s]}$	$T_1 = 298,6 \text{ [K]}$	$T_2 = 704,9 \text{ [K]}$	$T_{2s} = 632,2 \text{ [K]}$
$T_3 = 1396 \text{ [K]}$	$T_4 = 826,1 \text{ [K]}$	$T_{4s} = 678,3 \text{ [K]}$	$w_c = 167508 \text{ [kJ/s]}$	$W_{net} = 100,5 \text{ [MW]}$
$w_t = 268010 \text{ [kJ/s]}$				

Variasi ke-30 $\dot{m}_{Fuel} = 7,32 \text{ kg/s}$

Unit Settings: SI K bar kJ mass deg				
$\text{eff}_c = 0,8151$	$\text{eff}_t = 0,8042$	$\text{eff}_{\text{thermal}} = 0,3075$	$h_1 = 299 \text{ [kJ/kg]}$	$h_2 = 718,9 \text{ [kJ/kg]}$
$h_{2s} = 641,3 \text{ [kJ/kg]}$	$h_3 = 1511 \text{ [kJ/kg]}$	$h_4 = 851 \text{ [kJ/kg]}$	$h_{4s} = 690,4 \text{ [kJ/kg]}$	$\text{LHV} = 45333 \text{ [kJ/kg]}$
$\dot{m}_{fuel} = 7,32 \text{ [kg/s]}$	$\dot{m}_{air} = 405 \text{ [kg/s]}$	$P_1 = 1,004 \text{ [bar]}$	$P_2 = 14,15 \text{ [bar]}$	$P_3 = 12,73 \text{ [bar]}$
$P_4 = 1,021 \text{ [bar]}$	$Q_{in} = 331838 \text{ [kJ/s]}$	$T_1 = 298,6 \text{ [K]}$	$T_2 = 704,9 \text{ [K]}$	$T_{2s} = 632,2 \text{ [K]}$
$T_3 = 1396 \text{ [K]}$	$T_4 = 826,1 \text{ [K]}$	$T_{4s} = 678,3 \text{ [K]}$	$w_c = 170064 \text{ [kJ/s]}$	$W_{net} = 102 \text{ [MW]}$
$w_t = 272099 \text{ [kJ/s]}$				

1. Dilarang mengutip sebagian atau seluruh karya tulis ini tanpa mencantumkan dan menyebutkan sumber:
 - a. Pengutipan hanya untuk kepentingan pendidikan, penelitian, penulisan karya ilmiah, penyusunan laporan, penulisan kritik atau tinjauan suatu masalah.
 - b. Pengutipan tidak merugikan kepentingan yang wajar UIN Suska Riau.
2. Dilarang mengumumkan dan memperbanyak sebagian atau seluruh karya tulis ini dalam bentuk apapun tanpa izin UIN Suska Riau.

Baseline Kondisi Eksisting 2 Pada T₁ = 301,3 K

Variasi ke-31 $\dot{m}_{Fuel} = 6,83 \text{ kg/s}$

Unit Settings: SI K bar kJ mass deg				
eff _c = 0,8392	eff _t = 0,8042	eff _{thermal} = 0,3108	h ₁ = 301,8 [kJ/kg]	h ₂ = 718,9 [kJ/kg]
h _{2s} = 651,8 [kJ/kg]	h ₃ = 1511 [kJ/kg]	h ₄ = 851 [kJ/kg]	h _{4s} = 690,4 [kJ/kg]	LHV = 45333 [kJ/kg]
mdot _{fuel} = 6,83 [kg/s]	m _{air} = 377,9 [kg/s]	P ₁ = 1,004 [bar]	P ₂ = 14,15 [bar]	P ₃ = 12,73 [bar]
P ₄ = 1,021 [bar]	Q _{in} = 309624 [kJ/s]	T ₁ = 301,3 [K]	T ₂ = 704,9 [K]	T _{2s} = 642,1 [K]
T ₃ = 1396 [K]	T ₄ = 826,1 [K]	T _{4s} = 678,3 [K]	w _c = 157645 [kJ/s]	W _{net} = 96,24 [MW]
w _t = 253884 [kJ/s]				

Variasi ke-32 $\dot{m}_{Fuel} = 6,96 \text{ kg/s}$

Unit Settings: SI K bar kJ mass deg				
eff _c = 0,8392	eff _t = 0,8042	eff _{thermal} = 0,3108	h ₁ = 301,8 [kJ/kg]	h ₂ = 718,9 [kJ/kg]
h _{2s} = 651,8 [kJ/kg]	h ₃ = 1511 [kJ/kg]	h ₄ = 851 [kJ/kg]	h _{4s} = 690,4 [kJ/kg]	LHV = 45333 [kJ/kg]
mdot _{fuel} = 6,96 [kg/s]	m _{air} = 385,1 [kg/s]	P ₁ = 1,004 [bar]	P ₂ = 14,15 [bar]	P ₃ = 12,73 [bar]
P ₄ = 1,021 [bar]	Q _{in} = 315518 [kJ/s]	T ₁ = 301,3 [K]	T ₂ = 704,9 [K]	T _{2s} = 642,1 [K]
T ₃ = 1396 [K]	T ₄ = 826,1 [K]	T _{4s} = 678,3 [K]	w _c = 160646 [kJ/s]	W _{net} = 98,07 [MW]
w _t = 258717 [kJ/s]				

Variasi ke-33 $\dot{m}_{Fuel} = 7,09 \text{ kg/s}$

Unit Settings: SI K bar kJ mass deg				
eff _c = 0,8392	eff _t = 0,8042	eff _{thermal} = 0,3108	h ₁ = 301,8 [kJ/kg]	h ₂ = 718,9 [kJ/kg]
h _{2s} = 651,8 [kJ/kg]	h ₃ = 1511 [kJ/kg]	h ₄ = 851 [kJ/kg]	h _{4s} = 690,4 [kJ/kg]	LHV = 45333 [kJ/kg]
mdot _{fuel} = 7,09 [kg/s]	m _{air} = 392,3 [kg/s]	P ₁ = 1,004 [bar]	P ₂ = 14,15 [bar]	P ₃ = 12,73 [bar]
P ₄ = 1,021 [bar]	Q _{in} = 321411 [kJ/s]	T ₁ = 301,3 [K]	T ₂ = 704,9 [K]	T _{2s} = 642,1 [K]
T ₃ = 1396 [K]	T ₄ = 826,1 [K]	T _{4s} = 678,3 [K]	w _c = 163646 [kJ/s]	W _{net} = 99,9 [MW]
w _t = 263549 [kJ/s]				

1. Dilarang mengutip sebagian atau seluruh karya tulis ini tanpa mencantumkan dan menyebutkan sumber:
 - a. Pengutipan hanya untuk kepentingan pendidikan, penelitian, penulisan karya ilmiah, penyusunan laporan, penulisan kritik atau tinjauan suatu masalah.
 - b. Pengutipan tidak merugikan kepentingan yang wajar UIN Suska Riau.
2. Dilarang mengumumkan dan memperbanyak sebagian atau seluruh karya tulis ini dalam bentuk apapun tanpa izin UIN Suska Riau.

Variasi ke-34 $\dot{m}_{Fuel} = 7,21 \text{ kg/s}$

Unit Settings: SI K bar kJ mass deg				
$\text{eff}_c = 0,8392$	$\text{eff}_t = 0,8042$	$\text{eff}_{\text{thermal}} = 0,3108$	$h_1 = 301,8 \text{ [kJ/kg]}$	$h_2 = 718,9 \text{ [kJ/kg]}$
$h_{2s} = 651,8 \text{ [kJ/kg]}$	$h_3 = 1511 \text{ [kJ/kg]}$	$h_4 = 851 \text{ [kJ/kg]}$	$h_{4s} = 690,4 \text{ [kJ/kg]}$	$\text{LHV} = 45333 \text{ [kJ/kg]}$
$\dot{m}_{\text{fuel}} = 7,21 \text{ [kg/s]}$	$\dot{m}_{\text{air}} = 399 \text{ [kg/s]}$	$P_1 = 1,004 \text{ [bar]}$	$P_2 = 14,15 \text{ [bar]}$	$P_3 = 12,73 \text{ [bar]}$
$P_4 = 1,021 \text{ [bar]}$	$Q_{in} = 326851 \text{ [kJ/s]}$	$T_1 = 301,3 \text{ [K]}$	$T_2 = 704,9 \text{ [K]}$	$T_{2s} = 642,1 \text{ [K]}$
$T_3 = 1396 \text{ [K]}$	$T_4 = 826,1 \text{ [K]}$	$T_{4s} = 678,3 \text{ [K]}$	$w_c = 166416 \text{ [kJ/s]}$	$W_{\text{net}} = 101,6 \text{ [MW]}$
$w_t = 268010 \text{ [kJ/s]}$				

Variasi ke-35 $\dot{m}_{Fuel} = 7,32 \text{ kg/s}$

Unit Settings: SI K bar kJ mass deg				
$\text{eff}_c = 0,8392$	$\text{eff}_t = 0,8042$	$\text{eff}_{\text{thermal}} = 0,3108$	$h_1 = 301,8 \text{ [kJ/kg]}$	$h_2 = 718,9 \text{ [kJ/kg]}$
$h_{2s} = 651,8 \text{ [kJ/kg]}$	$h_3 = 1511 \text{ [kJ/kg]}$	$h_4 = 851 \text{ [kJ/kg]}$	$h_{4s} = 690,4 \text{ [kJ/kg]}$	$\text{LHV} = 45333 \text{ [kJ/kg]}$
$\dot{m}_{\text{fuel}} = 7,32 \text{ [kg/s]}$	$\dot{m}_{\text{air}} = 405 \text{ [kg/s]}$	$P_1 = 1,004 \text{ [bar]}$	$P_2 = 14,15 \text{ [bar]}$	$P_3 = 12,73 \text{ [bar]}$
$P_4 = 1,021 \text{ [bar]}$	$Q_{in} = 331838 \text{ [kJ/s]}$	$T_1 = 301,3 \text{ [K]}$	$T_2 = 704,9 \text{ [K]}$	$T_{2s} = 642,1 \text{ [K]}$
$T_3 = 1396 \text{ [K]}$	$T_4 = 826,1 \text{ [K]}$	$T_{4s} = 678,3 \text{ [K]}$	$w_c = 168955 \text{ [kJ/s]}$	$W_{\text{net}} = 103,1 \text{ [MW]}$
$w_t = 272099 \text{ [kJ/s]}$				

Baseline Kondisi Eksisting 2 Pada $T_1 = 303,148 \text{ K}$

Variasi ke-36 $\dot{m}_{Fuel} = 6,83 \text{ kg/s}$

Unit Settings: SI K bar kJ mass deg				
$\text{eff}_c = 0,8611$	$\text{eff}_t = 0,8042$	$\text{eff}_{\text{thermal}} = 0,3131$	$h_1 = 303,6 \text{ [kJ/kg]}$	$h_2 = 718,9 \text{ [kJ/kg]}$
$h_{2s} = 661,2 \text{ [kJ/kg]}$	$h_3 = 1511 \text{ [kJ/kg]}$	$h_4 = 851 \text{ [kJ/kg]}$	$h_{4s} = 690,4 \text{ [kJ/kg]}$	$\text{LHV} = 45333 \text{ [kJ/kg]}$
$\dot{m}_{\text{fuel}} = 6,83 \text{ [kg/s]}$	$\dot{m}_{\text{air}} = 377,9 \text{ [kg/s]}$	$P_1 = 1,004 \text{ [bar]}$	$P_2 = 14,15 \text{ [bar]}$	$P_3 = 12,73 \text{ [bar]}$
$P_4 = 1,021 \text{ [bar]}$	$Q_{in} = 309624 \text{ [kJ/s]}$	$T_1 = 303,1 \text{ [K]}$	$T_2 = 704,9 \text{ [K]}$	$T_{2s} = 651 \text{ [K]}$
$T_3 = 1396 \text{ [K]}$	$T_4 = 826,1 \text{ [K]}$	$T_{4s} = 678,3 \text{ [K]}$	$w_c = 156943 \text{ [kJ/s]}$	$W_{\text{net}} = 96,94 \text{ [MW]}$
$w_t = 253884 \text{ [kJ/s]}$				

**Variasi ke-37 $\dot{m}_{Fuel} = 6,96 \text{ kg/s}$**

Unit Settings: SI K bar kJ mass deg				
$\text{eff}_c = 0,8611$	$\text{eff}_t = 0,8042$	$\text{eff}_{\text{thermal}} = 0,3131$	$h_1 = 303,6 \text{ [kJ/kg]}$	$h_2 = 718,9 \text{ [kJ/kg]}$
$h_{2s} = 661,2 \text{ [kJ/kg]}$	$h_3 = 1511 \text{ [kJ/kg]}$	$h_4 = 851 \text{ [kJ/kg]}$	$h_{4s} = 690,4 \text{ [kJ/kg]}$	$\text{LHV} = 45333 \text{ [kJ/kg]}$
$\dot{m}_{\text{fuel}} = 6,96 \text{ [kg/s]}$	$\dot{m}_{\text{air}} = 385,1 \text{ [kg/s]}$	$P_1 = 1,004 \text{ [bar]}$	$P_2 = 14,15 \text{ [bar]}$	$P_3 = 12,73 \text{ [bar]}$
$P_4 = 1,021 \text{ [bar]}$	$Q_{\text{in}} = 315518 \text{ [kJ/s]}$	$T_1 = 303,1 \text{ [K]}$	$T_2 = 704,9 \text{ [K]}$	$T_{2s} = 651 \text{ [K]}$
$T_3 = 1396 \text{ [K]}$	$T_4 = 826,1 \text{ [K]}$	$T_{4s} = 678,3 \text{ [K]}$	$w_c = 159931 \text{ [kJ/s]}$	$W_{\text{net}} = 98,79 \text{ [MW]}$
$w_t = 258717 \text{ [kJ/s]}$				

Variasi ke-38 $\dot{m}_{Fuel} = 7,09 \text{ kg/s}$

Unit Settings: SI K bar kJ mass deg				
$\text{eff}_c = 0,8611$	$\text{eff}_t = 0,8042$	$\text{eff}_{\text{thermal}} = 0,3131$	$h_1 = 303,6 \text{ [kJ/kg]}$	$h_2 = 718,9 \text{ [kJ/kg]}$
$h_{2s} = 661,2 \text{ [kJ/kg]}$	$h_3 = 1511 \text{ [kJ/kg]}$	$h_4 = 851 \text{ [kJ/kg]}$	$h_{4s} = 690,4 \text{ [kJ/kg]}$	$\text{LHV} = 45333 \text{ [kJ/kg]}$
$\dot{m}_{\text{fuel}} = 7,09 \text{ [kg/s]}$	$\dot{m}_{\text{air}} = 392,3 \text{ [kg/s]}$	$P_1 = 1,004 \text{ [bar]}$	$P_2 = 14,15 \text{ [bar]}$	$P_3 = 12,73 \text{ [bar]}$
$P_4 = 1,021 \text{ [bar]}$	$Q_{\text{in}} = 321411 \text{ [kJ/s]}$	$T_1 = 303,1 \text{ [K]}$	$T_2 = 704,9 \text{ [K]}$	$T_{2s} = 651 \text{ [K]}$
$T_3 = 1396 \text{ [K]}$	$T_4 = 826,1 \text{ [K]}$	$T_{4s} = 678,3 \text{ [K]}$	$w_c = 162918 \text{ [kJ/s]}$	$W_{\text{net}} = 100,6 \text{ [MW]}$
$w_t = 263549 \text{ [kJ/s]}$				

Variasi ke-39 $\dot{m}_{Fuel} = 7,21 \text{ kg/s}$

Unit Settings: SI K bar kJ mass deg				
$\text{eff}_c = 0,8611$	$\text{eff}_t = 0,8042$	$\text{eff}_{\text{thermal}} = 0,3131$	$h_1 = 303,6 \text{ [kJ/kg]}$	$h_2 = 718,9 \text{ [kJ/kg]}$
$h_{2s} = 661,2 \text{ [kJ/kg]}$	$h_3 = 1511 \text{ [kJ/kg]}$	$h_4 = 851 \text{ [kJ/kg]}$	$h_{4s} = 690,4 \text{ [kJ/kg]}$	$\text{LHV} = 45333 \text{ [kJ/kg]}$
$\dot{m}_{\text{fuel}} = 7,21 \text{ [kg/s]}$	$\dot{m}_{\text{air}} = 399 \text{ [kg/s]}$	$P_1 = 1,004 \text{ [bar]}$	$P_2 = 14,15 \text{ [bar]}$	$P_3 = 12,73 \text{ [bar]}$
$P_4 = 1,021 \text{ [bar]}$	$Q_{\text{in}} = 326851 \text{ [kJ/s]}$	$T_1 = 303,1 \text{ [K]}$	$T_2 = 704,9 \text{ [K]}$	$T_{2s} = 651 \text{ [K]}$
$T_3 = 1396 \text{ [K]}$	$T_4 = 826,1 \text{ [K]}$	$T_{4s} = 678,3 \text{ [K]}$	$w_c = 165675 \text{ [kJ/s]}$	$W_{\text{net}} = 102,3 \text{ [MW]}$
$w_t = 268010 \text{ [kJ/s]}$				

1. Dilarang mengutip sebagian atau seluruh karya tulis ini tanpa mencantumkan dan menyebutkan sumber:
 - a. Pengutipan hanya untuk kepentingan pendidikan, penelitian, penulisan karya ilmiah, penyusunan laporan, penulisan kritik atau tinjauan suatu masalah.
 - b. Pengutipan tidak merugikan kepentingan yang wajar UIN Suska Riau.
2. Dilarang mengumumkan dan memperbanyak sebagian atau seluruh karya tulis ini dalam bentuk apapun tanpa izin UIN Suska Riau.



Variasi ke-40 $\dot{m}_{Fuel} = 7,32 \text{ kg/s}$

Unit Settings: SI K bar kJ mass deg				
$eff_c = 0,8611$	$eff_t = 0,8042$	$eff_{thermal} = 0,3131$	$h_1 = 303,6 \text{ [kJ/kg]}$	$h_2 = 718,9 \text{ [kJ/kg]}$
$h_{2s} = 661,2 \text{ [kJ/kg]}$	$h_3 = 1511 \text{ [kJ/kg]}$	$h_4 = 851 \text{ [kJ/kg]}$	$h_{4s} = 690,4 \text{ [kJ/kg]}$	$LHV = 45333 \text{ [kJ/kg]}$
$\dot{m}_{fuel} = 7,32 \text{ [kg/s]}$	$\dot{m}_{air} = 405 \text{ [kg/s]}$	$P_1 = 1,004 \text{ [bar]}$	$P_2 = 14,15 \text{ [bar]}$	$P_3 = 12,73 \text{ [bar]}$
$P_4 = 1,021 \text{ [bar]}$	$Q_{in} = 331838 \text{ [kJ/s]}$	$T_1 = 303,1 \text{ [K]}$	$T_2 = 704,9 \text{ [K]}$	$T_{2s} = 651 \text{ [K]}$
$T_3 = 1396 \text{ [K]}$	$T_4 = 826,1 \text{ [K]}$	$T_{4s} = 678,3 \text{ [K]}$	$w_c = 168203 \text{ [kJ/s]}$	$W_{net} = 103,9 \text{ [MW]}$
$w_t = 272099 \text{ [kJ/s]}$				

Baseline Kondisi Eksisting 2 Pada $T_1 = 304,94 \text{ K}$

Variasi ke-41 $\dot{m}_{Fuel} = 6,83 \text{ kg/s}$

Unit Settings: SI K bar kJ mass deg				
$eff_c = 0,8577$	$eff_t = 0,8042$	$eff_{thermal} = 0,3153$	$h_1 = 305,4 \text{ [kJ/kg]}$	$h_2 = 718,9 \text{ [kJ/kg]}$
$h_{2s} = 660,1 \text{ [kJ/kg]}$	$h_3 = 1511 \text{ [kJ/kg]}$	$h_4 = 851 \text{ [kJ/kg]}$	$h_{4s} = 690,4 \text{ [kJ/kg]}$	$LHV = 45333 \text{ [kJ/kg]}$
$\dot{m}_{fuel} = 6,83 \text{ [kg/s]}$	$\dot{m}_{air} = 377,9 \text{ [kg/s]}$	$P_1 = 1,004 \text{ [bar]}$	$P_2 = 14,15 \text{ [bar]}$	$P_3 = 12,73 \text{ [bar]}$
$P_4 = 1,021 \text{ [bar]}$	$Q_{in} = 309624 \text{ [kJ/s]}$	$T_1 = 304,9 \text{ [K]}$	$T_2 = 704,9 \text{ [K]}$	$T_{2s} = 649,9 \text{ [K]}$
$T_3 = 1396 \text{ [K]}$	$T_4 = 826,1 \text{ [K]}$	$T_{4s} = 678,3 \text{ [K]}$	$w_c = 156263 \text{ [kJ/s]}$	$W_{net} = 97,62 \text{ [MW]}$
$w_t = 253884 \text{ [kJ/s]}$				

Variasi ke-42 $\dot{m}_{Fuel} = 6,96 \text{ kg/s}$

Unit Settings: SI K bar kJ mass deg				
$eff_c = 0,8577$	$eff_t = 0,8042$	$eff_{thermal} = 0,3153$	$h_1 = 305,4$	$h_2 = 718,9$
$h_{2s} = 660,1$	$h_3 = 1511$	$h_4 = 851$	$h_{4s} = 690,4$	$LHV = 45333 \text{ [kJ/kg]}$
$\dot{m}_{fuel} = 6,96 \text{ [kg/s]}$	$\dot{m}_{air} = 385,1$	$P_1 = 1,004 \text{ [bar]}$	$P_2 = 14,15 \text{ [bar]}$	$P_3 = 12,73 \text{ [bar]}$
$P_4 = 1,021 \text{ [bar]}$	$Q_{in} = 315518$	$T_1 = 304,9 \text{ [K]}$	$T_2 = 704,9 \text{ [K]}$	$T_{2s} = 649,9 \text{ [K]}$
$T_3 = 1396 \text{ [K]}$	$T_4 = 826,1 \text{ [K]}$	$T_{4s} = 678,3 \text{ [K]}$	$w_c = 159237$	$W_{net} = 99,48$
$w_t = 258717$				

1. Dilarang mengutip sebagian atau seluruh karya tulis ini tanpa mencantumkan dan menyebutkan sumber:
 - a. Pengutipan hanya untuk kepentingan pendidikan, penelitian, penulisan karya ilmiah, penyusunan laporan, penulisan kritik atau tinjauan suatu masalah.
 - b. Pengutipan tidak merugikan kepentingan yang wajar UIN Suska Riau.
2. Dilarang mengumumkan dan memperbanyak sebagian atau seluruh karya tulis ini dalam bentuk apapun tanpa izin UIN Suska Riau.

Variasi ke-43 $\dot{m}_{Fuel} = 7,09 \text{ kg/s}$

Solution				
Main				
Unit Settings: SI K bar kJ mass deg				
$eff_c = 0,8577$	$eff_t = 0,8042$	$eff_{thermal} = 0,3153$	$h_1 = 305,4 \text{ [kJ/kg]}$	$h_2 = 718,9 \text{ [kJ/kg]}$
$h_{2s} = 660,1 \text{ [kJ/kg]}$	$h_3 = 1511 \text{ [kJ/kg]}$	$h_4 = 851 \text{ [kJ/kg]}$	$h_{4s} = 690,4 \text{ [kJ/kg]}$	$LHV = 45333 \text{ [kJ/kg]}$
$\dot{m}_{fuel} = 7,09 \text{ [kg/s]}$	$\dot{m}_{air} = 392,3 \text{ [kg/s]}$	$P_1 = 1,004 \text{ [bar]}$	$P_2 = 14,15 \text{ [bar]}$	$P_3 = 12,73 \text{ [bar]}$
$P_4 = 1,021 \text{ [bar]}$	$Q_{in} = 321411 \text{ [kJ/s]}$	$T_1 = 304,9 \text{ [K]}$	$T_2 = 704,9 \text{ [K]}$	$T_{2s} = 649,9 \text{ [K]}$
$T_3 = 1396 \text{ [K]}$	$T_4 = 826,1 \text{ [K]}$	$T_{4s} = 678,3 \text{ [K]}$	$w_c = 162211 \text{ [kJ/s]}$	$W_{net} = 101,3 \text{ [MW]}$
$w_t = 263549 \text{ [kJ/s]}$				

Variasi ke-44 $\dot{m}_{Fuel} = 7,21 \text{ kg/s}$

Solution				
Main				
Unit Settings: SI K bar kJ mass deg				
$eff_c = 0,8577$	$eff_t = 0,8042$	$eff_{thermal} = 0,3153$	$h_1 = 305,4 \text{ [kJ/kg]}$	$h_2 = 718,9 \text{ [kJ/kg]}$
$h_{2s} = 660,1 \text{ [kJ/kg]}$	$h_3 = 1511 \text{ [kJ/kg]}$	$h_4 = 851 \text{ [kJ/kg]}$	$h_{4s} = 690,4 \text{ [kJ/kg]}$	$LHV = 45333 \text{ [kJ/kg]}$
$\dot{m}_{fuel} = 7,21 \text{ [kg/s]}$	$\dot{m}_{air} = 399 \text{ [kg/s]}$	$P_1 = 1,004 \text{ [bar]}$	$P_2 = 14,15 \text{ [bar]}$	$P_3 = 12,73 \text{ [bar]}$
$P_4 = 1,021 \text{ [bar]}$	$Q_{in} = 326851 \text{ [kJ/s]}$	$T_1 = 304,9 \text{ [K]}$	$T_2 = 704,9 \text{ [K]}$	$T_{2s} = 649,9 \text{ [K]}$
$T_3 = 1396 \text{ [K]}$	$T_4 = 826,1 \text{ [K]}$	$T_{4s} = 678,3 \text{ [K]}$	$w_c = 164957 \text{ [kJ/s]}$	$W_{net} = 103,1 \text{ [MW]}$
$w_t = 268010 \text{ [kJ/s]}$				

Variasi ke-45 $\dot{m}_{Fuel} = 7,32 \text{ kg/s}$

Solution				
Main				
Unit Settings: SI K bar kJ mass deg				
$eff_c = 0,8577$	$eff_t = 0,8042$	$eff_{thermal} = 0,3153$	$h_1 = 305,4 \text{ [kJ/kg]}$	$h_2 = 718,9 \text{ [kJ/kg]}$
$h_{2s} = 660,1 \text{ [kJ/kg]}$	$h_3 = 1511 \text{ [kJ/kg]}$	$h_4 = 851 \text{ [kJ/kg]}$	$h_{4s} = 690,4 \text{ [kJ/kg]}$	$LHV = 45333 \text{ [kJ/kg]}$
$\dot{m}_{fuel} = 7,32 \text{ [kg/s]}$	$\dot{m}_{air} = 405 \text{ [kg/s]}$	$P_1 = 1,004 \text{ [bar]}$	$P_2 = 14,15 \text{ [bar]}$	$P_3 = 12,73 \text{ [bar]}$
$P_4 = 1,021 \text{ [bar]}$	$Q_{in} = 331838 \text{ [kJ/s]}$	$T_1 = 304,9 \text{ [K]}$	$T_2 = 704,9 \text{ [K]}$	$T_{2s} = 649,9 \text{ [K]}$
$T_3 = 1396 \text{ [K]}$	$T_4 = 826,1 \text{ [K]}$	$T_{4s} = 678,3 \text{ [K]}$	$w_c = 167473 \text{ [kJ/s]}$	$W_{net} = 104,6 \text{ [MW]}$
$w_t = 272099 \text{ [kJ/s]}$				

Baseline Kondisi Eksisting 2 Pada T₁ = 304,94 K

Variasi ke-46 $\dot{m}_{Fuel} = 6,83 \text{ kg/s}$

Unit Settings: SI K bar kJ mass deg				
eff _c = 0,866	eff _t = 0,8042	eff _{thermal} = 0,3173	h ₁ = 307 [kJ/kg]	h ₂ = 718,9 [kJ/kg]
h _{2s} = 663,7 [kJ/kg]	h ₃ = 1511 [kJ/kg]	h ₄ = 851 [kJ/kg]	h _{4s} = 690,4 [kJ/kg]	LHV = 45333 [kJ/kg]
mdot _{fuel} = 6,83 [kg/s]	m _{air} = 377,9 [kg/s]	P ₁ = 1,004 [bar]	P ₂ = 14,15 [bar]	P ₃ = 12,73 [bar]
P ₄ = 1,021 [bar]	Q _{in} = 309624 [kJ/s]	T ₁ = 306,6 [K]	T ₂ = 704,9 [K]	T _{2s} = 653,3 [K]
T ₃ = 1396 [K]	T ₄ = 826,1 [K]	T _{4s} = 678,3 [K]	w _c = 155651 [kJ/s]	W _{net} = 98,23 [MW]
w _t = 253884 [kJ/s]				

Variasi ke-47 $\dot{m}_{Fuel} = 6,96 \text{ kg/s}$

Unit Settings: SI K bar kJ mass deg				
eff _c = 0,866	eff _t = 0,8042	eff _{thermal} = 0,3173	h ₁ = 307 [kJ/kg]	h ₂ = 718,9 [kJ/kg]
h _{2s} = 663,7 [kJ/kg]	h ₃ = 1511 [kJ/kg]	h ₄ = 851 [kJ/kg]	h _{4s} = 690,4 [kJ/kg]	LHV = 45333 [kJ/kg]
mdot _{fuel} = 6,96 [kg/s]	m _{air} = 385,1 [kg/s]	P ₁ = 1,004 [bar]	P ₂ = 14,15 [bar]	P ₃ = 12,73 [bar]
P ₄ = 1,021 [bar]	Q _{in} = 315518 [kJ/s]	T ₁ = 306,6 [K]	T ₂ = 704,9 [K]	T _{2s} = 653,3 [K]
T ₃ = 1396 [K]	T ₄ = 826,1 [K]	T _{4s} = 678,3 [K]	w _c = 158614 [kJ/s]	W _{net} = 100,1 [MW]
w _t = 258717 [kJ/s]				

Variasi ke-48 $\dot{m}_{Fuel} = 7,09 \text{ kg/s}$

Unit Settings: SI K bar kJ mass deg				
eff _c = 0,866	eff _t = 0,8042	eff _{thermal} = 0,3173	h ₁ = 307 [kJ/kg]	h ₂ = 718,9 [kJ/kg]
h _{2s} = 663,7 [kJ/kg]	h ₃ = 1511 [kJ/kg]	h ₄ = 851 [kJ/kg]	h _{4s} = 690,4 [kJ/kg]	LHV = 45333 [kJ/kg]
mdot _{fuel} = 7,09 [kg/s]	m _{air} = 392,3 [kg/s]	P ₁ = 1,004 [bar]	P ₂ = 14,15 [bar]	P ₃ = 12,73 [bar]
P ₄ = 1,021 [bar]	Q _{in} = 321411 [kJ/s]	T ₁ = 306,6 [K]	T ₂ = 704,9 [K]	T _{2s} = 653,3 [K]
T ₃ = 1396 [K]	T ₄ = 826,1 [K]	T _{4s} = 678,3 [K]	w _c = 161576 [kJ/s]	W _{net} = 102 [MW]
w _t = 263549 [kJ/s]				

1. Dilarang mengutip sebagian atau seluruh karya tulis ini tanpa mencantumkan dan menyebutkan sumber:
 - a. Pengutipan hanya untuk kepentingan pendidikan, penelitian, penulisan karya ilmiah, penyusunan laporan, penulisan kritik atau tinjauan suatu masalah.
 - b. Pengutipan tidak merugikan kepentingan yang wajar UIN Suska Riau.
2. Dilarang mengumumkan dan memperbanyak sebagian atau seluruh karya tulis ini dalam bentuk apapun tanpa izin UIN Suska Riau.

**Variasi ke-49 $\dot{m}_{Fuel} = 7,21 \text{ kg/s}$**

Unit Settings: SI K bar kJ mass deg				
$\text{eff}_c = 0,866$	$\text{eff}_t = 0,8042$	$\text{eff}_{\text{thermal}} = 0,3173$	$h_1 = 307 \text{ [kJ/kg]}$	$h_2 = 718,9 \text{ [kJ/kg]}$
$h_{2s} = 663,7 \text{ [kJ/kg]}$	$h_3 = 1511 \text{ [kJ/kg]}$	$h_4 = 851 \text{ [kJ/kg]}$	$h_{4s} = 690,4 \text{ [kJ/kg]}$	$\text{LHV} = 45333 \text{ [kJ/kg]}$
$\dot{m}_{\text{dot,fuel}} = 7,21 \text{ [kg/s]}$	$\dot{m}_{\text{air}} = 399 \text{ [kg/s]}$	$P_1 = 1,004 \text{ [bar]}$	$P_2 = 14,15 \text{ [bar]}$	$P_3 = 12,73 \text{ [bar]}$
$P_4 = 1,021 \text{ [bar]}$	$Q_{in} = 326851 \text{ [kJ/s]}$	$T_1 = 306,6 \text{ [K]}$	$T_2 = 704,9 \text{ [K]}$	$T_{2s} = 653,3 \text{ [K]}$
$T_3 = 1396 \text{ [K]}$	$T_4 = 826,1 \text{ [K]}$	$T_{4s} = 678,3 \text{ [K]}$	$w_c = 164311 \text{ [kJ/s]}$	$W_{\text{net}} = 103,7 \text{ [MW]}$
$w_t = 268010 \text{ [kJ/s]}$				

Variasi ke-50 $\dot{m}_{Fuel} = 7,32 \text{ kg/s}$

Unit Settings: SI K bar kJ mass deg				
$\text{eff}_c = 0,866$	$\text{eff}_t = 0,8042$	$\text{eff}_{\text{thermal}} = 0,3173$	$h_1 = 307 \text{ [kJ/kg]}$	$h_2 = 718,9 \text{ [kJ/kg]}$
$h_{2s} = 663,7 \text{ [kJ/kg]}$	$h_3 = 1511 \text{ [kJ/kg]}$	$h_4 = 851 \text{ [kJ/kg]}$	$h_{4s} = 690,4 \text{ [kJ/kg]}$	$\text{LHV} = 45333 \text{ [kJ/kg]}$
$\dot{m}_{\text{dot,fuel}} = 7,32 \text{ [kg/s]}$	$\dot{m}_{\text{air}} = 405 \text{ [kg/s]}$	$P_1 = 1,004 \text{ [bar]}$	$P_2 = 14,15 \text{ [bar]}$	$P_3 = 12,73 \text{ [bar]}$
$P_4 = 1,021 \text{ [bar]}$	$Q_{in} = 331838 \text{ [kJ/s]}$	$T_1 = 306,6 \text{ [K]}$	$T_2 = 704,9 \text{ [K]}$	$T_{2s} = 653,3 \text{ [K]}$
$T_3 = 1396 \text{ [K]}$	$T_4 = 826,1 \text{ [K]}$	$T_{4s} = 678,3 \text{ [K]}$	$w_c = 166818 \text{ [kJ/s]}$	$W_{\text{net}} = 105,3 \text{ [MW]}$
$w_t = 272099 \text{ [kJ/s]}$				

1. Dilarang mengutip sebagian atau seluruh karya tulis ini tanpa mencantumkan dan menyebutkan sumber:
 - a. Pengutipan hanya untuk kepentingan pendidikan, penelitian, penulisan karya ilmiah, penyusunan laporan, penulisan kritik atau tinjauan suatu masalah.
 - b. Pengutipan tidak merugikan kepentingan yang wajar UIN Suska Riau.
2. Dilarang mengumumkan dan memperbanyak sebagian atau seluruh karya tulis ini dalam bentuk apapun tanpa izin UIN Suska Riau.

© Hak



Hak Cipta

DAFTAR RIWAYAT HIDUP

Penulis bernama Deru Al Azmi, lahir di Duri pada tanggal 04 April 2003. Penulis merupakan anak pertama dari dua bersaudara. Penulis memulai pendidikan formal di SD Negeri 14 Talang Mandi pada tahun 2008 dan lulus pada tahun 2015. Kemudian melanjutkan pendidikan ke SMP Negeri 02 Mandau dan lulus pada tahun 2018. Selanjutnya, penulis menempuh pendidikan menengah atas di SMA Negeri 01 Mandau dan lulus pada tahun 2021.

Pada tahun yang sama, penulis diterima sebagai mahasiswa di Program Studi Teknik Elektro, Fakultas Sains dan Teknologi, Universitas Islam Negeri Sultan Syarif Kasim Riau. Selama masa perkuliahan, penulis aktif dalam berbagai kegiatan organisasi dan akademik, serta pernah meraih prestasi sebagai Juara 2 Nasional dalam Bidang Robotika dan Pemrograman pada ajang kompetisi Perguruan Tinggi Keagamaan Islam Negeri (PTKIN) se-Indonesia tahun 2023 di Universitas Islam Negeri Syarif Hidayatullah Jakarta. Penulis juga menjalani program kerja praktik di PT. PLN MCTN Duri, yang memberikan pengalaman langsung dalam mempelajari sistem operasional Pembangkit Listrik Tenaga Gas (PLTG) dan pengolahan data termodinamika lapangan. Selain itu, penulis mengikuti program magang di PT. Nusa Solar sebagai bagian dari tim proyek instalasi Pembangkit Listrik Tenaga Surya (PLTS), serta aktif proyek mandiri yang berkaitan dengan sistem tenaga listrik dan energi terbarukan.

Penelitian tugas akhir yang dilakukan berjudul “Analisis Pengaruh Temperatur Inlet Kompresor dan Laju Aliran Bahan Bakar terhadap Optimasi Daya PLTG (Studi Kasus PT. PLN MCTN Duri)”, sebagai bentuk kontribusi akademik dalam mendukung pengembangan sistem pembangkit berbasis gas agar lebih efisien, stabil, dan berkelanjutan.

Email : deruazmi44@gmail.com.

1. Dilarang mengutip sebagian atau seluruh karya tulis ini tanpa mencantumkan dan menyebutkan sumber:
 - a. Pengutipan hanya untuk kepentingan pendidikan, penelitian, penulisan karya ilmiah, penyusunan laporan, penulisan kritik atau tinjauan suatu masalah.
 - b. Pengutipan tidak merugikan kepentingan yang wajar UIN Suska Riau.
2. Dilarang mengumumkan dan memperbanyak sebagian atau seluruh karya tulis ini dalam bentuk apapun tanpa izin UIN Suska Riau.